

# Journal of Innovation and Research in Health Sciences & Biotechnology

Volume 2 Issue 4 June 2017

## **CONTENTS**

## **Original Articles**

1.	Frequency of anti-Hla and anti-Hpa at saint-Luc clinics in brussels: Feto-maternal alloimmune and risk for fetal thrombocytopenia  Sumbu Matondo Manzambi Blaise, Dominique Latinne	411-415
2.	Evaluation of the efficacy of the blood transfusion among children in kinshasa:  Experience of three healthcare facilities  Gustave Mayuku Fukiau, Hippolyte Situakibanza, Ferdinand Mbayo Kalumbu, Donatien Kayembe Nzongola, Desire Mashinda Kulimba	416-424
3.	Valeurs de reference utiles a l'exploration neuropsychologique des psychoses fonctionnelles non affectives et specifiques en milieu congolais Ngoma MV, Longo MB, Mampunza MM, Peuskens J, Vansteelandt K	425-436
4.	Les troubles cognitifs des psychoses fonctionnelles non affectives chez le congolais Ngoma Malanda Valdo, Longo-Mbenza Benjamin, Mampunza M.M, Peuskens J, Vansteelandt K, Joos S.F	437-448
5.	Références de l'épaisseur des plis cutanés et du pourcentage de graisse corporelle chez les enfants et adolescents scolarisés de 6 à 18 ans de la ville de Kinshasa, RDC Buhendwa Rudahaha Augustin, Mathieu Roelants, Martine Thomis, Lepira Bompeka François, Nkiama Ekisawa Constant, Tady Muyala, Lango Mhenga Benjamin	449-458



## ORIGINAL ARTILCE

# FREQUENCY OF ANTI-HLA AND ANTI-HPA AT SAINT-LUC CLINICS IN BRUSSELS: FETO-MATERNAL ALLOIMMUNE AND RISK FOR FETAL THROMBOCYTOPENIA

## Sumbu Matondo Manzambi Blaise<sup>1</sup>, Dominique Latinne<sup>2</sup>

<sup>1</sup>Université de Liège/Master Complémentaire en Médecine Transfusionnelle, Place du 20 Août, B - 4000 Liège, Belgique, Université de Kinshasa/Faculté de Médecine, Kinshasa/République Démocratique du Congo, <sup>2</sup>Chef de Service biologie hématologique/Coordonnatrice du Centre de Thérapie Tissulaire et Cellulaire, Université Catholique de Louvain, Bruxelles/Belgique.

Corresponding Author: Dr. Sumbu Matondo Manzambi Blaise, MD ,MSc, MPH, E-mail: bsumat@yahoo.fr

Submitted: September 2016, Accepted: April 2017

## **ABSTRACT**

Background: Fetomaternal anti-leukocyte and anti-platelet immunization and fetal thrombocytopenia are serious and frequent concerns. They are related to anti-leukocyte and anti-platelet antigen, including human leucocyte antigen (HLA) and human platelet antigen (HPA). **Objective:** This study aims at determining proportion of anti-HLA and anti-HPA immunization in suspected fetomaternal alloimmune thrombocytopenia in Cliniques Universitaires Saint Luc. Methods: An observational study was carried out in Cliniques Universitaires Saint Luc. The study included Cases of suspected fetomaternal alloimmune thrombocytopenia where research of HLA and HPA antibodies were performed from 1 January 2010 to 31 December 2011. Analyses were performed in the laboratory of leuko-platelet immunology using Monoclonal Antibody Specific Immobilization of Platelet Antigens (MAIPA) and confirmed by Luminex® if necessary for anti-HLA antibodies. Patient files were also analyzed, looking for potential factors related to previous fetomaternal alloimmune thrombocytopenia. The analysis of the data was retrospective. Results: Sixty analyses were performed for suspected fetomaternal alloimmune thrombocytopenia or fetal hemorrhage. Out of them, anti-HLA and/or anti-HPA antibodies were found in 20 (33.3%) cases. Anti-HLA antibodies were find in 12 cases (20.0%) whilst anti-HPA in 11 (18.3%). Both anti-HLA and anti-HPA was found in 3 cases (5.0%). In cases with anti-HPA anti-bodies, anti-HPA 1a were found in 9 cases (15.0%), anti-HPA 5b in 5 cases (8.3%) and both anti-HPA 1a and anti-HPA 5b in 3 (5.0%). Anti-HLA, anti-HPA 1a and anti-HPA 5b antibodies were all found in one case (1.7%). Conclusion: Proportion of anti-HLA and anti-HPA immunization is high among suspected cases of fetomaternal alloimmune thrombocytopenia in Cliniques Universitaires Saint Luc. Anti-HPA 1a antibodies seem to be more frequent in fetomaternal alloimmune thrombocytopenia. Further studies are needed to confirm these results.

Key words: HLA, HPA, Antigen, Clinique Saint Luc, Thrombocytopenia, Fetomaternal Immunization

Access this article online			
Website: http://www.satapublishers.com			
DOI: 10.18644/jiresh-biotech.0000038			
E-ISSN: 2413-7669 (Online)			



## ORIGINAL ARTILCE

# Fréquences des immunisations anti-hla et anti-hpa aux cliniques saint-luc de bruxelles: alloimmunisations foeto-maternelles et risque de thrombopénie foetale

## Sumbu Matondo Manzambi Blaise<sup>1</sup>, Dominique Latinne<sup>2</sup>

<sup>1</sup>Université de Liège/Master Complémentaire en Médecine Transfusionnelle, Place du 20 Août, B - 4000 Liège, Belgique, Université de Kinshasa/Faculté de Médecine, Kinshasa/République Démocratique du Congo, <sup>2</sup>Chef de Service biologie hématologique/Coordonnatrice du Centre de Thérapie Tissulaire et Cellulaire, Université Catholique de Louvain, Bruxelles/Belgique.

Corresponding Author: Dr. Sumbu Matondo Manzambi Blaise, MD ,MSc, MPH, E-mail: bsumat@yahoo.fr

Submitted: September 2016, Accepted: April 2017

#### **RESUME**

Contexte: Les immunisations leuco-plaquettaires foeto-maternelles et les thrombopénies fœtales sont des troubles graves et fréquents. Elles sont souvent liées aux antigènes leuco-plaquettaires dont le HLA (Human Leucocyt Antigen) et les HPA (Human Platelet Antigen). Objectif: Cette étude avait pour objectif d'estimer la fréquence des immunisations anti-HLA et anti-HPA dans les suspicions de thrombopénies fœtales par alloimmunisation fœtomaternelle aux Cliniques Saint Luc de Bruxelles. Matériel et méthodes: Il s'agissait d'une étude observationnelle d'analyse d'immunisations anti-HLA et anti-HPA dans les suspicions de thrombopénie fœtale par alloimmunisation fœto-maternelle aux Cliniques Saint Luc durant la période allant du premier Janvier 2010 au 31 Décembre 2011. L'analyse des données était rétrospective. Soixante recherches d'anticorps antiplaquettaires pour suspicion et/ou pour antécédents d'hémorragie fœtale étaient réalisées au Laboratoire d'immunologie leucoplaquettaire des Cliniques Saint Luc. La recherche d'immunisation anti-HLA et anti HPA était faite par la technique MAIPA (Monoclonal Antibody Specific Immobilization of Platelet Antigens) et confirmée par Luminex ® en cas de résultat douteux pour les Ac anti HLA. Enfin, une anamnèse et un examen clinique étaient réalisés chez les patients avec immunisation anti-HLA et/ ou anti-HPA pour la recherche des signes en faveur d'une thrombopénie fœtale par alloimmunisation fœto-maternelle. Résultats: Sur 60 recherches d'anticorps anti-HLA effectuées, la fréquence d'immunisation anti-HLA et/ou anti-HPA était estimée à 33,33 % (20/60). Les anticorps anti-HLA, anti-HPA et anti-HLA associés aux anti-HPA étaient présents respectivement chez 12 (20.0%), 11 (18.3%) et 3(5.0%) cas. Parmi les anticorps anti-HPA, il y avait 9 cas d'anticorps anti-HPA 1a (15.0%), 5 (8.3%) cas d'anticorps anti-HPA 5b et 3(5.0%) cas d'association anti-HPA 1a et 5b. Il y avait 1 (1.7%) cas d'association anti-HLA, anti-HPA 5b et anti-HPA 1a. Conclusion: L'immunisation anti-HLA et anti-HPA fœto-maternelle reste élevée (33,33 %) en cas de suspicion de thrombopénie fœto-maternelle aux Cliniques Saint Luc. Les anticorps anti-HPA la sont les plus fréquents dans les thrombopénies fœto-maternelles alloimmunes. Des études ultérieures s'imposent pour confirmer ces résultats.

Mots clés.: HLA, HPA, Antigène, Clinique Saint Luc, Immunisation, Thrombopénie, Fœtale Maternelle Alloimmune

Access this article online			
Website: http://www.satapublishers.com			
DOI: 10.18644/jiresh-biotech.0000038			
E-ISSN: 2413-7669 (Online)			

## 1. INTRODUCTION

e Complexe Majeur d'Histocompatibilité (CMH) de l'homme également connu sous le nom du Système HLA joue un rôle crucial en médecine clinique, en transplantation d'organes et en greffe de moelle et de cellules

souches hématopoïétiques, en étude des populations et en transfusion sanguine (1).

Outre ces différentes implications dans les domaines précités résultant à la fois de son polymorphisme et de son rôle fonctionnel, le système HLA jouerait également comme le Human Platelet Antigen (HPA) un rôle dans certains cas de thrombopénies néonatales allo-immunes et de purpura post transfusionnel (PPT) par la formation d'alloanticorps antiplaquettaires (2).

Les systèmes HPA (antigène plaquettaire humain) sont constitués des antigènes plaquettaires portés comme la majorité des antigènes ABH par les Glycoprotéines (GP) membranaires. En effet, les plaquettes (PLT) sont des petites cellules sanguines anucléées, formées et individualisées dans les mégacaryocytes et jouent un rôle essentiel dans l'hémostase. Au niveau de leur surface elles sont porteuses de leurs propres systèmes allo-antigéniques (2-7).

Actuellement, on estimerait à 24 le nombre d'allo-antigènes, spécifiquement plaquettaires, qui ont été définis, et, reconnus par des sérums alloimmuns. Douze de ces allo-antigènes sont groupés en six systèmes dialléliques dont: HPA-1, HPA-2, HPA-3, HPA-4, HPA-5, HPA-15. Les 12 autres qui restent, sont constitués d'un seul allo-antigène par système identifié par méthodes sérologiques avec l'allo-anticorps correspondant. Ces déterminants antigéniques, génétiquement déterminés sont situés au niveau de protéines ou d'hydrates de carbones de la membrane plaquettaire (8).

Deux types d'antigènes sont distingués:

- Type I, alloantigènes non spécifiques des plaquettes dont les antigènes ABH et HLA classe I.
- Type II, alloantigènes spécifiques des plaquettes. Ils sont susceptibles d'être à l'origine de Thrombopénie Néonatale allo-immunes (TNAI), purpura posttransfusionnel (PPT), de réactions transfusionnelles et d'états réfractaires aux transfusions de plaquettes [8].

L'allo-immunisation anti-HPA serait rare chez les malades transfusés (moins de 5 % des cas) et doit être recherchée lorsqu' aucune explication n'est trouvée à un état réfractaire (même si la survenue de ce dernier peut être d'abord liée aux Ac anti-HLA et/ou à une cause clinique) ou en présence d'un syndrome de purpura post-transfusionnel.

L'allo-immunisation antiplaquettaire spécifique serait due à l'exposition de sujets sains à certains déterminants allotypiques. Les allo-anticorps produits détruiraient alors des plaquettes reconnues non compatibles d'où la thrombopénie qui s'en suit.

Cependant, la thrombopénie fœtale par allo-immunisation plaquettaire est due au passage d'anticorps d'origine

maternelle dirigés contre un alloantigène de membrane des plaquettes fœtales transmis par le père. Le plus souvent en cause est l'HPA-1a (près de 85 % des cas d'allo-immunisation antiplaquettaire) suivi du HPA-5b (9-12).

Les thrombopénies néonatales par contre sont fréquentes et ne seraient pas rares dans la population générale des nouveau-nés. Les thrombopénies néonatales ou fœtales seraient à la base dans la plupart des complications majeure en l'occurrence d'hémorragie intracrânienne fatales ou entrainant de séquelles neurologiques graves (13).

L'allo-immunisation materno-fœtale dont l'atteinte fœtale et néonatale est beaucoup plus grave a une fréquence estimée à 1 sur 800 naissances, les hémorragies intracrâniennes sont fatales dans 10 % des cas et liées à de séquelles neurologiques dans 20 % (13).

Le présent travail avait pour objectif d'analyser les immunisations HLA et HPA dans les suspicions de thrombopénie fœtale par alloimmunisation fœto-maternelle aux Cliniques Universitaires Saint Luc.

## 2. MATERIEL ET METHODES

Il s'agit d'une étude observationnelle dont l'analyse des données se fait de manière rétrospective au cours de la période allant du premier Janvier 2010 au 31 Décembre 2011. Le Laboratoire d'Immunologie Leuco-Plaquettaire des Cliniques Saint Luc de Bruxelles a servi de cadre d'étude.

L'étude a porté sur 60 recherches d'anticorps antiplaquettaires pour suspicion ou pour antécédents d'hémorragie fœtale. La présente recherche a concerné 60 échantillons des sujets ayant consulté ladite clinique au cours de la période d'étude.

La recherche d'immunisation anti-HLA et anti-HPA a été faite par la technique MAIPA (Monoclonal Antibody Specific Immobilisation of Platelet Antigens) et confirmée par Luminex: technique de détection et d'identification des anticorps anti-HLA par l'emploi de la technologie Luminex<sup>100</sup> microsphères system® (Luminex corporation, Austin, USA) en cas de résultat douteux pour les Ac anti HLA. Ces tests ont permis à la fois de mettre en évidence l'anticorps et d'identifier la cible contre laquelle il était dirigé.

Enfin, une anamnèse et un examen clinique ont été réalisés chez les patientes avec immunisation anti-HLA et/ou anti-HPA pour la recherche des éléments en faveur d'une thrombopénie fœtale par alloimmunisation fœto-maternelle dont:

- un antécédent d'hémorragie cérébrale fœtale connu;
- une suspicion d'hémorragie cérébrale fœtale;
- un antécédent ou thrombopénie néonatale et

 un antécédent d'hémorragie cérébrale du deuxième enfant.

## 3. RESULTATS

# 3.2. Alloimmunisation plaquettaire fœto-maternelle 3.2.1. Rechercher d'anticorps anti-HLA et anti - HPA

Un total de 20 Ac antiplaquettaires a été trouvé sur 60 dépistages réalisés au cours de la période d'étude. Le Tableau I résume la fréquence des anticorps anti-HLA et/ou anti-HPA dans la population d'étude.

Sur 60 recherches d'Ac anti-HLA et anti-HPA effectuées, la fréquence d'immunisation anti-HLA et anti-HPA était estimée à 33,33 % (20/60):

- les Ac anti-HLA étaient majoritaires soit 15,00 %(9/60),
- les Ac anti-HPA venaient en deuxième lieu pour 13,33 % (8/60) et
- les Ac anti-HLA associés aux anticorps anti-HPA étaient représentés à hauteur de 5,00 %(3/60).

Aucun Ac anti-HLA ou anti-HPA n'a été trouvé sur les 40 autres recherches restantes soit 66,67 % (40/60).

## 3.2.2. Anamnèse et l'examen clinique

L'anamnèse et l'examen clinique des patientes ont pu mettre en évidence les éléments suivants:

- Parmi les patientes ayant des anti-HLA on notait:
  - 1 antécédent d'hémorragie cérébrale fœtale connu,
  - 1 suspicion d'hémorragie cérébrale fœtale et
  - 1 thrombopénie néonatale
- Parmi les patientes avec anticorps anti HPA-1a positifs:
  - 4 antécédents de thrombopénies néo-natales
- Parmi les patientes avec anticorps anti-HPA 5b:
  - Un antécédent d'hémorragie cérébrale du deuxième enfant.

## 4. DISCUSSION

Sur un total de 60 recherches d'anticorps anti-HPA pour suspicion ou antécedent d'HFconduites aux Cliniques Saint Luc, il a été identifié un total de de 9 Ac anti-HLA positifs soit 15 % de patientes. Parmi ces patientes avec Ac anti-HLA positifs l'interrogatoire a fait ressortir un antécédent d'hémorragie cérébrale fœtale (HCF), une suspicion d'HCF et un cas de thrombopénie néonatale. Ces symptômes cliniques correspondent parfaitement aux informations que nous rapporte la littérature selon lesquelles la complication majeure des thrombopénies fœtales ou thrombopénies néonatales (TN) sévères serait la survenue d'hémorragie cérébrale qui est à l'origine de décès ou de séquelles neurologiques graves (13). En plus, l'existence d'une TN dans la fratrie est un argument en faveur du diagnostic d'une alloimmunisation fœto-maternelle. Les Ac anti-HLA qui d'après Kaplan, bien qu'étant portés par les PLT ne peuvent être considérés comme cause de thrombopénie. Ces Ac peuvent être attribués aux grossesses antérieures sans danger pour le foetus. Kaplan (14) rapporte que les Ac anti-HLA peuvent apparaître dès la 1ère grossesse. Pour Gramatage et al. (15), les Ac anti-HLA sont relativement fréquents chez les femmes enceintes et provoquent rarement une thrombopénie alloimmune et/ ou une neutropénie. D'après Taaning, (16) dire que les alloanticorps anti-HLA peuvent entrainer une thrombopénie fœto-maternelle alloimmune reste encore un mythe. Des cas isolés de thrombopénie néonatale ont été décrits en absence d'autres Ac que des anti-HLA. La patiente avec Ac anti HLA avec antécédent de thrombopénie néonatale a été suivie pendant la grossesse ultérieure par échanges plasmatiques et l'enfant n'était pas thrombopénique à la naissance. Il est donc impossible de confirmer ou infirmer le rôle des Ac anti HLA dans la thrombopénie précédente.

Outre, les Ac anti-HLA, il a été trouvé 8 cas (13 %) d'Ac anti-HPA positifs et 3 cas (5%) d'association Ac anti-HLA et

Tableau I : Fréquences d'anticorps anti-HLA et anti-HPA						
Anticorps anti-HLA et anti-HPA	Anticorps positifs (n=20)		Anticorps positifs et négatifs (n=60)			
	Effectifs	%	Effectifs	%		
Anticorps anti HLA	9/20	45	9	15.00		
Anticorps anti HPA	8/20	40	8	13.33		
anti-HPA 1a	5	25	5	8.33		
anti-HPA 5b	1	5	1	1.67		
anti HPA 1a + anti HPA 5b	2	10	2	3.33		
Ac anti HLA + Ac anti HPA	3/20	15	3	5.00		
anti HPA 1a	1	5	1	1.67		
anti HPA 5b	1	5	1	1.67		
anti HPA 1a + anti HPA 5b	1	5	1	1.67		

anti-HPA dont un cas avec HPA-1a, un autre avec HPA-5b et le dernier constitué d'Ac anti-HLA, HPA-1a et HPA-5b à la fois. Parmi les anti-HPA viennent en tête les anti-HPA-1a suivi des Ac anti-HPA 5b puis les associations Ac anti-HPA-1a et Ac anti-HPA-5b. Kaplan rapporte que chez les Caucasiens, l'Ag HPA-1a est le plus souvent en cause en cas d'allo-immunisations antiplaquettaires suivi par ordre de fréquence par HPA-5b. Par contre chez les Asiatiques les antigènes HPA-4b et HPA-5b sont majoritairement impliqués.

M. Kiefel V. et al. (17) ont estimé que parmi les anticorps les plus incriminés d'être à la base de la TNAI figurent en ordre décroissant: anti-HPA 1a (Zwa ou PLA1), anti-HPA 5b (Bra), anti-HPA 15b et d'autres. En plus il y aurait une corrélation entre cette alloimmunisation et l'hémorragie intra cérébrale survenant chez les enfants concernés.

## 5. CONCLUSION

Le présent travail a consisté à l'étude des immunisations anti-HLA et anti-HPA dans les suspicions de thrombopénies fœtales par alloimmunisation fœto-maternelle aux Cliniques Universitaires Saint Luc.

La fréquence d'immunisation anti-HLA et anti-HPA consécutive à l'allo-immunisation plaquettaire fœto-maternelle est élevée aux Cliniques Saint Luc de Bruxelles et estimée à 33,33 %.

## 6. REMERCIEMENTS

Nos remerciements les plus sincères s'adressent en premier lieu à la Cheffe de service Biologie Hématologique/Coordonnatrice du Centre de Thérapie Tissulaire et Cellulaire Professeure Dominique LATINNE, pour la direction de ce Travail de Master Complémentaire en Médecine Transfusionnelle session 20111-2012 Académie de Wallonie.

## 7. CONFLIT D'INTÉRÊT

Aucun conflit d'intérêt à signaler.

## **REFERENCES**

- 1. Degos, L. ABCD de HLA. Paris: Masson, 1988.
- Muller, J.Y. HLA et Transfusion Sanguine. Hématol. 2000, 6 (5): 375-85.
- von dem Borne AEGKr, Decary F. Nomenclature of platelet specific antigens. Br J Haematol 1990; 74: 2039-40.
- Santoso S, Kiefel V. Human platelet-specific alloantigens: update. Vox Sang 1998; 74: 249-53.
- Schuh AC, Watkins NA, Nguyen Q, Harmer NJ, Lin M, Prosper JYA, Campbell K, Sutherland DR, Metcalfe P, Horsfall W, Ouwehand WH. A tyrosine 703 serine polymorphism of CD109 defines the Gov platelet alloantigens. *Blood*2002; 99: 1692-8.
- Durand-Zaleski I, Schlegel N, Blum-Boisgard C, Uzan S, Dreyfus M, Kaplan C, and the "Immune thrombocytopenia" working group. Screening primiparous women and newborns for fetal/neonatal alloimmune thrombocytopenia: a prospective comparison of effectiveness and costs. Am J Perinatol 1996; 13: 423-31.
- Williamson LM, Hackett G, Rennie J, Palmer CR, Maciver C, Hadfield R, Hughes D, Jobson S, Ouwehand WH. The natural history of fetomaternal alloimmunization to the platelet-specific antigen HPA-1a (PLA1, Zwa) as determined by antenatal screening. *Blood* 1998; 92: 2280-7.
- Kaplan, Cécile. Le Purpura Post-Transfusionnel. Hématol. 2006,12(1): 61-5.
- Lee, K., Bierling, P. Rôle du Système HPA en transfusion. transfu. Clin. Biol., 2005, 12: s37.
- Lavaud, A., Bierling, P. Transfusion de concentrés plaquettaires. Méd. thérap., 1997,3 (10):869-77.
- Cesbron Gautier, A., Gagne, K., Retière, C., Devys, A., Bignon J.-D. Alloimmunisation anti-HLA: origine et mise en évidence. Hématol., 1984,7(47):158-8.
- Sniecinski, Je., O'Donnell, MR., Nowicki, B., la colline du LR. Prévention de la période réfractaire et d'alloimmunisation anti-HLA en utilisant des produits sanguins filtrés. Blood., 1988, 71 (5):1402-7.
- Kaplan, C. Thrombopénies Fœtales et Néonatales d'Origine Immune: Orientations Diagnostiques et Thérapeutiques. Hématol., 2003, 9(1): 57,63
- Kaplan, C. Alloimmunisations antiplaquettaires et diagnostic biologique. R. F. L., 2012, 2012 (439): 49-54.
- Gramatges, M. M., Fani, P., Nadeau, K., Pereira, S., Jeng, M.R. Neonatal alloimmune thrombocytopenia and Neutropenia associated with maternal Human Leukocyte Antigen antibodies. Pediatric. Blood Cancer. 2009, 53 (1):97-9.
- Taaning, E. HLA Antibodies and Fetomaternal alloimmune Thrombocytopenia: Myth or Meaningful? Transfus. Med. Rev., 2000, 14(3):275-80.
- Neppert, J., von Witzleben Schürholz, E. Néonatale Allo-Immune Thrombocytopénie (NAIT). Hambourg et Bad Bramstedt, 2011.



## ORIGINAL ARTILCE

# EVALUATION OF THE EFFICACY OF THE BLOOD TRANSFUSION AMONG CHILDREN IN KINSHASA: EXPERIENCE OF THREE HEALTHCARE FACILITIES

Gustave Mayuku Fukiau<sup>1</sup>, Hippolyte Situakibanza<sup>2</sup>, Ferdinand Mbayo Kalumbu<sup>1</sup>, Donatien Kayembe Nzongola<sup>1</sup>, Desire Mashinda Kulimba<sup>3</sup>

<sup>1</sup> University Clinic of Kinshasa, Department of Medical Biology, Service of Clinic Biology, <sup>2</sup> University Clinic of Kinshasa, Department of Medicine Intern, Service of Infectious Pathology, <sup>3</sup> University of Kinshasa, Faculty of Medicine, Public Health School

Corresponding Author: Dr. Gustave Mayuku Fukiau, MD, E-mail: gustave.mayuku@unikin.ac.cd

Submitted: November 2016, Accepted: April 2017

## **ABSTRACT**

**Background:** The study aimed at assessing the efficacy of blood transfusion among children in the city of Kinshasa. **Material and methods:** A cross-sectional study was conducted between 15 July and 15 September 2011 involving children aged from 1 month to 14 years admitted in one of the three following hospital in Kinshasa: University Clinics of Kinshasa, General Reference Hospital of Ndjili and Center Hospital of Kingasani. Reason for children's admission was decompensated anaemia requiring blood transfusion. Pre- and post-transfusion immuno-hematological analyses were performed and the efficiency of transfusion was calculated. Control of immunological parameters of the pocket and the recipient were conducted at the laboratory of immunohematology in the University Clinics of Kinshasa. **Results:** A total of 387 children participated in the study. Children aged 1 to 5 years were in the majority with a sex ratio of 1.13 in favor of boys. 71.3% of cases were transfused with the packed blood cells. One hundred eight children (27.9%) presented with adverse events and reactions to transfusion of which the most common was the thrill-fever (20.1%). Underlying causes of anemia were malaria (87.1%), sickle cell anemia (4.1%), pneumonia (3.4%) and malnutrition (0.8%). Most transfused children have experienced a favorable clinical evolution (95.8%). Blood transfusions have been controlled effectively in 53.2% of cases. **Conclusion:** The transfusion decision making criteria and the choice of blood to be transfused were respected in the majority of cases. The transfusion Act in general childhood in Kinshasa has been effective, leading to a favorable transfusional clinical evolution.

Key words: Blood Transfusion, Evaluation, Efficacy, Child, Kinshasa, DRC

Access this article online
Website: http://www.satapublishers.com
DOI: 10.18644/jiresh-biotech.0000039
E-ISSN: 2413-7669 (Online)



## ORIGINAL ARTILCE

## EVALUATION DE L'EFFICACITE DE LA TRANSFUSION SANGUINE CHEZ L'ENFANT A KINSHASA: EXPERIENCE DE TROIS FORMATIONS MEDICALES

Gustave Mayuku Fukiau<sup>1</sup>, Hippolyte Situakibanza<sup>2</sup>, Ferdinand Mbayo Kalumbu<sup>1</sup>, Donatien Kayembe Nzongola<sup>1</sup>, Desire Mashinda Kulimba<sup>3</sup>

<sup>1</sup> University Clinic of Kinshasa, Department of Medical Biology, Service of Clinic Biology, <sup>2</sup> University Clinic of Kinshasa, Department of Medicine Intern, Service of Infectious Pathology, <sup>3</sup> University of Kinshasa, Faculty of Medicine, Public Health School

Corresponding Author: Dr. Gustave Mayuku Fukiau, MD, E-mail: gustave.mayuku@unikin.ac.cd

Submitted: November 2016, Accepted: April 2017

## RÉSUMÉ

Background: L'objectif de cette étude était d'évaluer l'efficacité de la transfusion sanguine chez l'enfant dans la ville de Kinshasa. Matériel et Méthodes: Une étude transversale était conduite entre 15 Juillet et 15 Septembre 2011 porté sur les enfants âgés de 1 mois à 14 ans hospitalisés dans l'une des formations hospitalières suivantes: Cliniques Universitaires de Kinshasa, Hôpital Général de Référence de Ndjili et Centre Hospitalier de Kingasani. La raison d'hospitalisation des enfants était une pathologie avec anémie décompensée nécessitant une transfusion sanguine. Des analyses immunohématologiques pré- et post-transfusionnelles ont été réalisées et le rendement transfusionnel calculé. Le contrôle des paramètres immunologiques de la poche et du receveur ont été effectués au laboratoire d'immunohématologie des Cliniques Universitaires de Kinshasa. Résultats: Au total, 387 enfants ont participé à l'étude. Les enfants de 1 à 5ans étaient majoritaires avec un sex-ratio de 1,13 en faveur des garçons. Dans 71,3% de cas, le produit transfusé était le culot globulaire. Cent huit enfants (27,9%) ont présenté des réactions transfusionnelles et la plus fréquente a été le frisson-fièvre (20,1%). Les pathologies associées à l'anémie ont été le paludisme (87,1%), la drépanocytose (4,1%), la pneumopathie (3,4%), la malnutrition (0,8%). La plupart des enfants transfusés ont connu une évolution clinique favorable (95,8%). Les transfusionnelle et le choix de produits sanguins à transfuser ont été respectés dans la majorité des cas. L'acte transfusionnel en général chez l'enfant à Kinshasa a été efficace, ce qui a conduit à une évolution clinique post-transfusionnelle favorable.

Mots clés: Transfusion Sanguine, Evaluation, Efficacité, Enfant, Kinshasa, RDC

## 1. INTRODUCTION

a transfusion sanguine constitue une thérapeutique substitutive du sang ou de l'un de ses composants, cellulaires ou plasmatiques, provenant d'un ou des

Access this article online			
Website: http://www.satapublishers.com			
DOI: 10.18644/jiresh-biotech.0000039			
E-ISSN: 2413-7669 (Online)			

plusieurs sujets appelés donneurs à un sujet malade appelé receveur (1-6).

Elle est une discipline aux confins de l'hématologie et de l'immunologie. Elle représente une composante importante de la thérapeutique médicale. Rationnellement utilisée, elle sauve des vies humaines et améliore l'état de santé (2,7). Cependant, la transfusion sanguine comporte un risque potentiel des complications immunologiques immédiates ou tardives, métaboliques, circulatoires et de transmission d'infections (1, 3, 8). Par conséquent, elle ne doit être prescrite que dans des situations cliniques dans

lesquelles la prise en charge efficace ne peut être réalisée autrement(5,7).

La transfusion sanguine doit être sélective. En effet, les divers éléments cellulaires ou plasmatiques sont disponibles à l'état séparé (1, 3-5). On distingue, d'une part, les produits sanguins labiles obtenus par séparation physique du sang, et d'autre part, des dérivés sanguins stables obtenus par fractionnement secondaire du plasma (1, 4,5). Ces produits sanguins doivent tous être sans danger, efficaces sur le plan clinique et conformes à la qualité désirée (1,4,5). La logique de la transfusion sélective est de proposer chaque produit sanguin sous la forme la plus adaptée en quantité et en pureté sur base d'un principe qui est le malade ne doit recevoir que le composant sanguin dont il a besoin et que les autres composants sont superflus (1, 3, 5).

Pour cela il est nécessaire non seulement d'évaluer les besoins mais aussi la qualité du produit utilisé et l'efficacité attendu du traitement (9,10). La procédure d'évaluation de l'efficacité transfusionnelle est donc la disparition des signes cliniques de mauvaise tolérance de l'anémie et la régulation des paramètres hématologiques ou biologiques du patient (le taux d'Hb et le % d'Ht).

Plusieurs études à travers le monde ont tenté d'évaluer la pratique transfusionnelle dont l'efficacité de la transfusion (11-15). Depuis plus de 40ans, la décision de transfuser le CGR était basée sur la règle de "10/30" c'està-dire la transfusion est indiquée chez tout patient dans le but de maintenir la concentration sanguine d'Hb à 10g/dl et le pourcentage d'Ht à 30% (16). En 1988, the National Institutes of Health Consensus Conference a suggéré qu'un simple critère ne suffit pas pour décider d'une transfusion car cela doit se faire au cas par cas (16,17).

En Afrique, plusieurs études ont été menées pour évaluer l'efficacité biologique de la transfusion sanguine en mesurant le gain en hémoglobine et/ou hématocrite. Une étude réalisée en 1990 par Febro et coll. (18) à Abidjan a montré une efficacité estimée à 67,13%. En 1999, Adonis Koffy et coll. (19) à Yopougon, Ouethy Nana et coll. (20) à Bamako et Garba M et coll. (4) en 2003 à Bamako, avaient respectivement trouvé une efficacité de 85,9%, 58,2% et 68,75%. Adonis Koffy et coll. (19) dans la même étude avait trouvé un gain moyen d'Hb plus élevé estimé à 3,80g/dl après une unité de CGR Timbo (21) a trouvé le même résultat.

En République Démocratique du Congo, il n'existe pas de données sur l'efficacité de la transfusion sanguine. Toutefois, des études ont été réalisées sur la pratique transfusionnelle mais n'ayant pris en compte cet aspect. Le travail de Nyst et coll. en 1991 (22), Ilunga et coll. en 1995 (23) et Kiyombo et coll. (24) ont tout de même montré que la transfusion sanguine était un problème majeur de santé publique en RDC.

En 1998, Kazadi et coll. (25) ont trouvé que 76,67% des enfants de moins de 5ans étaient les plus grands bénéficiaires de la transfusion mais 3,51% des transfusions ont été décidées sans recours aux critères biologiques (Hb et/ou Ht). Par ailleurs, le recours aux critères cliniques se faisait de façon générale dans tous les centres enquêtés. Mulumba et coll. (26) et Kapinga et coll. (27) ont respectivement en 2003 et 2007 mené des études sur la fréquence des réactions posttransfusionnelles. En 2008, un travail réalisé par le CNTS chez les enfants à l'Hôpital Sendwe de Lubumbashi (28) a montré que le paludisme (62%) suivi de la drépanocytose (29%) et de la gastro-entérite (9%), étaient les diagnostics indiquant la thérapeutique transfusionnelle. Et que l'asthénie (45%), la dyspnée (23%), la tachycardie (17%) ainsi que la convulsion (9%) et l'agitation (8%) étaient retenues comme signes cliniques d'intolérance de l'anémie (28). Une étude menée en 2007 par Situakibanza et coll. (29) sur la transfusion sanguine a révélé que dans 57,62% des cas, les critères de prise de décision ont été respectés tandis que le choix des produits sanguins a été correct dans 100% des cas.

Le manque des données récentes chez l'enfant sur:

- le respect des critères de prise de décision;
- le choix des produits sanguins;
- l'efficacité de la transfusion sanguine;
- les réactions transfusionnelles dans les services de pédiatrie; nous ont motivé à mener la présente étude.

Les résultats de cette étude constitueraient une base de données pour le CNTS dans la définition éventuelle des nouvelles stratégies en matière de transfusion sanguine mais également aux prestataires des soins impliqués dans l'activité transfusionnelle.

L'objectif de notre travail est de contribuer à l'amélioration de la pratique transfusionnelle chez l'enfant dans les Formations Hospitalières de Kinshasa.

Ainsi pour atteindre le bout du tunnel de notre travail, les objectifs spécifiques suivant ont été assignés:

- Décrire le profil épidémiologique et clinique des enfants transfusés.
- Déterminer les paramètres hématologiques en pré- et post-transfusion ainsi que ceux d'efficacité transfusionnelle.
- Recenser les différentes réactions enregistrées au cours de l'acte transfusionnel.

## 2. MATÉRIEL ET MÉTHODES

Cette étude transversale sur des séries consécutives a été menée dans les Services de Pédiatrie des Formations Hospitalières suivantes: Cliniques Universitaires de Kinshasa, Centre Hospitalier de Kingasani et Hôpital Général de Référence de Ndjili, dans la ville de Kinshasa en RD Congo; du 15juillet au 15septembre 2011.

Il s'agit d'une population des enfants âgés de 1mois à 14ans admis dans les Services ci-haut cité pour pathologie nécessitant une transfusion sanguine pendant la période d'étude.

La taille de l'échantillonnage a été calculée selon la formule:

$$n = \frac{1,96^2 \times P \times Q}{i^2}$$

P = prévalence connue (70%)

Q = 100 - P(30%)

i = précision (5%)

$$n = \frac{(1,96)^2 \times 70 \times 30}{(0,05)^2} = 322,69$$

(323 Patients + 5%marge d'erreur = 339 patients comme taille minimum)

Les critères biologiques (hémoglobine ≤ 6g/dl, hématocrite ≤ 20%) et les critères cliniques (fréquence respiratoire: >40 cycles/min, fréquence cardiaque: >120 batts/min, obnubilation, agitation, altération profonde de la conscience, apathie, asthénie, tachycardie, décompensation cardiaque, tégument: pâleur cutanéomuqueuse, mieux pâleur des paumes de mains) de prise des décisions ont été surveillé ainsi que le rendement transfusionnel érythrocytaire ont été calculés selon la formule suivante:

RTE = 
$$\frac{\text{(Hb après - Hb avant)} \times 100}{\text{QHb transf./ VST patient}}$$

VST= volume sanguin total est en moyenne de 75 - 80 ml/kg chez l'enfant.

QHbtr = quantité d'Hb transfusée (40g pour unité adulte et 35g pour unité enfant).

Les définitions opérationnelles suivantes ont été formulées:

Efficacité biologique= rendement transfusionnel  $\geq$  80%. Inefficacité biologique= rendement transfusionnel <80%.

Efficacité clinique = évolution clinique favorable: suppression des signes d'intolérance à l'anémie.

Inefficacité clinique= évolution clinique défavorable: persistance des signes d'intolérance à l'anémie.

Chaque enfant a bénéficié de 3 prélèvements:

- le 1er tube avec anticoagulant: citrate de Na+ à 3,8% pour les analyses immunohématologiques prétransfusionnelles (1ml);
- le 2ème tube sans anticoagulant (1ml) pour la compatibilité;
- le 3ème tube avec anticoagulant (EDTA) pour le contrôle.

Les échantillons sont conservés à +4°c et testés au plus tard dans les 24 heures qui suivent les prélèvements.

Le dosage a été réalisé avec les techniques habituelles; l'Hb par la méthode d'étalonnage au spectrophotomètre et l'Ht par centrifugation du sang total contenu dans un tube capillaire; le groupage sanguin a été réalisé selon la technique d'agglutination par deux épreuves complémentaires globulaire et sérique.

## 2.1. Analyses des données

Le traitement des données a été fait avec le logiciel Word XP, Excel, et SPSS for Windows version15.0. Le Khi²(x²) a été utilisé comme test statistique pour comparer les données recueillies.

Le test t de student pour la comparaison des moyennes et le paired-sample t test pour la comparaison des données appariées afin de dégager s'il y a une différence significative. La valeur de p<0.05 est considérée statistiquement significative.

## 3. RESULTATS

Données Epidémiologiques (Figure 1 and Figure 2).

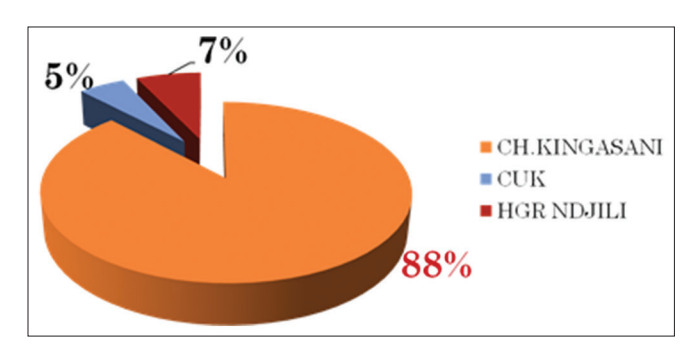


Figure 1: Répartition des enfants selon les Hôpitaux

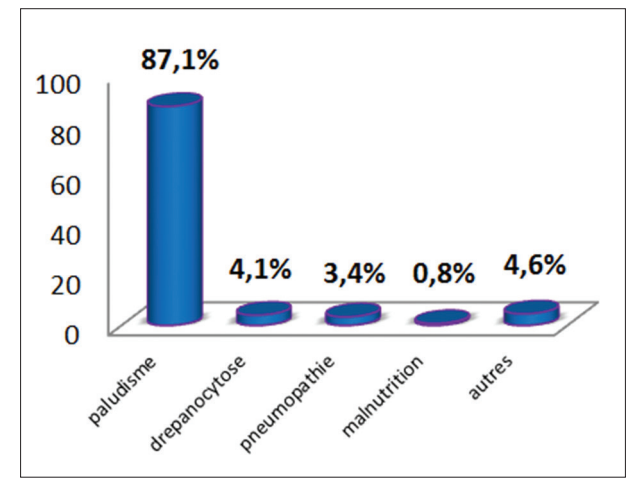


Figure 2: Distribution des enfants selon la pathologie sous-jacente

## 3.1. En rapport avec les Hôpitaux

Les données ci-haut indiquent que la plupart des enfants de la présente étude ont été observés au Centre Hospitalier de KINGASANI (88%).

## 3.2. En rapport avec les Enfants Transfusés

Les enfants dans la tranche d'âge de 1 – 5ans ont été les plus concernés tout sexe confondu (67,4%). Mais nous constatons une prédominance masculine (53%) quoiqu'il n'y ait pas une différence significative (p=0,245) (Table 1).

Le groupe sanguin O a été prédominant dans toutes les tranches d'âge et majoritaire dans la tranche d'âge de 1 – 5ans (Table 2).

La plupart des enfants n'avaient pas connu d'antécédent de transfusion (93,5%).

Parmi ceux qui ont été concernés, 3,4% avaient la notion d'une seule transfusion antérieure et 3,1% étaient des polytransfusés.

Le groupe sanguin AB comme le rhésus négatif ont été rare, soit 2,6% dans chaque cas (Table 3).

Le sang total a été rarement prescrit (soit 0,5%).

La plupart des enfants ont reçu les concentrés globulaires (soit 71,3%).

Le produit sanguin du groupe AB a été le moins utilisé (soit 2,9%)

**Tableau 1:** Distribution des enfants selon la tranche d'âge et le sexe

Sexe						
Age (an)	Masculin Féminin n=205(%) n=182(%)		Total N=387(%)			
< 1	29 (14,1)	17 (9,3)	46 (11,4)			
1 – 5	130 (63,4)	131 (72)	261 (67,4)			
6 – 10	33 (16,1)	27 (14,8)	60 (15,5)			
>11	13 (6,3)	7 (3,8)	20 (5,2)			

La plupart des enfants ont été reçu lucide avant la transfusion (363 cas).

Sur les 24 cas de coma, 17cas (4,4%) sont inscrits dans la tranche d'âge de 1-5ans.

Le paludisme a été la pathologie sous-jacente la plus retrouvée (87,1%) (Table 4).

Le paludisme a été plus retrouvé dans la tranche d'âge de 1-5ans (238cas soit 61,5%) alors que la pneumopathie l'a été dans cette tranche d'âge que chez les enfants de moins d'1an (5cas soit 1,3%).

Plus de la moitié des enfants avaient avant la transfusion un taux d'Hémoglobine  $\leq$  6g/dl (soit 57,9%) et un pourcentage d'hématocrite  $\leq$  18% (soit 52,2%).

22 enfants soit 5,6% avaient présentés tous les signes d'intolérance à l'anémie avant la transfusion. La plupart des enfants ont connu un amendement des signes cliniques après la transfusion. Sur 387 enfants transfusés, 27 ont continué à présenter les signes d'intolérance à l'anémie (Table 5).

Le taux moyen d'hémoglobine après transfusion était de 8,6g/dl avec un minimum de 5,2g/dl et un maximum de 15g/dl (Table 6).

Le taux moyen d'hématocrite après transfusion était de 29,1% avec un minimum de 16% et un maximum de 42%.

Les transfusions sanguines ont été contrôlées biologiquement inefficaces dans 46,8% de cas (Table 7).

Les transfusions ont été plus inefficaces chez les enfants de 6-10ans et plus.

Les transfusions de CGR et de ST ont été contrôlées biologiquement inefficaces dans respectivement 32,6% et 14,2%.

De tous les enfants inscrits à l'étude, ceux de groupe sanguin O étaient contrôlés efficaces dans 51% des cas suivi de groupe sanguin B (24%).

Tableau 2: Répartition des enfants selon le groupe sanguin et la tranche d'âge

	Groupe Sanguin							
Age (an)	A n=93 (%)	B n=93(%)	AB n=11(%)	O n=190(%)	TOTAL N=387(%)			
<1	10 (2,6)	13 (3,4)	0 (0)	23 (5,9)	46 (11,9)			
1-5	61 (15,7)	63 (16,3)	7 (1,8)	130 (33,6)	261 (67,4)			
6-10	14 (3,6)	15 (3,9)	0 (0)	31 (8)	60 (15,5)			
>11	8 (2,1)	2 (0,5)	3 (0,8)	7 (1,8)	20 (5,2)			

La transfusion a été inefficace chez plus de la moitié des enfants souffrant de la drépanocytose (10/16) et pneumopathie (7/13).

La majorité des enfants ont connu une évolution clinique favorable (95,8%) (Table 8).

La majorité des enfants n'ont pas connu d'incident transfusionnel (72%) (Table 9).

## 4. DISCUSSION

## 4.1. Données épidémiologiques

## 4.1.1. Formations hospitalières enquêtées

Au cours de notre étude, nous avons recruté des enfants tout venants reçus dans les Services d'Urgences pédiatriques des formations hospitalières enquêtées. La plupart de ces enfants ont été recrutés au Centre Hospitalier de Kingasani (88%), suivi de HGR de Ndjili (7%) et des CUK (5%) sur un total général de 387inscrits. Cette forte représentativité au CH Kingasani est certainement liée au nombre impressionnant des transfusions sanguines pédiatriques journalières sans concurrent, rendant ce centre une référence en matière de transfusion pour les enfants dans le secteur de Tshangu. Par contre, le nombre faible des enfants aux CUK pourrait être dû au mauvais climat des grèves successives pendant la période de l'étude.

## 4.1.2. Caractéristiques des enfants

La population était représentée par autant d'enfants de sexe masculin que féminin mais avec une discrète prédominance masculine (p=0,245) avec un sex-ratio de 1,13 garçon pour 1

**Tableau 3:** Répartition des enfants selon le groupe sanguin de produit transfusé

Rhésus N=387 (%)						
Groupe Sanguin	Positif n=376 (%)	Négatif n=11(%)	TOTAL N=387(%)			
Α	95 (24,5)	2 (0,5)	97 (25)			
В	81 (20,9)	1 (0,3)	82 (21,2)			
AB	10 (2,6)	1 (0,3)	11 (2,9)			
0	190 (1,8)	7 (1,8)	197 (50,9)			

fille. La comparaison des proportions faites n'a pas montrée une différence significative. D'autres auteurs ont aussi constaté la même chose (4, 19, 23, 25,28).

L'échantillonnage étant aléatoire, l'explication claire à ce sujet n'existe pas.

Cette étude a concerné les enfants de 1 mois à 14 ans. Ceux de moins de 5 ans étaient majoritaire, tout sexe confondu. C'est le même résultat trouvé par beaucoup d'autres études (4, 19, 20, 24, 27, 28,30). Ce résultat épouse les données classiques. Ceci peut s'expliquer par la faible protection à cet âge prédisposant à faire la malaria et la fréquence accrue des anémies palustres.

#### 4.1.3. Les antécédents transfusionnels

Parmi les enfants inscrits à l'étude, 25 soit 6,5% avaient un antécédent transfusionnel. D'autres études comme celle de Garba (4), Adonis-Koffy (19) ont trouvé respectivement 48,7% et 3,5% des malades avec antécédent transfusionnel.

Il y avait autant d'enfants polytransfusés que ceux avec un antécédent d'une seule transfusion.

## 4.1.4. Groupe sanguin des enfants transfusés

2,6% d'enfants avaient le groupe sanguin AB rhésus négatif et la prédominance était avec le groupe O suivi des groupes A et B. Même observation faite dans le travail de Mulumba MA et coll.(26). La répartition étant classique, ceci confirme les données de la littérature dans notre environnement.

La prédominance du groupe sanguin O a été aussi remarquée dans la tranche d'âge de 1 – 5ans. L'explication claire n'existe pas ici car le GS n'est pas lié à l'âge ni au sexe. Néanmoins, l'échantillonnage étant aléatoire, cette prépondérance est liée au nombre élevé des enfants inscrits à l'étude pour cette tranche d'âge.

## 4.1.5. Type de produit sanguin prescrit

La quasi-totalité de produit sanguin prescrit était le concentré globulaire (99,5%).

Le sang total était rarement prescrit (0,5%). Ceci rencontre le vœu de la politique nationale en matière d'utilisation

Tableau 4: Répartition des enfants selon la pathologiesous-jacente et l'âge							
Age en catégorie (an)							
Pathologie <1 1 - 5 6 - 10 >11 n=46(%) n=261(%) n=60(%) n=20(%)							
Paludisme	36 (9,3)	238 (61,5)	51 (13,2)	12 (3,1)	37 (87,1)		
Pneumopathie	5 (1,3)	5 (1,3)	3 (0,8)	0 (0)	13 (3,4)		
Malnutrition	1 (0,3)	2 (0,5)	0 (0)	0 (0)	3 (0,8)		
Autres	4 (1)	15 (4)	6 (1,6)	8 (2,1)	2 (8,7)		

des produits sanguins labiles (8). Mais les autres produits sanguins n'ont pas été prescrits.

D'autres travaux ont trouvé le contraire. Garba (4) a observé que 89,31% de demandes étaient du sang total. Ouethy (20) et Timbo (21) ont trouvé le même résultat (100%) des produits demandés étaient le sang total.

Les autres produits sanguins n'ont pas été prescrits. Ceci peut être expliqué par le peu de disponibilité de ces PSL dans nos unités de transfusion. Ceci pourrait être dû à diverses situations: leur préparation demande une technicité experte; problème de conservation, très limitée pour certains; aussi les circonstances et indications transfusionnelles n'ont pas trouvé leur place pendant l'étude.

## 4.1.6. Type de produit sanguin transfusé

La plupart des enfants ont reçu le concentré de globules rouges (71,3%).

Mais le constat est que le nombre d'unité de sang total prescrit était inférieur au nombre transfusé. Ceci pourrait être expliqué par le manque d'expertise des personnels soignants et techniciens sur les règles transfusionnelles. L'explication doit aussi tenir compte de l'absence ou de la rareté de production d'autres types de produit sanguin par manque de matériel approprié. Ce qui a fait que beaucoup d'enfants ont reçu le sang total à la place de culot globulaire réellement prescrit et indiqué. D'autres études ont montré la grande consommation de sang total, 79% par Mulumba MA et coll.(26).

**Tableau 5:** Répartition des enfants selon l'évolution de signe d'intolérance à l'anémie

Signe	Avant transfusion n=387(%)	Après transfusion n=27(%)
Tachypnée	114 (29,5)	6 (1,6)
Tachycardie	116 (30)	8 (2)
Agitation	31 (8)	4 (1)
Asthénie	74 (19,1)	5 (1,3)
Autres signes	30 (7,8)	2 (0,5)
Tous les signes	22 (5,6)	2 (0,5)

## 4.1.7. Groupe sanguin de produit transfusé

Très peu d'enfants avaient reçu le produit sanguin du groupe AB (2,9%). L'explication serait la rareté de ce type de produit sanguin dans notre environnement. Ceci confirme les données classiques sur la répartition de différents groupes sanguins dans la population en générale.

Le groupe sanguin O était encore majoritaire dans la tranche d'âge de 1-5ans (34,4%) pour le PSL transfusé. Ceci s'explique par le fait que le groupe O est majoritaire dans la population en générale et que cette tranche d'âge était la plus représentée.

## 4.2. Données Cliniques

#### 4.2.1. Conscience de ces enfants

De tous les enfants transfusés, très peu (6,2%) étaient reçus en état d'inconscience avant la transfusion. Parmi ces enfants, 17 soit 44% étaient inscrits dans la tranche d'âge de 1-5ans. Le coma n'étant pas lié à l'âge ni au sexe, l'explication sure n'existe pas.

# 4.2.2. Signes d'intolérance à l'anémie avant transfusion

Le signe le plus observé était la tachypnée (41,3%) suivi de la tachycardie (37,5%). 4,4% d'enfants avaient présenté tous les signes d'intolérance à l'anémie. Adonis-Koffy et coll.(19) avait trouvé que la tachycardie (77,9%) était prépondérante et parmi les enfants enquêtés, 17,7% étaient transfusés sans signe d'intolérance à l'anémie. Les critères cliniques de prise de décision transfusionnelle ont été respectés chez tous les enfants (100%). Même constat fait par Situakibanza et coll.(29).

Mais Kazadi et coll.(25) avaient constaté que la plupart des transfusions ont été décidés sur base de la biologie uniquement. Le constat est que le critère clinique de prise de décision transfusionnelle a connu un grand progrès dans nos formations hospitalières et cela montre à suffisance l'amélioration de la thérapeutique transfusionnelle dans la prise en charge des nos patients par les personnels soignants.

## 4.2.3. Les pathologies sous-jacentes

Le paludisme a été la pathologie la plus observée (87,1%) suivi de la drépanocytose (4,1%) et de la pneumopathie (3,4%). Les autres pathologies représentaient 4,6%. Ceci rencontre

Tableau 6: Représentation de la moyenne du taux d'Hb et Ht avant et après la transfusion sanguine						
	HbAv.(g/dl)	HbAp.(g/dl)	HtAv.(%)	HtAp.(%)		
Moyenne	5,8	8,6	18,08	29,1		
Ecart type	1,579	1,78	5,156	5,5		
Minimum	1,8	5,2	5	16		
Maximum	8,6	13,1	26	42		

Tableau 7: Répartition des enfants selon l'efficacité transfusionnelle par tranche d'âge

#### Efficacité transfusionnelle Age en Inefficace Efficace **Total** catégorie (an) n=181(%) n=206(%) n=387(%) < 1 15 (8,3) 31 (15) 46 1-5 116 (64,1) 145 (70,4) 261 6-10 60 36 (19,9) 24 (11,7) 20

Tableau 8: Répartition des enfants selon leur évolution post-transfusionnelle

6(2,9)

14 (7,7)

≥ 11

•	
Evolution	N=387(%)
Favorable	371 (95,8)
Décès	6 (1,6)
Inconnu	10 (2,6)

Tableau 9: Répartition des enfants selon la survenue de réaction transfusionnelle

	Réaction transfusionnelle	N=387(%)	
	Pas d'incident	279 (72)	
	Fièvre/Frissons	78 (20,1)	
	Urine foncée/Ictère	10 (2,6)	
	Convulsion (choc)	8 (2,1)	
	Dyspnée	6 (1,6)	

les données de la littérature et confirme le paludisme comme la première pathologie sous-jacente en cause de l'anémie chez les enfants.

Par ailleurs, ces pathologies ont été proportionnellement représentées tant chez les filles que chez les garçons. Ceci confirme les données classiques de la littérature selon lesquelles les pathologies ne sont pas liées au sexe.

Mais le paludisme était plus représenté chez les enfants de moins de 5ans, même constat pour la pneumopathie. Ceci peut être expliqué la fragilité des enfants à cet âge et la prédisposition à faire ces pathologies.

## 4.3. Données biologiques

IV.3.1. Le taux hémoglobine et d'hématocrite avant transfusion 57,9% des enfants avaient un taux d'Hb≤6g/dl avant la transfusion et 42,1% avaient un taux d'Hb >6g/dl. 52,2% des enfants avaient un pourcentage d'Ht≤18% avant la transfusion et 47,8% avaient un pourcentage d'Ht>18g/dl.

Ceci montre que plus de la moitié des enfants ont été transfusés en respectant les critères biologiques décisionnelles de la transfusion sanguine.

Garba a trouvé 75% des prescriptions respectant les critères biologiques de prise de décision transfusionnelle mais avec un pourcentage d'Ht<21% et un taux d'Hb<7g/dl.

## 4.4. Données post-thérapeutiques

## 4.4.1. Persistance des signes d'intolérance à l'anémie

La plupart des enfants ont connu un amendement des signes cliniques après transfusion sanguine (362 soit 93,5%). La tachycardie (9,1%) suivi de la tachypnée (1,6%), étaient les signes d'intolérance qui ont persisté en post-transfusion. Ceci s'explique par l'échec de la thérapeutique transfusionnelle et donc une inefficacité de celle-ci.

## 5. CONCLUSION

La transfusion sanguine est une thérapeutique non dénuée de risque. Les critères de prise de décision de transfuser et le choix de produits à transfuser doivent être judicieux. La pathologie la plus anémiante fréquemment rencontrée chez les enfants étant le paludisme, une prévention et une prise en charge efficace seraient très encourageant. Ainsi toutes les étapes de l'acte transfusionnel doivent se réaliser correctement afin d'avoir un rendement efficace.

## 6. CONFLIT D'INTÉRÊT

Aucun h1.

#### REFERENCES

- Lefrère JJ, Rouger P. Pratique nouvelle de la transfusion sanguine, 3ème édition actualisée, 2009, pg 6-7.
- Tazerout M, Galinier Y. Les clés de l'Hémovigilance; Manuel d'aide à la formation en transfusion sanguine, coordination régionale d'Hémovigilance, Toulouse/France
- Salmon Charles, Anne-Marie Julien. La transfusion sanguine homologue. Précis des maladies du sang. Tome II. Paris; Ellipses, 1994; 626-72.
- Garba M. Les besoins transfusionnels dans le service d'hématologie oncologie médicale et de médecine interne du CHU du Point "G" de janvier 1998 à decembre 2003. Thèses, faculté de médecine, Bamako,
- Rouger P. La Transfusion Sanguine: bases scientifiques, médicales et réglementaires, 3ème édition, INTS.
- OMS. Sécurité du sang et des produits sanguins: module3. WHO/GPA/ CNP/93.2C, Genève, Suisse1993.
- OMS. Utilisation Clinique du sang. Aide-mémoire pour les autorités Nationales de santé. Genève, Suisse2000.
- CNTS. Manuel de formation en transfusion sanguine. CNTS/RDC, Septembre 2005.
- Situakibanza NH. Du don usage des produits sanguins en RDC, modules de formation et de renforcement des capacités en immunotransfusion; Département de Médecine Interne, CUK.
- 10. Gouëzec H, Jego P, Brétrémieux P et all. Les indications des produits sanguins labiles et la physiologie de la transfusion en Médecine. Transfusion Clinique et Biologique, volume12, issue2, juin2005, pg 169-176
- 11. Vincent JL, Baron JF, Rheinhart K et al. Amenia and blood transfusion

- in critically ill patients. JAMA2002; 288: 1499-507.
- Cormin HL, Gettinger A, Pearl RG et al. The Crit Study: Anemia and blood transfusion in the critically ill. Current clinical practice on the United States. Crit care Med2004; 32:39.
- Franco Verlicchi. Evaluation of clinical appropriateness of blood transfusion. Blood Transfus 2010; 8:89-93.
- Gouêzec H et al. Evaluation multicentrique de la pertinence des prescriptions de CGR. Transfusion Clinique et Biologique17 (2010):318-330.
- Paul EM, Cormin HL. Efficacy of Red Blood Cell transfusion in the critically ill: A systematic Review of the literature. Crit Care Med. 2008; 36(9):2667-2674.
- Kleinman S, Arthur J, Stephen AL. Use of Red Blood Cell for transfusion. Transfusion Clinique et Biologique, volume12, issue2, June2005, pages169-176.
- Van der Linden P. Risque lié à la non transfusion. Transfusion. MAPAR2005.
- Febro V. Pratiques transfusionnelles au CHU de Cocody. Thèses, Méd, Abidjan 1990; RCI N°1636.
- Adonis-Koffy L, Kouassi KA, Ehua M, Timite-Konan AM. Blood transfusion in the hospital of Yopougon. Médecine d'Afrique Noire 2003, vol.50, N°8-9.
- Ouethy N, Tekam MS. Analyse des activités transfusionnelles dans le Service de Pédiatrie du centre hospitalier et universitaire Gabriel Touré. Thèse, Méd, Bamako2000, 29.
- 21. Timbo M. Problèmes posés par la transfusion sanguine à l'hôpital

- Gabriel Touré de Bamako, Thèse, Méd, Bamako 1991; 22.
- 22. Nyst M et coll. Guide pratique de la transfusion. Kinshasa 1991.
- Ilunga N et coll. Etude rétrospective sur la thérapeutique transfusionnelle en 1993/1994 dans quatre centres transfusionnelles de Kinshasa. Kinshasa 1995.
- Kiyombo M, Konde N, Kieto Z et al. Analyse de la situation de la transfusion sanguine dans les formations sanitaires de la ville de Kinshasa. Rapport.ESP.2007.
- Kazadi KR, Vercruysse V, Mulumba MA. Evaluation des indications de la transfusion sanguine dans cinq structures hospitalières de Kinshasa. GTZ/Kinshasa 1998.
- Mulumba MA, Kapinga MS, Mulumba MP et al. Evaluation des accidents immunohématologiques liés à la transfusion sanguine à Kinshasa. Annales de la Faculté de Médecine, UNIKIN, N°1(2004), pg83-94.
- 27. Kapinga MS, Mulumba MA, Yuma RS, Ndakala ND. Hémovigilance à Kinshasa, RDC: Bilan d'une année d'expérience. Poster13, Perpignan2008; pg78. VIIIème Congrès National d'Hémovigilance et de Sécurité Transfusionnelle.
- CNTS. Transfusion sanguine chez l'enfant en RDC. Quel produit ? CNTS/PNTS 2008.
- Situakibanza H, Mbula MM, Diasonama JF et al. Transfusion sanguine aux CUK: expérience de Médecine Interne, Mai 2007.
- Stivionade: Histoire de la transfusion sanguine, INTS, Juillet 2010, revisé.



## ORIGINAL ARTICLE

## VALEURS DE REFERENCE UTILES A L'EXPLORATION NEUROPSYCHOLOGIQUE DES PSYCHOSES FONCTIONNELLES NON AFFECTIVES ET SPECIFIQUES EN MILIEU CONGOLAIS

Ngoma MV<sup>1</sup>, Longo MB<sup>2</sup>, Mampunza MM<sup>3</sup>, Peuskens J<sup>3</sup>, Vansteelandt K<sup>3</sup>

<sup>1</sup>Université de Kinshasa, Faculté de Médecine, Département de Psychiatrie, <sup>2</sup>Université de Kinshasa, Faculté de Médecine, Département de Médecine Interne, <sup>3</sup>Katholieke Universiteit te Leuven (KUL), Universitair Centrum St Jozef de Kortenberg

Corresponding Authors: Ngoma Malanda, E-mail: nonojoelle@yahoo.fr

Submitted: June 2016, Accepted: April 2017

## **RÉSUMÉ**

Il existe un modèle de batterie neuropsychologique récemment validé pour les psychoses fonctionnelles non affectives (PFNA) en milieu congolais. Cependant, la difficulté de distinguer la normalité des troubles cognitifs demeure dans ce milieu. La présente étude détermine les valeurs de référence utiles à l'exploration des PFNA et spécifiques en milieu congolais. Elle compare aussi les valeurs neuropsychologiques moyennes des participants à celles des populations normales occidentales. Cent cinquante-deux participants noirs congolais réputés normaux aux plans somatique et mental et recrutés d'une manière aléatoire dans la ville de KINSHASA ont été évalués au moyen d'une batterie neuropsychologique de large portée. Les valeurs neuropsychologiques de référence ont été déterminées au moyen des formules appropriées. Les seuils neuropsychologiques d'alerte et de décision médicale ont été déterminés en fonction des variations pathologiques de chaque variable cognitive. Les moyennes, les écarts types et leurs intervalles de confiance à 95% ont été calculés. Le test-t de Student a été utilisé pour comparer les moyennes de l'étude à celles des populations occidentales. Contrairement aux moyennes de certains tests non verbaux, les moyennes des tests verbaux étaient moins bonnes que celles occidentales. Ce constat est attribué à des facteurs linguistiques et à une inadéquation d'ordre culturel du matériel utilisé.

Mots clés: Valeurs de Référence, Neuropsychologique, RD Congo

## 1. INTRODUTION

a schizophrenie (SCHI), le trouble schizophreniforme (TSF) et le trouble psychotique bref (TPB) constituent l'essentiel des psychoses fonctionnelles non affectives

Access this article online
Website: http://www.satapublishers.com
DOI: 10.18644/jiresh-biotech.0000040
E-ISSN: 2413-7669 (Online)

(PFNA) relevant de la 4e edition du Diagnostic and Statistical Manual of Mental Disorder (DSM IV) (1).

Il existe des batteries neuropsychologiques conges pour les schizophrenes occidentaux (2,3) dont un modele vient d'etre valide chez des patients congolais souffrant de PFNA par une etude recente de notre collectif (4). La difficulte de distinguer la normalite des troubles cognitifs, justifie l'initiation de la presente etude, avec les objectifs suivants:

- determiner les valeurs de reference utiles a l'exploration des psychoses fonctionnelles non affectives et specifiques en milieu congolais;
- · comparer les moyennes des variables cognitives d'une

populations congolaise normale a celles des populations normales occidentales.

## 2. MATERIEL ET METHODES

## 2.1. Nature et population d'etude

Cette etude transversale a ete realisee chez des noirs congolais, ages de 18-45 ans, et examines entre le 15/12/1998 et le 7/11/2002. La conception de cette etude a respecte toutes les recommandations de la declaration d'Helsinki II et d'ethique de recherche biomedicale. L'etude a ete realisee apres acceptation du projet par le comite scientifique de l'Universitair Centrum Sint Jozef de Kortenberg (Leuven, Belgique) et du comite local d'ethique de la faculte de medecine de l'Universite de Kinshasa. Le consentement eclaire des participants a aussi ete obtenu avant l'inclusion dans l'etude.

La ville de Kinshasa, capitale de la Republique Democratique du Congo (RDC) compte pres de 8 millions d'habitants repartis a travers 24 communes administratives. Deux listes de communes representatives de la partie Ouest et de la partie Est de la ville de Kinshasa ont ete constituees. La commune de Ngaliema, representative de la partie Ouest et celle de Lemba, representative de la partie Est ont ete selectionnees. Cent cinquante- deux participants dont 76 habitant le quartier Molo, tire au hasard de la liste des quartiers de la commune de Lemba, et 76 habitant le quartier Ozone, tire au hasard de la liste des quartiers de la commune de Ngaliema, rencontres successivement les jours de l'enquete ont ete examines.

## 2.2. Criteres d'inclusion

Ont ete retenus comme participants, les personnes apparemment normales aux plans somatique et mental repondant aux criteres suivants:

- avoir un niveau de comprehension acceptable du fran9ais au test des 15 mots de Rey (5);
- avoir une vue permettant de reconnaître les couleurs 'rouge', 'verte', 'bleue' et de lire aussi les mots au test de Stroop (6);

## 2.3. Criteres d'exclusion

La presente etude a exclu les personnes caracterisees de la maniere suivante:

- une histoire personnelle de meningo-encephalite, d'affection vasculaire cerebrale, de retard mental, de processus expansif intracranien et de traumatisme cranio-cerebral avec perte de conscience;
- l'alcoolisme et les autres formes de toxicomanie;
- des affections generales susceptibles de generer des hallucination et des idees delirantes: diabete sucre, affections thyroi'diennes, lupus erythemateux dissemine, sclerodermie, endocardite infectieuse, insuffisance hepatique, insuffisance

renale, infection au VIH/SIDA, cancers;

- l'appartenance a des professions familieres aux tests neuropsychologiques (psychologues, psychiatres, gestionnaires du travail);
- une histoire familiale de troubles affectifs et/ou de schizophrenie. Exploration neuropsychologique

La batterie neuropsychologique utilisee comprenait les tests suivants (n=11 tests avec 47 variables):

- le Trail Making Test de Halstead-Reitan (7) evaluant les fonction 'balayage visuel' et attention. Ce test comprend deux parties: A et B. Dans la partie A, les participants ont ete instruits de relier avec des lignes, le plus rapidement possible et dans l'ordre croissant, les chiffres numerates de 1 a 25 et eparpilles pele-mele sur une feuille de papier. Dans la partie B, les participants ont ete instruits de relier avec des lignes, le plus rapidement possible et alternativement des chiffres numerates de 1 a 13, dans l'ordre croissant et les lettres de l'alphabet allant de A a L, selon leur ordre alphabetique; les chiffres et les lettres etant disposes pele-mele sur une feuille de papier. Les scores correspondant au temps en secondes mis par les patients pour executer chaque partie de l'epreuve (variables TRAILA et TRAILB) n'ont pas ete additionnes;
- le test de la memoire des chiffres (8), une composante de l'echelle de memoire de Wechsler. Ce test comprend deux volets constitues chacun de 14 items faits de series de chiffres. Au premier volet, les participants ont ete instruits de repeter dans le meme ordre les chiffres lus par l'examinateur; l'ordre inverse etant de mise au deuxieme volet. Le nombre d'items correctement repetes correspondait a un score. Les scores TMCD, TMCI et TMCT ont ete respectivement attribues a chaque patient pour le premier volet, le second et l'ensemble de 2 volets;
- le Letter Number Sequencing Test (8), une autre composante de l'echelle de memoire de Wechsler, evaluant la memoire operationnelle. Ce test est compose de 21 items representant des sequences de plus en plus longues des chiffres et des lettres disposes pele-mele. Les participants ont ete instruits de repeter les chiffres dans l'ordre croissant ensuite les lettres dans l'ordre alphabetique prealablement lus par l'examinateur. La cotation des scores a ete basee sur le nombre d'items correctement repetes parmi tous les 21 items du test (variable LNST);
- le Stroop Color and Word Test (6) mesurant les capacites d'abstraction et de formation des concepts, la flexibilite cognitive, l'attention, la creativite et la resistance a l'interference des stimuli exterieurs. Dans la premiere partie du test, les participants ont ete instruits de lire le plus rapidement possible les mots 'rouge', 'vert' et 'bleu' disposes pele-mele et ecrits en noir sur une page de papier contenant cinq colonnes de 20 items chacune. Dans la deuxieme partie du test, les participants ont ete instruits

de nommer le plus rapidement possible, sur une seconde page, la couleur (soit rouge, soit verte, soit bleue) des stimuli symbolises par 'XXXX' imprimes pele-mele en cinq colonnes de 20 items chacune. Dans la troisieme partie du test, les participants ont ete convies a nommer, sur une troisieme page, la couleur d'impression respective des mots 'rouge', 'vert' et 'bleu'; le mot 'rouge' etant imprime en couleur verte ou en couleur bleue, mais jamais en couleur rouge; le mot 'vert' etant imprime en couleur rouge ou en couleur bleue, mais jamais en couleur verte; le mot 'bleu' etant imprime en couleur rouge ou en couleur verte, mais jamais en couleur bleue. Les mots etaient imprimes pele-mele en cinq colonnes de 20 items chacune. Le temps devolu a la realisation de chaque partie du test etait de 45 secondes. Trois scores fondamentaux ont ete obtenus selon le nombre des mots correctement lus a la premiere partie du test (score W ou STROOPW), le nombre des couleurs correctement nommees a la deuxieme partie (score C ou STROOPC) et la couleur correcte a partir de la combinaison motcouleur a la troisieme partie du test (score

CW ou STROOPCW). Un score derive dit d'interference a ete calcule a partir de la formule suivante: Interference (STROOPI)=CW-CW' ou CW'= WXC/W+C;

les 15 mots de REY (5) evaluant la memoire verbale en deux etapes. La premiere etape se referait a revocation immediate en cinq temps. A chaque temps, l'examinateur lisait la serie des 15 mots suivants: tambour, rideau, ceinture, cafe, ecole, parent, soleil, jardin, casquette, paysan, moustache, dindon, couleur, maison, riviere. Il demandait ensuite aux participants de reproduire, endeans les 60 secondes au premier temps et endeans les 90 secondes a chacun des quatre temps ulterieurs, les mots qu'ils avaient retenus. L'examinateur notait tous les mots, exacts et faux confondus, repetes par les participants. Les mots exacts repetes plus d'une fois sans hesitation etaient consideres comme mots doubles, contrairement aux mots doubles interrogatifs indiquant les mots exacts reproduits plus d'une fois avec hesitation. Pour le besoin de la presente etude, seuls les scores des mots exacts (REY1-5J), des mots faux (REY1-5F), des mots doubles (REY1-5D) et des mots doubles interrogatifs (REY1-5D?) a chacun des cinq temps ont ete utilises. Mais de maniere classique, la cotation tient aussi compte de la sommation (score total) respective des mots exacts, des mots faux, des mots doubles et des mots doubles interrogatifs aux cinq temps. A la seconde etape, de la reconnaissance (recognition en anglais), les participants ont ete instruits de dire 'hop' a chaque fois qu'ils reconnaissaient l'un des quinze mots de la serie susmentionnes au cours d'une histoire pre codifiee et lue par l'examinateur. L'examinateur obtenait un score relatif au decompte des mots exactement reconnus (REYRJ) et un deuxieme, relatif au decompte des mots faussement reconnus (REYRF);

- le d2 Test of Attention de Brickenkamp (9) mesurant l'attention soutenue. Les participants ont eu comme tache de biffer le plus grand nombre possible de lettres d avec deux guillemets (lettre cible). Les lettres pour distraire les participants etaient les d avec moins ou plus de deux guillemets et les p avec 1-4 guillemets. Les differentes lettres figuraient sur 14 lignes de 47 lettres chacune. Les participants disposaient de 20 secondes pour biffer les lettres cibles sur chaque ligne. Les scores fondamentaux obtenus etaient les suivants:
  - le score de rang total (D2ST) representant l, ensemble des lettres barrees, erreurs comprises; ° le score des erreurs par omission (D2ERO) representant le nombre total de lettres cibles oubliees d>etre barrees;
  - le score des erreurs par commission (addition) (D2ERC) representant le nombre total des lettres de distraction barrees;
  - le score total des erreurs (D2ERT)= score des erreurs par omission + score des erreurs par commission.

Deux scores derives ont ete calcules a partir des scores fondamentaux: ° le score des lettres correctement barrees (D2TC)= score de rang total - score total des erreurs;

- le % des erreurs (D2ER%)= score total des erreursx100/score de rang total;
- la figure complexe de Rey (5) evaluant simultanement la memoire visuelle, l'organisation spatiale, le controle visuomoteur et l'attention. Apres presentation d'une figure typique codifiee par Rey, comme support materiel, les participants ont ete evalues en deux temps. La premiere etape du test concernait la copie du modele ou figure (organisation spatiale, controle visuomoteur, attention). La deuxieme etape etait relative a la reproduction du modele par creur (memoire visuelle). Les deux etapes etaient separees par une pause de trois minutes consacree a un entretien entre l'examinateur et les participants.

La cotation de la premiere etape du test a porte sur le temps en secondes mis pour realiser la copie (FCRT) et la richesse de la copie (FCRC). La richesse de la copie etait evaluee en reference aux 18 elements (formes geometriques, objets, dessins) distingues par Osterrieth (10). La cotation de la deuxieme etape n'etait basee que sur la richesse de la figure reproduite par creur (FCRR); richesse evaluee de la meme maniere qu'a l'etape de la copie de la figure;

• le Wisconsin Card Sorting Test (WCST) (11) evaluant les capacites d'abstraction et de formation des concepts ainsi que la flexibilite cognitive. Le test consistait a demander aux participants de classer correctement quatre paquets de 64 cartes dites de reponse en se referant a l'une des quatre cartes 'stimulus'. Les caracteristiques des cartes stimulus etaient la couleur (jaune, rouge, bleue et verte), la forme ou la nature des symboles (cercle, etoile, croix et triangle) et le nombre (de 1 a 4) des symboles. Les participants n'etaient pas au courant des caracteristiques

de reference a chaque etape du test; il leur appartenait de le decouvrir a partir du jugement de l'examinateur portee sur la carte precedente (carte correctement classee vs. mal classee). Le critere de jugement changeait, a l'insu des participants, apres classement correct de dix cartes successives. Deux cycles de classification des cartes comprenant 3 etapes successives (classement selon la couleur, classement selon la forme et classement selon le nombre des symboles) ont ete predetermines. Mais, le test etait aussi considere acheve lorsque les participants epuisaient les 64 premieres cartes de reponse sans realiser le criterium de dix reponses correctes.

Parmi plusieurs scores recommandes pour le WCST (11), seul le nombre des series (de zero a six) (WCSTS) a ete exploite dans la presente etude;

- le Controlled Oral Word Association de Benton (12) mesurant la fluidite verbale (fluidite phonetique et la fluidite semantique). La fluidite phonetique a ete exploree eu utilisant les lettres 'F', 'A' et 'S' comme initiales des mots. Les participants etaient instruits d'enumerer en une minute le plus de mots possible commen9ant par chacune de ces lettres, les noms propres etant exclus. Le score de la fluidite phonetique (COWAPHO) etait le nombre total des mots enumeres par les participants.
  - La fluidite semantique consistait en l'enumeration du plus grand nombre des noms d'animaux en une minute. Le score de la fluidite semantique (COWASEM) etait le nombre des noms d'animaux cites par les participants;
- le Finger Tapper Board (FTB) (7) mesurant la vitesse motrice, avec comme support materiel une cle tapante couplee a un compteur contenus dans un panneau en bois. Les participants ont ete instruits de taper le plus vite possible sur la cle respectivement avec leur index de la main dominante et leur index de la main non dominante; les coups etant enregistres par le compteur. Cinq essais de 10 secondes ont ete realises par chaque main. Le score a ete obtenu pour chaque main en la valeur moyenne des coups realises (FTBDOM pour la main dominante, FTBNDOM pour la main non dominante);
- les matrices progressives de Raven (13) mesurant l'intelligence generale non verbale. Ce test comprend 12 planches comprenant chacune un grand modele sur la partie superieure et 6 a 8 petits modeles sur la partie inferieure. Les participants etaient instruits de combler le vide se trouvant sur le grand modele par le petit modele approprie (seule reponse exacte). Le score etait le nombre d'items (planches) corrects accomplis (MPR).

#### 2.4. Definitions operationnelles

# 2.4.1. Interpretation de la performance psychotechnique des variables cognitives

Pour les variables a connotation positive, la meilleure performance etait definie par les valeurs les plus elevees (plus c'est eleve, plus c'est bon) des 24 variables cognitives suivantes: REY1J, REY2J, REY3J, REY4J, REY5J, REYRJ, TMCD, TMCI, TMCT, LNST, FCRC, FCRR, STROOPW, STROOPC, STROOPCW, STROOPI, D2ST, D2TC, WCSTS, COWAPHO, COWASEM, FTBDOM, FTBNDOM et MPR. Pour ces variables, l'anomalie etait definie par la baisse de la valeur de la variable.

Pour les variables a connotation negative, la meilleure performance etait definie par les valeurs les plus basses (plus c'est bas, plus c'est bon) des 23 variables cognitives suivantes: RE1F, REY2F, REY3F, REY4F, REY5F, REY1D, REY2D, REY3D, REY4D, REY5D, REY1D?, REY2D?, REY3D?, REY4D?, REY5D?, REYFF, FCRT, TRAILA, TRAILB, D2ERO, D2ERC, D2ERT et D2ER%. Pour ces variables, l'anomalie etait definie par la hausse de la valeur de la variable.

#### 2.4.2. Valeurs normales de reference

Les valeurs de la distribution normale de chaque variable cognitive etaient comprises entre le percentile 2,5 et le percentile 97,5.

Les valeurs de reference ont ete obtenues par les calculs suivants: - En cas de distribution normale des variables evaluees (methode parametrique):

- percentile  $2.5 = X 1.96 \times ET$ ;
- percentile 97,5 = X + 1,96 x ET; intervalle de confiance a 0,90 pour chaque percentile; limite inferieure = limite du percentile - 2,81 x ET/-Jn; limite superieure = limite du percentile + 2,81 x ET/4n;
- En cas de distribution asymetrique des variables (methode non parametrique):. transformation logarithmique de la moyenne et de l'ecart-type; reconversion des parametres en utilisant la fonction inverse (antilogarithme); calcul des limites comme s'il s'agissait d'une distribution normale (12).

## 2.4.3. Seuils d'alerte et seuil de decision medicale

Le seuil d'alerte, seuil des valeurs pathologiques des individus a surveiller mais ne necessitant pas encore de prise en charge therapeutique, etait compris dans le quartile I si l'anomalie etait definie par la baisse de la variable cognitive, sinon dans le quartile IV.

Le seuil de decision medicale, seuil des valeurs pathologiques des individus necessitant une prise en charge therapeutique, etait superieur a la limite superieure des valeurs de reference en cas d'anomalie vers la hausse, sinon inferieur a la limite inferieure des valeurs de reference en cas de baisse pour definir l'anomalie.

## 2.5. Analyses statistiques

Les donnees ont ete presentees sous forme des scores et des moyennes  $\pm$  ecart type (o) avec leurs intervalles de confiance

a 95%. La distribution des scores des differents tests a ete presentee sous forme d'histogrammes avec courbes de densite.

Le test - t de Student a ete utilise pour comparer les scores moyens de cette etude a ceux observes dans les pays occidentaux. La valeur de p<0,05 etait consideree comme seuil de significativite statistique.

Toutes les analyses ont ete realisees sur microordinateur en utilisant le logiciel SPSS (Statistical Package for Social Sciences) pour Windows version 10.0 (SPSS, (Inc, Chicago, Illinois, USA).

## 3. RESULTATS

# 3.1. Caracteristiques sociodemographiques de la population d'étude

La population d'étude comprenait 152 participants dont 86 hommes (56,6%) et 66 femmes (43,4%). Le sex ratio était de 1,3 homme: 1 femme. L'age moyen des participants était de  $28 \pm 7,1$  ans. La figure 1 presente la repartition des participants selon les groupes d'age.

Les participants du niveau d'etudes secondaire (45,4% n=69) etaient plus frequents que ceux du niveau superieur (34,2% n=52) et du niveau primaire (20,4% n=31).

## 3.2. Variables cognitives

## 3.2.1. Distribution des variables cognitives

Les figures 2-5 presentent les differentes distributions des scores des 47 variables cognitives evaluees.

# 3.2.2. Valeurs de reference, seuils d'alerte et seuils de decision medicale

Le tableau 1 resume les valeurs de reference (normales), les seuils d'alerte et les seuils de decision medicale des variables du test des 15 mots de Rey.

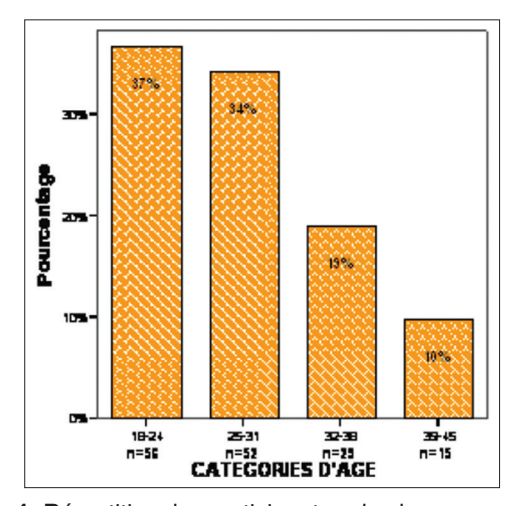


Figure 1: Répartition des participants selon les groupes d'âge

Les valeurs de reference, les seuils d'alerte et les seuils de decision medicale des variables des autres tests neuropsychologiques sont presentes dans le tableau 2.

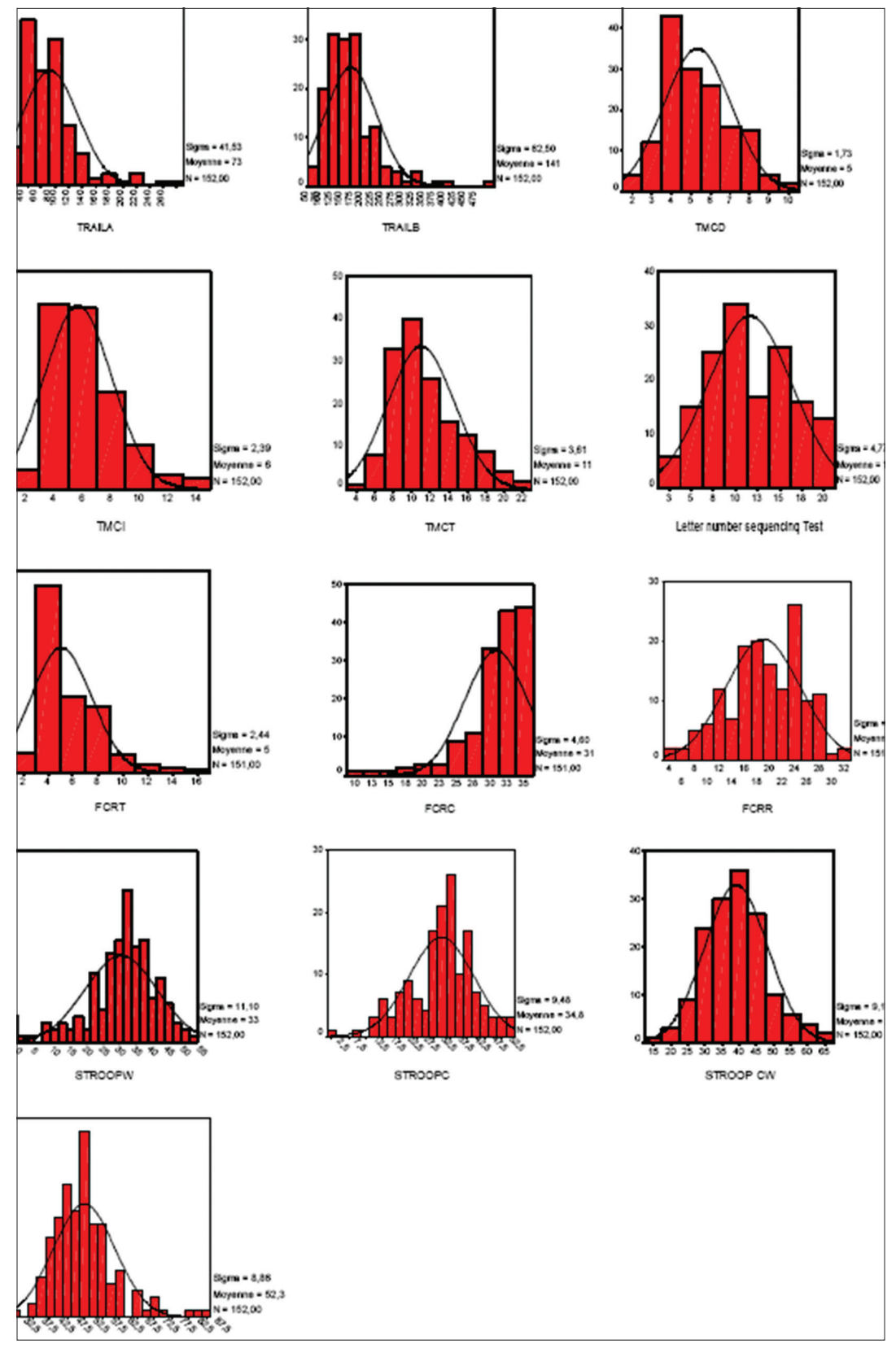
# 4.2.3. Comparaison des moyennes de l'etude a celles des populations occidentales

En tenant compte de la connotation (positive ou negative) des differentes variables les moyennes de cette etude etaient moins bonnes (p<0,05) que celles des populations occidentales, quant aux variables TRAILA, TRAILB, LNST (14), COWASEM, FTBDOM, FTBNDOM (15). II en etait de meme avec les moyennes de toutes les variables relatives aux mots justes, aux mots faux, a l'exception de REY1F (p=0,053) et de REYRF (p=0,076), et aux mots doubles des 15 mots de Rey (5). Cependant, les moyennes de cette etude etaient meilleures quant a toutes les variables relatives aux mots doubles interrogatifs des 15 mots de Rey (5) et au nombre des series realisees au Wisconsin Card Sorting Test (variable WCSTS) (14). Les moyennes de cette etude etaient identiques a celles des populations occidentales quant au score total de la memoire des chiffres (variable TMCT: p=0,20) (15), aux variables FCRC (p=0,67) et FCRR (p=0,10) de la figure complexe de Rey (16). Faute de donnees reperees dans la litterature, la comparaison n' a pas ete faite concernant le d2 Test de l'attention, les matrices progressives de Raven et le Stroop Color and Word Test. Cependant, les valeurs des variables STROOPW (32,9±11,1), STROOPC (34,8±9,5), STROOPCW (39,1±9,2) et STROOPI (52,3±8,8) du Stroop Color and Word Test de cette etude etaient dans les limites des normes (35-65) definies par les auteurs chez des occidentaux (6). Le tableau 3 presente les comparaisons significatives des moyennes de cette etude a celles des populations occidentales aux variables des 15 mots de Rey. Les comparaisons significatives quant aux variables des autres tests neuropsychologiques figurent dans le tableau 4.

## 4. DISCUSSION

Cette etude a identifie les valeurs de reference (normales), les seuils d'alerte et les seuils de decision medicale des variables cognitives a partir de leurs distributions, dans une population des noirs congolais apparemment sains aux plans physique et mental. Elle a aussi compare les moyennes des variables cognitives des noirs congolais apparemment sains a celles des occidentaux apparemment sains.

Parmi les 47 variables evaluees, les 21 variables suivantes (44,7%) presentaient une distribution normale: TRAILA, TRAILB, TMCD, TMCI, TMCT, LNST, REY1J, REY2J, REY3J, REY4J, REY5J, STROOPW, STROOPC, STROOPCW, STROOPI, D2ST, D2TC, COWAPHO, COWASEM, FTBDOM et FTBNDOM. Ainsi, la majorite des variables (55,3% n=26) presentait une distribution asymetrique: REY1F, REY2F, REY3F, REY4F, REY5F, REY1D, REY2D,



**Figure 2:** Distribution des scores des variables du Trail Making Test, du test de la mémoire des chiffres, du Letter-Number Sequencing Test, de la figure complexe de rey et du Stroop Color and Word Test

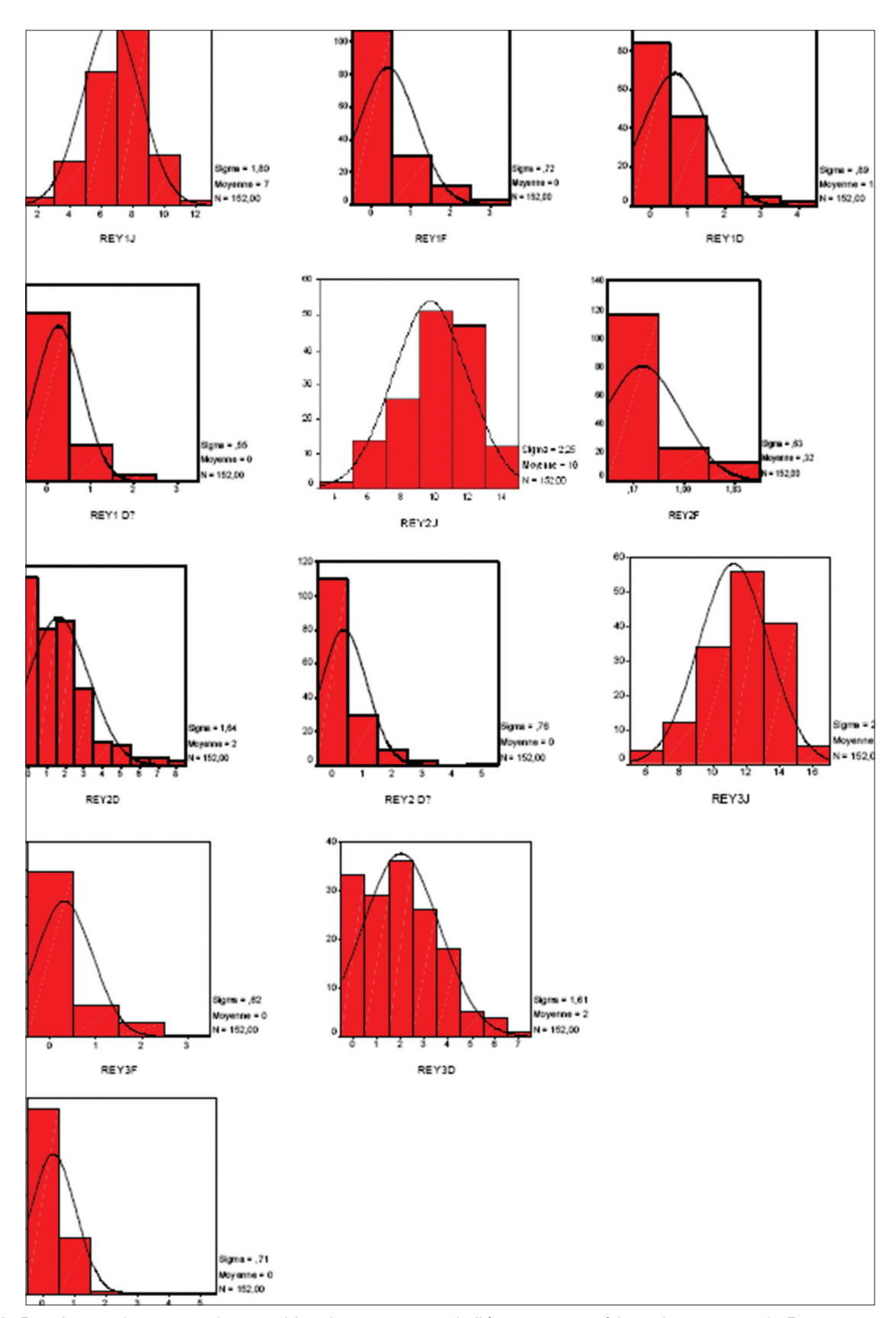
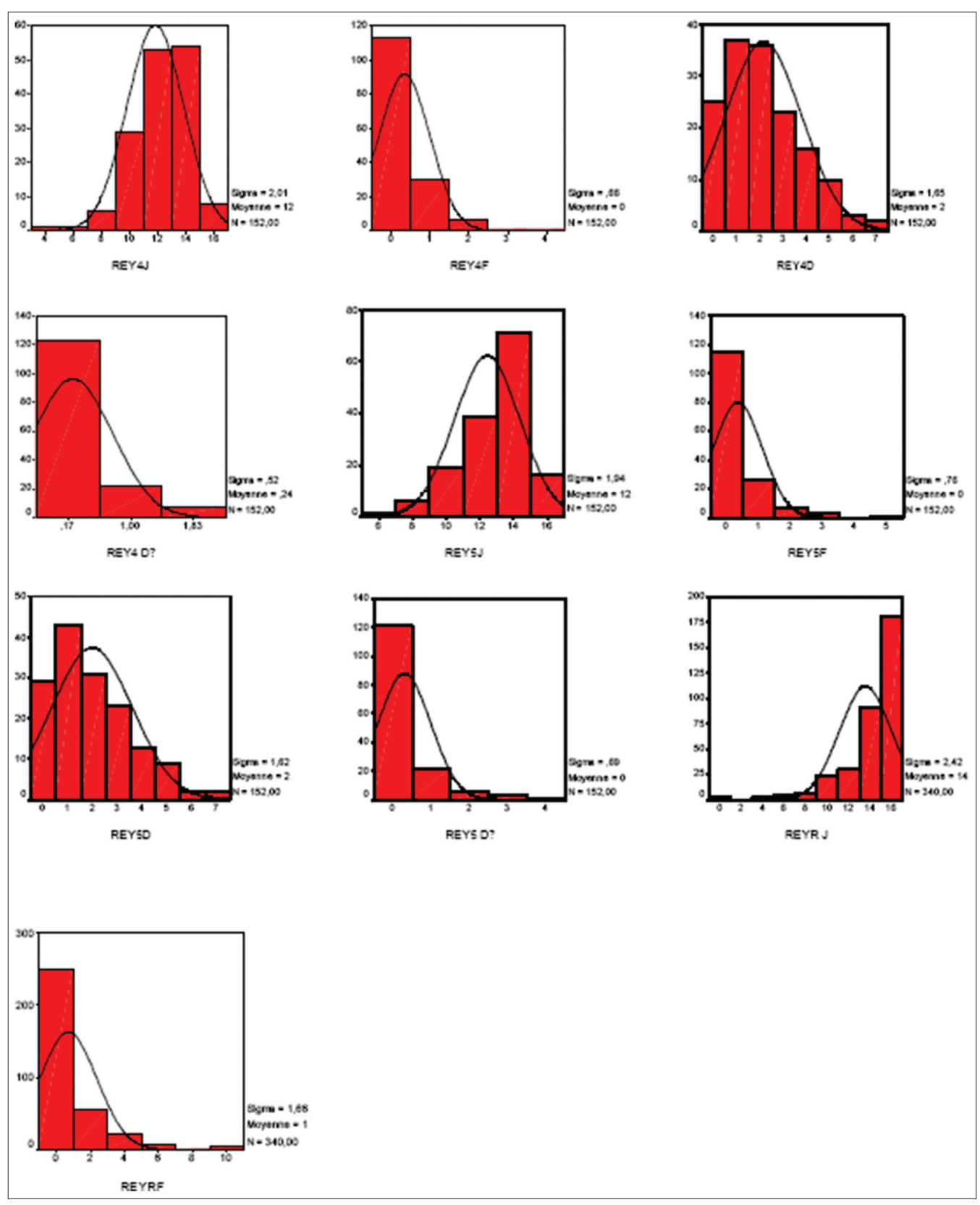
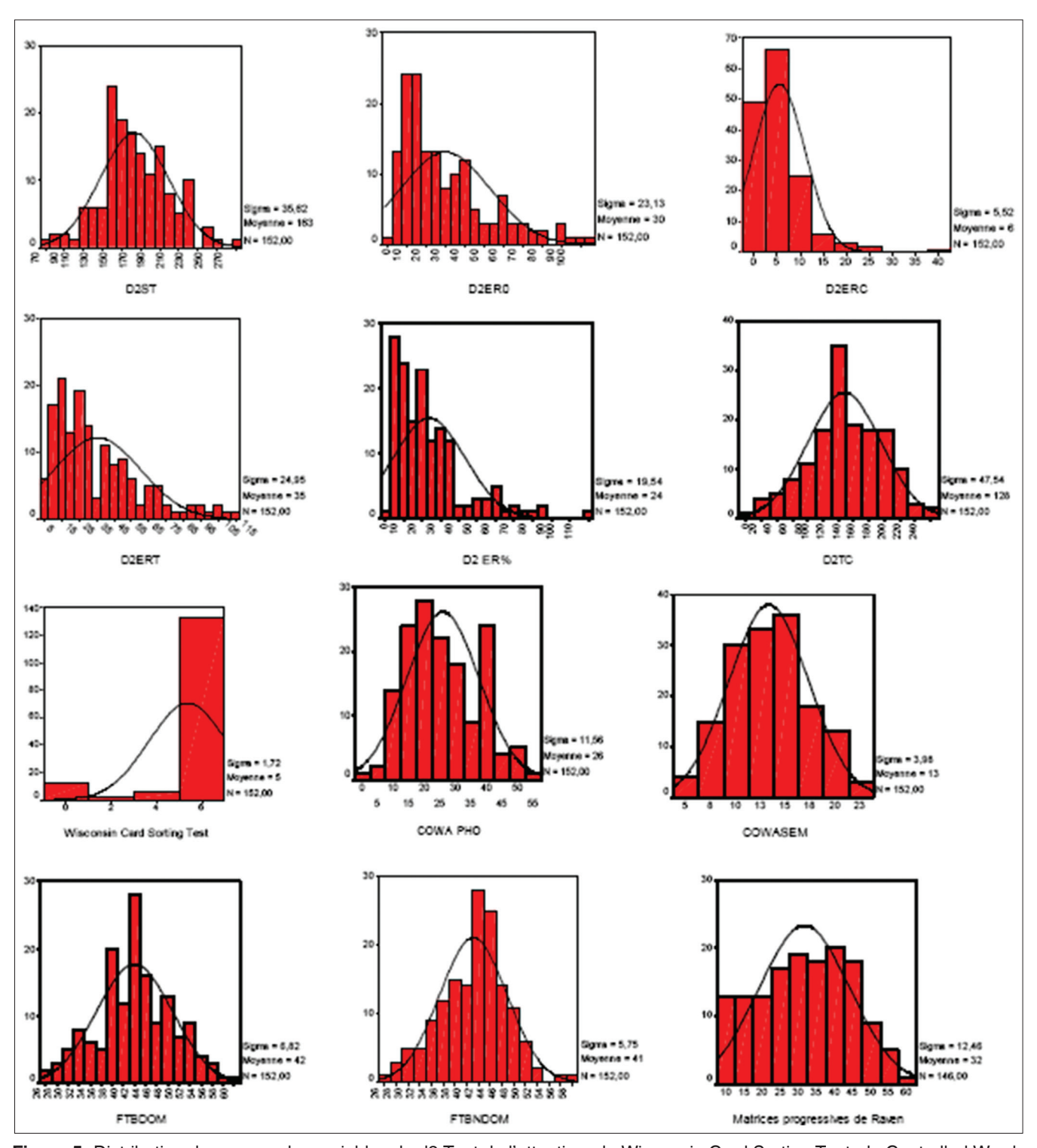


Figure 3: Distribution des scores des variables des temps 1-3 de l'évocation immédiate des 15 mots de Rey



**Figure 4:** Distribution des scores des variables des temps 4- 5 de l'évocation immédiate et de l'étape de la recognition des 15 mots de Rey



**Figure 5:** Distribution des scores des variables du d2 Test de l'attention, du Wisconsin Card Sorting Test, du Controlled Word Association, du Finger Tapper Board Test et des matrices progressives de Raven

REY3D, REY4D, REY5D, REY1D?, REY2D?, REY3D?, REY4D?, REY5D?, REYRJ, REYRF, FCRT, FCRC, FCRR, D2ERO, D2ERC, D2ERT, D2ER%, WCSTS et MPR.

Les valeurs moyennes des personnes 'mentalement saines' de la presente etude etaient moins bonnes que celles des occidentaux a la plupart des variables etudiees, dont celles a composante verbale: COWASEM (fluidite verbale semantique) et la quasi totalite des variables relatives aux 15 mots de Rey (memoire verbale). Tel n'etait pas le cas avec les variables non verbales TMCT (memoire des chiffres), FCRC et FCRR (memoire visuelle), WCSTS (fonctionnement executif).

**Tableau 1:** Valeurs de reference, seuils d'alerte et seuils de decision medicale des variables des 15 mots de Rey

Variables	Valeurs de reference (noramles)		Seuil d'alerte	Seuil de decision
	Percentile 2,5 (IC 90%)	Percentile 97,5 (IC 90%)	Percentiles 25-75	
REY1J	2,8 (2,4-3,2)	10 (9,6-10,4)	4	2,8 (2,4-3,2)
REY1F	0 (0-0)	2,2 (2-2,3)	1	2,2 (2-2,3)
REY1D	0 (0-0)	3 (2 ,8-3,2)	1	3 (2 ,8-3,2)
REY1D?	0 (0-0)	2 (1,9-2,1)	0	2 (1,9-2,1)
REY2J	5 (4,4-5,6)	14 (13,4-14,6)	7	5 (4,4-5,6)
REY2F	0 (0-0)	2 (1,9-2,1)	1	2 (1,9-2,1)
REY2D	0 (0-0)	6,2 (5,8-6,6)	3	6,2 (5,8-6,6)
REY2D?	0 (0-0)	2,3 (2,1-2,5)	0	2,3 (2,1-2,5)
REY3J	6 (5,4-6,6)	15 (14,4-15,6)	8	6 (5,4-6,6)
REY3F	0 (0-0)	2 (1,9-2,1)	1	2 (1,9-2,1)
REY3D	0 (0-0)	6 (5,6-6,4)	3	6 (5,6-6,4)
REY3D?	0 (0-0)	2,2 (2,1-2,3)	0	2,2 (2,1-2,3)
REY4J	7 (6,6-7,4)	15 (14,6-15,4)	9	7 (6,6-7,4)
REY4F	0 (0-0)	2 (1,9-2 ,1)	1	2 (1,9-2 ,1)
REY4D	0 (0-0)	6 (5,6-6,4)	3	6 (5,6-6,4)
REY4D?	0 (0-0)	2 (1,9-2,1)	0	2 (1,9-2,1)
REY5J	7 (6,4-7,6)	15 (14,4-15,6)	10	7 (6,4-7,6)
REY5F	0 (0-0)	3 (2,9-3,1)	1	3 (2,9-3,1)
REY5D	0 (0-0)	6 (5,6-6,4)	3	6 (5,6-6,4)
REY5D?	0 (0-0)	3 (2,9-3,1)	0	3 (2,9-3,1)
REYRJ	9,8 (9,5-10,1)	15 (14,7-15,3)	13	9,8 (9,5-10,1)
REYRF	0 (0-0)	2 (1,9-2,1)	1	2 (1,9-2,1)

**Tableau 2:** Valeurs de reference, seuils d'alerte et seuils de decision medicale des variables des autres tests neuropsychologiques

Variables	Valeurs	de reference	Seuil d'alerte	Seuil de decision
TMT	Percentile 2,5 (IC 90%)	Percentile 97,5 (IC 90%)	Percentiles 25-75	
TRAIL A TRAIL B TMC	23,8 (14,3-33,3) 57,8 (43,8-61,8)	207,3 (197,8-216,8) 315 (301-329)	94 216,5	207,3 (197,8-216,8) 315 (301-329)
TMCD TMCI	2 (1,6-2,4) 2 (1,5-2,5)	9 (8,6-9,4) 12,2 (11,7-12,7)	4 3	2 (1,6-2,4) 2 (1,5-2,5)
LNST	3 (1,9-4,1)	21 (19,1-22,1)	5	3 (1,9-4,1)
FCRR				
FCRT	2 (1,4-2,6)	11,4 (10,8-12)	7	11,4 (10,8-12)
FCRC	17,9 (16,9-18,9)	36 (35-37)	27	17,9 (16,9-18,9)
FCRR	6,4 (5-7,8)	28,6 (27,2-30)	10	6,4 (5-7,8)
SCWT				
StroopW	0,4(-2,1-2,9)	51,1 (48,6-53,6)	25	0,4(-2,1-2,9)
StroopC	14 (11,8-16,2)	52,4 (50,2-54,6)	25,3	14 (11,8-16,2)
StroopCW	21,8 (19,8-23,8)	60,2 (58,2-62,2)	31	21,8 (19,8-23,8)
Stroopl	39,7 (37,7-41,7)	76,6 (74,6-78,6)	56,4	39,7 (37,7-41,7)

(contd...)

Tableau 2: (Continued)				
Variables	Valeurs	de reference	Seuil d'alerte	Seuil de decision
ТМТ	Percentile 2,5 (IC 90%)	Percentile 97,5 (IC 90%)	Percentiles 25-75	
D2 Test	-			
D2ST	84,8 (76,7-92,9)	237,5 (229,4-245,6)	111,2	84,8 (76,7-92,9)
D2ER0	4 ,8 (0-10,1)	91,1 (85,8-96,4)	45	91,1 (85,8-96,4)
D2ERC	0 (0-1,4)	22,4 (21-23,8)	13	22,4 (21-23,8)
D2TC	22 (11-33)	217,4 (206,4-228,4)	61	22 (11-33)
D2 ER%	2,9 (0-7,4)	79,6 (75,1-84,1)	49	79,6 (75,1-84,1)
WCSTS	0 (0-0)	6 (5,6-6)	3	0 (0-0)
COWA				
COWAPHO	7,7 (5,2-10,2)	50,2 (47,7-52,7)	14	7,7 (5,2-10,2)
COWASEM	6 (5,2-6,8)	21,2 (20,4-22)	9	6 (5,2-6,8)
FTBT				
FTBDOM	27,4 (25,7-29,1)	55,2 (53,5-56,9)	30,8	27,4 (25,7-29,1)
FTBNDOM MPR	28,2 (26,8-29,6) 8,7 (5,9-11,5)	51,3 (49,9-52,7) 53,3 (50,5-56,1)	31,6 17	28,2 (26,8-29,6) 8,7 (5,9-11,5)

**Tableau 3:** Comparaison des valeurs moyennes des variables des 15 mots de Rey de l'etude a celles des populations normales occidentales

Variables	Congolais	Occidentaux	
	N=152	N=112	р
	Moy+DS	Moy	
REY1J	6,7+1,8	8,2	<0,0001
REY1D	0,6+0,9	0,2	<0,0001
REY1D?	0,3+0,7	1,8	<0,0001
REY2J	9,7+2,2	11,7	<0,0001
REY2F	0,3+0,6	0,1	<0,0001
REY2D	1,6+1,6	0,5	<0,0001
REY2D?	0,4+0,8	1,9	<0,0001
REY3J	11,2+2,1	13	<0,0001
REY3F	0,3+0,6	0	<0,0001
REY3D	2+1,6	0,7	<0,0001
REY3D?	0,3+0,7	1,5	<0,0001
REY4J	11,8+2,0	13,6	<0,0001
REY4F	0,3+0,6	0	<0,0001
REY4D	2,1+1,6	0,6	<0,0001
REY4D?	0,2+0,5	1,5	<0,0001
REY5J	12,4+1,9	14,5	<0,0001
REY5F	0,4+0,8	0	<0,0001
REY5D	1,9+1,6	0,8	<0,0001
REY5D?	0,3+0,7	1	<0,0001
REYRJ	14,4+1,3	14,7	0,012

**Tableau 4:** Comparaison des valeurs moyennes des variables des autres tests neuropsychologiques de cette etude a celles des populations normales occidentales

Variables	Congolais	Occidentaux	
	N=152	N=112	р
	Moy+DS	Moy	
TRAILA	72,6 41,5	28,5 11,3	<0,0001
TRAILB	141,2±62,5	79,3±41,4	<0,0001
LNST	11,6±4,8	14,4±4,9	<0,0001
WCSTS	5,4±1,7	3,0±1,6	<0,0001
COWASEM	13,3±3,9	25,4±5,7	<0,0001
FTBDOM	42±6,8	55±6,8	<0,0001
FTBNDOM	41,1±5,7	50±6,4	<0,0001

Les moins bonnes performances des congolais de cette etude pourraient s'expliquer par un handicap d'ordre culturel. Celui-ci est d'abord linguistique et s'est manifeste surtout au travers des performances relatives a la variable COWASEM a propos de laquelle, les noms d'animaux ont ete utilises comme categorie semantique. Or, dans l'entendement courant des congoais -ceux parlant lingaa en particulier-, le terme 'animal' (nyama en lingala) est plus reserve aux mammiferes quadrupedes plutot qu'aux autres categories animales telles que les oiseaux, les poissons, les insectes et les reptiles. Ainsi, lorsqu'on demande au commun des congolais d'enumerer les noms d'animaux qu'il connait, celui-ci aura tendance a se cantonner a un eventail plus limite que celui auquel un

occidental aurait recours. Conscient d cet ecueil, nous avions prevu, dans les instructions, de preciser aux participants qu'ils devaient citer les noms d'animaux, quels que soient leur taille, le milieu (eau, terre, airs) dans lequel ils vivent et leurs modes de deplacement (vol, reptation, nage, marche). Cependant, la plupart des participants sont restes cantonnes aux animaux terrestres; principalement le leopard, le lion, l'elephant, le chien, le chat et la poule (plus que le coq !).

Le handicap linguistique a aussi, sans doute, affecte les variables des 15 mots de Rey. En effet, les mots utilises comme materiel du test appartiennent a une langue etrangere le fran9ais. Or, la plupart des congolais n'apprennent le fran9ais qu'apres leurs langues vernaculaires respectives; leur langage interieur, socle de leur memoire verbale, n'est donc pas en fran9ais. Les performances des participants auraient sans doute ete meilleures si des series de mots en langues vernaculaires avaient ete utilisees a la place de la classique serie des mots fran9ais de Rey (5).

Bref, il s'est pose un probleme d'adequation culturelle de l'outil utilise pour les 15 mots de Rey, comme probablement aussi pour revaluation de la vitesse motrice (variables FTBDOM et FTBNDOM). En effet, les pietres scores constates dans cette etude quant a la vitesse motrice, mesuree au Finger Tapper Board, vont a l'encontre de nos attentes. Les africains en general, les congolais en particulier, devraient en principe s'illustrer par leurs aptitudes corporelles en general, motrices en particulier, compte tenu de l'importance de l'investissement corporel dans la culture africaine. Le surinvestissement du corps chez l'africain est lie a certaines pratiques educationnelles telles qu'un corps a corps mereenfant continu et durable, l'emploi intensif de certaines techniques corporelles, comme mode de communication privilegie entre l'enfant et son entourage (17,18,19,20). La vitesse motrice de nos participants aurait sans doute ete meilleure si elle avait ete mesuree par une epreuve comme le battement du tam-tam plutot que par la frappe de la cle du 'Tapper Board'. De fait, le tam-tam est un instrument tres familier a l'africain, utilise comme moyen de communication et comme instrument musical. Par ailleurs, la musique constitue un incontestable domaine d'excellence du congolais.

Le constat de l'inadequation culturelle du materiel neuropsychologique utilise dans cette etude demontre la necessite d'elaborer des supports materiels neuropsychologiques appropries a chaque contexte culturel.

## 4.1. Remerciements

Les auteurs remercient infiniment le VLIR (Vlaamse Interuniversitaire Raadou Conseil Interuniversitaire Flamand), l'Universitair Centrum Sint Jozef de KORTENBERG en Belgique pour leur soutien financier et materiel sans lequel la presente etude n'aurait pas pu se realiser. Ils remercient egalement le statisticien NGE OKWE, les psychologues

NZUZI MVUMBI, PIERRE NGANDU MWAMBA et JEAN TSHIABA ainsi que l'infirmier CLEMENT MWANZA pour leur precieuse collaboration.

## 5. BIBLIOGRAPHIE

- American Psychiatric Association. Diagnostic and Statistical Manual of Mental Disorders. 4th ed (DSM IV). Washington DC: American Psychiatric Association Press; 1994.
- Gold JM, Harvey PD. Cognitive deficits in schizophrenia. Schizophrenia 1993; 16: 295-312.
- Harvey P. (1997). Optimising cognitive function in patient with schizophrenia. Report on international meeting of experts in cognitive dysfunction in schizophrenia; 1997 Sept; Budapest. Budapest: Gardiner-Caldwell communications; 1997.
- Ngoma MV, Mampunza MM, Joos S, Peuskens J, Vansteelandt K. Une batterie de tests pour l'evaluation neuropsychologique des psychoses fonctionnelles non affectives chez le congolais. Annales africaines de Medecine 2008; 2: 69-76.
- Rey A. L'examen clinique en psychologie. Paris: Presses universitaires de France; 1964.
- Golden J. Stroop Color and Word Test: A manual for clinical and experimental uses. Chicago III: Stoeling Company; 1978.
- Reitan RM, Wolfson D. The Halstead-Reitan Neuropsychological Test Battery. Theory and clinical interpretation. Washington: Neuropsychology Press; 1985.
- Wechsler D. Manual for the Wechsler Memory Scale-Revised. San Antonio, Tx: The Psychological Corporation; 1987.
- Brickenkamp R, Zillmer E. d2 Test of Attention. Translated by Emmans D. Bern: Hogref, Huber; 1998.
- 10. Osterrieth PA. Le test de copie d'une figure complexe. Contribution a l'etude de la perception et de la memoire. These presentee a la Faculte des lettres de l'Universite de Geneve pour obtenir le grade de Docteur en Philosophie, Mention Pedagogie. Arch de Psychol, 1944, 30, n° 119-120. Neuchatel, 1944, 147 p.
- Heaton R; Wisconsin Card Sorting Manual. Psychological Assessment Resources. Florida: Odessa; 1981.
- Benton AL, Hamsher K, Varney NR, Spreen O. Contribution to Neuropsychological Assessment. New York: Oxford University Press; 1083
- Raven JC. Standard Progressive Matrices. London: Lewis HK & co Ltd; 1958.
- Keefe RSE, Goldberg TE, Harvey PD, Gold JM, Poe MP, Coughenour L. The brief assessment of cognition in schizophrenia: reliability, sensitivity, and comparison with a standard neurocognitive battery. Schizophrenia Research 2004; 68: 283-297.
- Bilder RM, Goldman RS, Robinson D, Reiter G, Bell L, Bates JA, et al. Neuropsychology of first episode schizophrenia: Initial characterization and clinical correlates. American Journal of Psychiatry 2000; 157: 549-559.
- Verdoux H, Magnin E, Bourgeois M. Neuroleptic effects on neuropsychological test performance in schizophrenia. Schizophrenia Research 1995; 14: 133 -9.
- Le Guerinel N. Le language du corpschez l'Africain. Psychopathologie africaine 1971; 7: 1357.
- Rabin J. L'enfant du lignage. Du sevrage a la classe d'age chez les Wolof du Senegal. Paris: Payot;1979.
- Collignon R. Expression corporelle et milieu culturel. Revue du praticien 1982; 32: 937-944.
- 20. Ngoma M, Pierloot R. Les manifestations hysteriques en Afrique Noire. Une etude-pilote menee au CNPP Kinshasa. Tableau 1 Valeurs de reference, seuils d'alerte et seuils de decision medicale des variables des 15 mots de Rey



## ORIGINAL ARTILCE

# Les troubles cognitifs des psychoses fonctionnelles non affectives chez le congolais

Ngoma Malanda Valdo<sup>1</sup>, Longo-Mbenza Benjamin<sup>2</sup>, Mampunza M.M<sup>1</sup>, Peuskens J<sup>3</sup>, Vansteelandt K<sup>3</sup>, Joos S.F<sup>3</sup>

<sup>1</sup>Universite de Kinshasa, Faculte de Medecine, Departement de Psychiatrie B.P. 825 Kinshasa XI, <sup>2</sup>Champion Research Professor, Faculty of Health Sciences, Walter Sisulu University, Mthatha, South Africa, <sup>3</sup>Katholieke Universiteit te Leuven (KUL), Universitair Centrum St Jozef de Kortenberg

Corresponding Authors: Longo-Mbenza Benjamin, MD, PhD, DSc, E-mail: longombenza@yahoo.fr

Submitted: May 2016, Accepted: April 2017

#### RESUME

Contexte: La schizophrenie, le trouble schizophreniforme (TSF) et le trouble psychotique bref (TPB) sont les principales psychoses fonctionnelles non affectives (PFNA) de la 4e edition du Diagnostic and Statistical Manual of Mental Disorder (DSM IV). Les troubles cognitifs sont largement explores dans la schizophrenie dont ils constituent un phenomene nucleaire. Il existe a ce jour peu de publications sur les troubles cognitifs des PFNA en milieu congolais. La presente etude definit le profil des troubles cognitifs des PFNA chez le congolais. **Population et methodes:** Cent quatre vingt-huit patients atteints de PFNA (70 schizophrenes, 50 cas de TSF, 68 cas de TPB) et 152 temoins noirs congolais constituent la population d'etude. Les parametres d'interet sont les caracteristiques sociodemographiques et les scores a une batterie neuropsychologique de large portee. Le test - t de Student et le Chi carre de Pearson sont utilises pour comparer les caracteristiques sociodemographiques des 2 groupes de participants. L'analyse discriminante et l'analyse a composantes principales sont les principales methodes du traitement statistique des variables cognitives (neuropsychologiques). Resultats: Le groupe des patients se distingue des temoins par une preponderance du sexe feminin (p= 0,023), un plus bas niveau d'instruction (p<0,0001) et de plus mauvais scores sur 38 (80,8%) des 47 variables cognitives etudiees. L'analyse discriminante des patients et des temoins est tres concluante (p<0,0001). Le risque d'erreur totale n'est que de 0,3%. Le test des 15 mots de Rey comprend le tiers des variables discriminantes et explique a lui seul 33% de la variance totale. Conclusions: Les patients congolais atteints de psychoses fonctionnelles non affectives presentent un deficit cognitif diffus. Les 15 mots de Rey sont un test fondamental dans l'exploration neuropsychologique des psychoses fonctionnelles non affectives chez le congolais.

Mots cles: Cognitif, Psychoses fonctionnelles non affectives, RD Congo

## 1. INTRODUCTION

e nombreux auteurs s'interessent aux troubles cognitifs de la schizophrenie (SCHI) (1,2,3,4). Certains considerent meme les troubles cognitifs comme un phenomene nucleaire de cette affection (2,3,4,5).

Access this article online
Website: http://www.satapublishers.com
DOI: 10.18644/jiresh-biotech.0000041
E-ISSN: 2413-7669 (Online)

L'importance des troubles cognitifs dans la schizophrenie tient a leur frequence (40 a 90% des schizophrenes) (1,6). Par ailleurs, ils permettent de predire le risque de cette grave affection (2,7,8,9), de meme que son evolution chronique (9,10,11) et son pronostic socio-occupationnel (1,3,8,12,13).

Le trouble schizophreniforme (TSF) et le trouble psychotique bref (TPB) sont des psychoses fonctionnelles non affectives (PFNA), a l'instar de la schizophrenie (14). Cependant, ils sont, a ce jour, peu explores du point de vue cognitif. L'absence des publications relatives aux troubles cognitifs des PFNA dans le contexte culturel congolais justifie la presente etude. Son

objectif est de determiner les differences des caracteristiques sociodemographiques et cognitives entre les patients souffrant de psychoses fonctionnelles non affectives et des temoins; le but etant de definir le profil des troubles cognitifs desdits patients.

## 2. MATERIEL ET METHODES

## 2.1. Nature et population d'etude

Cette etude observationnelle a visee comparative et analytique (cas-temonis) a ete realisee du 15/12/1998 au 14/3/2005. Le CENTRE NEURO- PSYCHOPATHOLOGIQUE (CNPP) de l'Universite de KINSHASA et le CENTRE de SANTE MENTALE (CSM) 'TELEMA' des Sreurs Hospitalieres du Sacre Creur de Jesus, a KINSHASA lui ont servi de cadre.

La population cible etait constituee de patients noirs congolais souffrant de psychoses fonctionnelles non affectives, admis de maniere consecutive dans le cadre et pendant la periode de l'etude. Un echantillon aleatoire de participants apparemment normaux aux plans somatique et mental a servi de groupe de comparaison (temoins).

#### Criteres d'inclusion

Ont ete retenus comme cas de la population d'etude, les patients de la population cible repondant aux criteres suivants:

- etre age de 18 a 45 ans;
- avoir un niveau de comprehension acceptable du fran9ais au test des 15 mots de Rey (15);
- avoir une vue permettant de reconnaître les couleurs 'rouge', 'verte', 'bleue' et de lire aussi les mots au test de Stroop (16);
- presenter son premier episode psychotique lors de la presente etude, pour besoin d'homogeneite.

## Criteres d'exclusion

La presente etude a exclu les patients caracterises de la maniere suivante:

- une histoire personnelle de meningo-encephalite, d'affection vasculaire cerebrale, de retard mental, de processus expansif intracranien et de traumatisme cranio-cerebral avec perte de conscience;
- abus et/ou dependance a l'alcool et/ou aux autres substances psycho-actives;
- des affections generales susceptibles de generer des hallucination et des idees delirantes: diabete sucre, affections thyroi'diennes, lupus erythemateux dissemine, sclerodermie, endocardite infectieuse, insuffisance hepatique, insuffisance renale, infection au VIH/SIDA;
- appartenance a des professions familieres aux tests neuropsychologiques (psychologues, psychiatres, gestionnaires du travail);
- une histoire familiale de troubles affectifs et/ou de schizophrenie.

Les memes criteres d'exclusion ont ete appliques aux temoins.

## Questions d'ethique

La conception de cette etude a respecte toutes les recommandations de la declaration d'Helsinki II et d'ethique de recherche biomedicale. L'etude a ete realisee apres acceptation du projet par le comite scientifique de l'Universitair Centrum Sint Jozef de Kortenberg (Leuven, Belgique) et du comite local d'ethique de la faculte de medecine de l'Universite de Kinshasa. Le consentement eclaire des participants a aussi ete obtenu avant l'inclusion dans l'etude.

L'ideal aurait ete de ne pas traiter les patients avant leurs explorations neuropsychologique et clinique. Mais pour des raisons d'ordre ethique, cette condition n'a pas ete appliquee aux patients dont l'etat clinique necessitait l'instauration immediate du traitement. Ainsi, 158 (84%) patients etaient deja sous traitement neuroleptique, dont 30 (16%) seulement depuis plus d'un mois. Parmi les patients sous neuroleptiques, 154 ne prenaient que des neuroleptiques conventionnels, 4 recevaient une combinaison des neuroleptiques conventionnels et atypiques, 5 prenaient des antidepresseurs en plus des neuroleptiques. Trente (16%) patients seulement n'avaient pas encore pris de medicaments psychotropes.

## Collecte des donnees

Les donnees sociodemographiques ont ete obtenues grace a un questionnaire structure et administre de maniere standardisee a tous les participants et a leurs accompagnants.

La batterie neuropsychologique utilisee comprenait les tests suivants (n=11 tests avec 47 variables):

- le Trail Making Test de Halstead-Reitan (17) evaluant les fonction 'balayage visuel' et attention. Ce test comprend deux parties: A et B. Dans la partie A, les participants ont ete instruits de relier avec des lignes, le plus rapidement possible et dans l'ordre croissant, les chiffres numerates de 1 a 25 et eparpilles pele-mele sur une feuille de papier. Dans la partie B, les participants ont ete instruits de relier avec des lignes, le plus rapidement possible et alternativement des chiffres numerates de 1 a 13, dans l'ordre croissant et les lettres de l'alphabet allant de A a L, selon leur ordre alphabetique; les chiffres et les lettres etant disposes pele-mele sur une feuille de papier. Les scores correspondant au temps en secondes mis par les patients pour executer respectivement la partie A (TRAILA) et la partie B (TRAILB) n'ont pas ete additionnes;
- le test de la memoire des chiffres (18), une composante de l'echelle de memoire de Wechsler. Ce test comprend deux volets constitues chacun de 14 items faits de series de chiffres. Au premier volet, les participants ont ete instruits de repeter dans le meme ordre les chiffres lus par l'examinateur; l'ordre inverse etant de mise au

- deuxieme volet. Le nombre d'items correctement repetes correspondait a un score. Les scores TMCD, TMCI et TMCT ont ete respectivement attribues a chaque patient pour le premier volet, le second et l'ensemble de 2 volets;
- pour le premier volet, le second et l'ensemble de 2 volets; le Letter Number Sequencing Test (18), une autre composante de l'echelle de memoire de Wechsler, evaluant la memoire operationnelle. Ce test est compose de 21 items representant des sequences de plus en plus longues des chiffres et des lettres disposes pele-mele. Les participants ont ete instruits de repeter les chiffres dans l'ordre croissant ensuite les lettres dans l'ordre alphabetique prealablement lus par l'examinateur. La cotation des scores a ete basee sur le nombre d'items correctement repetes parmi tous les 21 items du test (score LNST);
- le Stroop Color and Word Test (16) mesurant les capacites d'abstraction et de formation des concepts, la flexibilite cognitive, l'attention, la creativite et la resistance a l'interference des stimuli exterieurs. Dans la premiere partie du test, les participants ont ete instruits de lire le plus rapidement possible les mots 'rouge', 'vert' et 'bleu' disposes pele-mele et ecrits en noir sur une page de papier contenant 5 colonnes de 20 items chacune. Dans la deuxieme partie du test, les participants ont ete instruits de nommer le plus rapidement possible, sur une seconde page, la couleur (soit rouge, soit, verte, soit bleue) des stimuli symbolises par 'XXXX' imprimes pele-mele en 5 colonnes de 20 items chacune. Dans la troisieme partie du test, les participants ont ete convies a nommer, sur une troisieme page, la couleur d'impression respective des mots 'rouge', 'vert' et 'bleu'; le mot 'rouge' etant imprime en couleur verte ou en couleur bleue, mais jamais en couleur rouge; le mot 'vert' etant imprime en couleur rouge ou en couleur bleue, mais jamais en couleur verte; le mot 'bleu' etant imprime en couleur rouge ou en couleur verte, mais jamais en couleur bleue. Les mots etaient imprimes pele-mele en 5 colonnes de 20 items chacune. Le temps devolu a la realisation de chaque partie du test etait de 45 secondes. Trois scores fondamentaux ont ete obtenus selon le nombre des mots correctement lus a la premiere partie du test (STROOPW), le nombre des couleurs correctement nommees a la deuxieme partie (STROOPC) et la couleur correcte a partir de la combinaison mot-couleur a la troisieme partie du test (STROOPCW). Un score derive dit d'interference (STROOPI) a ete calcule a partir de la formule suivante: Interference =CW-CW' ou CW' = WXC/W + C;
- les 15 mots de REY (15) evaluant la memoire verbale en deux etapes. La premiere etape se referait a revocation immediate en cinq temps. A chaque temps, l'examinateur lisait la serie des 15 mots suivants: tambour, rideau, ceinture, cafe, ecole, parent, soleil, jardin, casquette, paysan, moustache, dindon, couleur, maison, riviere. Il demandait ensuite aux participants de reproduire,

- en 60 secondes au premier temps et en 90 secondes a chacun des quatre temps ulterieurs, les mots qu'ils avaient retenus. L'examinateur notait tous les mots, exacts et faux confondus, repetes par les participants. Les mots exacts repetes plus d'une fois sans hesitation etaient consideres comme mots doubles, contrairement aux mots doubles interrogatifs indiquant les mots exacts reproduits plus d'une fois avec hesitation. Pour le besoin de la presente etude, seuls les scores des mots exacts (REY1-5J), des mots faux (REY1-5F), des mots doubles (REY1-5D) et des mots doubles interrogatifs (REY1-5D?) a chacun des cinq temps ont ete utilises. Mais de maniere classique, la cotation tient aussi compte de la sommation (score total) respective des mots exacts, des mots faux, des mots doubles et des mots doubles interrogatifs aux cinq temps. A la seconde etape, de la reconnaissance (recognition en anglais), les participants ont ete instruits de dire 'hop' a chaque fois qu'ils reconnaissaient l'un des quinze mots de la serie susmentionnes au cours d'une histoire pre codifiee et lue par l'examinateur. L'examinateur obtenait un score relatif au decompte des mots exactement reconnus (REYRJ) et un deuxieme, relatif au decompte des mots faussement reconnus (REYRF);
- le d2 Test of Attention de Brickenkamp (19) mesurant l'attention soutenue. Les participants ont eu comme tache de biffer le plus grand nombre possible de lettres d avec deux guillemets (lettre cible). Les lettres pour distraire les participants etaient les d avec moins ou plus de deux guillemets et les p avec 1-4 guillemets. Les differentes lettres figuraient sur 14 lignes de 47 lettres chacune. Les participants disposaient de 20 secondes pour biffer les lettres cibles sur chaque ligne. Les scores fondamentaux obtenus etaient les suivants:
  - le score de rang total (D2ST) representant l'ensemble des lettres barrees, erreurs comprises;
  - le score des erreurs par omission (D2ERO) representant le nombre total de lettres cibles oubliees d'etre barrees;
  - le score des erreurs par commission (addition) (D2ERC) representant le nombre total des lettres de distraction barrees;
  - le score total des erreurs (D2ERT)= score des erreurs par omission + score des erreurs par commission.

Deux scores derives ont ete calcules a partir des scores fondamentaux:

- le score des lettres correctement barrees (D2TC)= score de rang total score total des erreurs;
- le % des erreurs (D2ER%)= score total des erreursx100/ score de rang total;
  - la figure complexe de Rey (15) evaluant simultanement la memoire visuelle, l'organisation spatiale, le controle visuomoteur et l'attention. Apres presentation d'une figure typique codifiee par

Rey, comme support materiel, les participants ont ete evalues en deux temps. La premiere etape du test concernait la copie du modele ou figure (organisation spatiale, controle visuomoteur, attention). La deuxieme etape etait relative a la reproduction du modele par creur (memoire). Les deux etapes etaient separees par une pause de 3 minutes consacree a un entretien entre l'examinateur et les participants.

La cotation de la premiere etape du test a porte sur le temps en secondes mis pour realiser la copie (score FCRT) et la richesse de la copie (score FCRC). La richesse de la copie etait evaluee en reference aux 18 elements (formes geometriques, objets, dessins) distingues par Osterrieth (20). La cotation de la deuxieme etape n'etait basee que sur la richesse de la figure reproduite par creur (score FCRR); richesse evaluee de la meme maniere qu'a l'etape de la copie de la figure;

le Wisconsin Card Sorting Test (21) evaluant les capacites d'abstraction et de formation des concepts ainsi que la flexibilite cognitive. Le test consistait a demander aux participants de classer correctement quatre paquets de 64 cartes dites de reponse en se referant a l'une des quatre cartes 'stimulus'. Les caracteristiques des cartes stimulus etaient la couleur (jaune, rouge, bleue et verte), la forme ou la nature des symboles (cercle, etoile, croix et triangle) et le nombre (de un a quatre) des symboles. Les participants n'etaient pas au courant des caracteristiques de reference a chaque etape du test; il leur appartenait de le decouvrir a partir du jugement de l'examinateur portee sur la carte precedente (carte correctement classee vs. mal classee). Le critere de jugement changeait, a l'insu des participants, apres classement correct de dix cartes successives. Deux cycles de classification des cartes comprenant trois etapes successives (classement selon la couleur, classement selon la forme et classement selon le nombre des symboles) ont ete predetermines. Mais, le test etait aussi considere acheve lorsque les participants epuisaient les 64 premieres cartes de reponse sans realiser le criterium de dix reponses correctes.

Parmi plusieurs scores recommandes pour le WCST (21), seul le nombre des series (de zero a six) (score WCSTS) a ete exploite dans la presente etude;

- le Controlled Oral Word Association de Benton (22) mesurant la fluidite verbale (fluidite phonetique et la fluidite semantique). La fluidite phonetique a ete exploree eu utilisant les lettres 'F', 'A' et 'S' comme initiales des mots. Les participants etaient instruits d'enumerer en une minute le plus de mots possible commen9ant par chacune de ces lettres, les noms propres etant exclus. Le score de la fluidite phonetique (COWAPHO) etait le nombre total des mots enumeres par les participants.

La fluidite semantique consistait en l'enumeration du plus grand nombre des noms d'animaux en une minute. Le score

de la fluidite semantique (COWASEM) etait le nombre des noms d'animaux cites par les participants;

- le Finger Tapper Board mesurant la vitesse motrice a éte evaluee par le test FTB (17), avec comme support materiel une cle tapante couplee a un compteur contenus dans un panneau en bois. Les participants ont éte instruits de taper le plus vite possible sur la cle respectivement avec leur index de la main dominante et leur index de la main non dominante; les coups etant enregistres par le compteur. Cinq essais de 10 secondes ont éte realises par chaque main. Le score a éte obtenu pour chaque main en la valeur moyenne des coups realises (FTBDOM pour la main dominante, FTBNDOM pour la main non dominante).
- les matrices progressives de Raven (23) mesurant l'intelligence generale non verbale. Ce test comprend 12 planches comprenant chacune un grand modele sur la partie superieure et 6 a 8 petits modeles sur la partie inferieure. Les participants etaient instruits de combler le vide se trouvant sur le grand modele par le petit modele approprie (seule reponse exacte). Le score etait le nombre d'items (planches) corrects accomplis (MPR).

# Diagnostic des psychoses fonctionnelles non affectives

Un infirmier neuropsychiatrique etait charge de recruter en premiere intention les patients presentant les symptomes des psychoses fonctionnelles non affectives. Le diagnostic de ces psychoses etait confirme par le coordonnateur de la recherche (Ng M). Il etait etaye par les donnees anamnestiques, les signes cliniques, les resultats des analyses de biologique clinique (vitesse de sedimentation, numeration des globules blancs, goutte epaisse, formule leucocytaire, glycemie, dosage de l'uree et de la creatinine sanguines, serologie VIH, recherche des proteines dans les urines), le protocole de l'electroencephalogramme, les donnees concernant le fonctionnement psychosocial et occupationnel.

Les entites nosologiques desdites psychoses etaient: la schizophrenie, le trouble schizophreniforme et le trouble psychotique bref. Leur diagnostic etait base sur les criteres DSM IV (14) et pouvait deja etre pose chez certains patients a l'issue de la premiere evaluation clinique et paraclinique.

Tous les patients selectionnes ne totalisant pas une duree de l'affection d'un mois lors de cette premiere evaluation ne pouvaient pas encore se faire attribuer un diagnostic. Ils etaient revus pour une seconde evaluation clinique au trentieme jour de leur affection. Le diagnostic de trouble psychotique bref etait reconnu a ceux d'entre eux qui etaient completement stabilises a ce moment. Les autres patients etaient revus pour une nouvelle evaluation clinique six mois apres le debut de leur affection, avant de se faire attribuer un diagnostic: celui de trouble schizophreniforme ou de schizophrenie, selon qu'ils etaient completement stabilises ou pas.

## **Definitions operationnelles**

Etait considere comme debut de l'affection, le moment ou l'entourage familial du patient avait constate les premieres alterations comportementales chez ce dernier.

#### Niveau d'etudes

Le niveau d'instruction bas a ete defini par l'ensemble des niveaux d'etudes primaire et secondaire vs le niveau d'instruction eleve defini par le niveau d'etudes superieur.

# Interpretation psychotechnique de la performance aux variables cognitives

Pour les variables a connotation positive, la meilleure performance etait definie par les valeurs les plus elevees (plus c'est eleve, plus c'est bon) des 24 variables cognitives suivantes: REY1J, REY2J, REY3J, REY4J, REY5J, REYRJ, TMCD, TMCI, TMCT, LNST, FCRC, FCRR, STROOPW, STROOPC, STROOPCW, STROOPI, D2ST, D2TC, WCSTS, COWAPHO, COWASEM, FTBDOM, FTBNDOM et MPR. Pour ces variables, l'anomalie etait definie par la baisse de la valeur de la variable.

Pour les variables a connotation negative, la meilleure performance etait definie par les valeurs les plus basses (plus c'est bas, plus c'est bon) des 23, variables cognitives suivantes: RE1F, REY2F, REY3F, REY4F, REY5F, REY1D, REY2D, REY3D, REY4D, REY5D, REY1D?, REY2D?, REY3D?, REY4D?, REY5D?, REY4D?, REY5D?, REY4D?, REY5D?, REY6D?, Pour ces variables, l'anomalie etait definie par la hausse de la valeur de la variable.

## **Analyses statistiques**

Les donnees de cette etude ont ete saisies et analysees par micro-ordinateur.

Les donnees quantitatives etaient presentees sous forme de moyennes  $\pm$  ecart type (ET). Les donnees qualitatives etaient presentees sous forme des proportions (%).

Le test - t de Student ou le test U de Man Whitney en cas de necessite ont ete utilises pour comparer les moyennes des parametres de l'etude entre le groupe des patients et celui des temoins.

Le test de Chi carre de Pearson a servi a comparer les proportions avec application du test exact de Fischer.

L'analyse a composantes principales a permis de reduire la dimensionnalite des variables cognitives aux principaux facteurs d'interpretation entre variables. Les criteres d'extraction des facteurs etait la valeur propre>1, selon la recommandation de Kaiser. La methode d'extraction des facteurs etait 'la methode a composantes principales'. Le

nombre d'iterations pour que le processus d'extraction converge etait fixe par defaut a 25. La valeur du critere de convergence pour l'extraction etait egale a 0,001. La procedure de rotation des facteurs etait la rotation orthogonale selon la methode Varimax. Les variables dont le coefficient avait une valeur absolue <0,5 (faible) etaient supprimees du tableau des structures et des coordonnees factorielles.

L'analyse discriminante etait choisie comme modele ideal pour identifier l'impact determinant des variables cognitives pour classer correctement les patients et les temoins. L'analyse discriminante etait effectuee en deux etapes, la premiere pour valider la classification faite en separant les 2 groupes (patients et temoins) et la deuxieme et derniere, pour bien classer les individus mal classes. Une equation mathematique etait retenue a la fin de l'analyse pour predire le groupe auquel appartenait un individu ayant des valeurs connues des variables retenues dans le modele. La comparaison des groupes apres discrimination et relative aux variables cognitives a recouru au test- t de Student. Les variables composites TMCD et D2ERT n'ont pas ete prises en compte dans l'analyse discriminante.

L'analyse des covariances a ete utilisee pour evaluer l'effet majeur des variables sociodemographiques (age, sexe et niveau d'etudes) sur les variables cognitives.

La valeur de p<0,05 etait consideree comme seuil de significativite statistique.

Toutes les analyses ont ete realisees en utilisant le logiciel SPSS (Statistical Package for Social Sciences) for Windows version 10.0 (SPSS Inc, Chicago, Illinois, USA).

## **RESULTATS**

# Caracteristiques sociodemographiques de la population d'etude

La population d'etude comprenait 188 patients (70 schizophrenes, 50 cas de TSF, 68 cas de TPB) et 152 temoins. Le sex ratio etait de 1 homme: 1 femme (173 hommes contre 167 femmes) dans la population d'etude. Cependant, il variait de maniere inegale (p=0,023) entre les patients et les temoins: tendance a une surrepresentation feminine (102 femmes contre 86 hommes; sex ratio 1,2 femme: 1 homme) chez les patients et a une predominance masculine (87 hommes contre 65 femmes; sex ratio 1,3 homme: 1 femme) chez les temoins.

L'age moyen de cette population d'etude etait de  $28 \pm 7$  ans (extremes 18 ans et 45 ans). L'age moyen des patients ( $27,7 \pm 6,9$  ans) etait similaire (p=0,570) a celui des temoins ( $28 \pm 7,1$  ans).

Le niveau d'etudes secondaire etait le plus frequemment rapporte aussi bien chez les patients (6,4% pour primaire, 77,7% pour

secondaire et 16% pour superieur) que chez les temoins (20,4% pour primaire, 45,4% pour secondaire et 34,2% pour superieur).

Mais en considerant deux niveaux d'instruction, le niveau bas etait plus frequent (p< 0,0001) chez les patients (n=158 soit 84%) que chez les temoins (n=100 soit 65,8%).

## Variables cognitives

# Comparaison des scores des patients et des temoins

Au test des 15 mots de Rey, le groupe de controle avait presente des scores significativement plus eleves que ceux des patients, concernant tous les mots justes, de connotation positive. Il avait, par contre affiche des scores significativement plus bas aux variables de connotation negative suivantes: tous les mots faux et les mots doubles a certains temps de revocation immediate (Tableau 1).

Concernant les autres tests neuropsychologiques, les patients ont obtenu des scores plus elevees (p<0,05) aux variables de connotation negative suivantes: TRAILA, TRAILB, FCRT, D2ERO, D2ERC, D2ERT, D2ER% (Tableau 2). Cependant, ils ont obtenu des scores plus bas (p<0,05) aux variables de connotation positive suivantes: TMCD, TMCI, TMCT, LNST, FCRC, FCRR, STROOPW, STROOPC, STROOPCW, D2ST, D2TC, WCSTS, COWAPHO, COWASEM, FTBDOM, FTBNDOM et MPR (Tableau 2). Leurs scores etaient identiques a ceux des temoins, quant aux autres variables cognitives (resultats non presentes).

# Comparaison des scores des patients traites et non traites

Les patients traites aux neuroleptiques et ceux non traites etaient comparables (p> 0,05) quant aux valeurs moyennes de la majorite des variables cognitives (resultats non presentes).

Comme il fallait s'y attendre, les patients traites presentaient des valeurs moyennes plus perturbees (p< 0,05) a certaines variables; tel etait le cas pour les variables FCRC, REY2D, REYD3, REY4D, LNST, D2ST, D2TC, COWAPHO et COWASEM (Tableau 3).

# Analyse factorielle a composantes principales (ACP)

L'ACP basee sur les variables cognitives a permis d'isoler 11 facteurs avec valeur propre respective superieure a 1 et apres rotation (Tableau 4).

La signification de chaque facteur de l'ACP est donnee selon l'ordre decroissant de la variance respectivement expliquee:

- facteur 1: mots exacts au test des 15 mots de Rey;
- facteur 2: vitesse d'execution des taches mentales;
- facteur 3: mots faux au test des 15 mots de Rey;
- facteur 4: mots doubles au test des 15 mots de Rey;
- facteur 5: fluidite verbale, intelligence generale pratique;
- facteur 6: attention;
- facteur 7: vitesse motrice;
- facteur 8: mots doubles interrogatifs au test des 15 mots de Rey;

Tableau	1: Scores aux 15 mots de	Rey des patients et du g	roupe de controle*	
Variables cognitives	Population n=340	Patients n=188	Controle n=152	р
	Moyenne±DS	Moyenne±DS	Moyenne±DS	
REY1J	5,6±2	4,9±1,7	5,3±1,7	<0,0001
REY1F	0,6±1,7	0,8±1,2	0,4±0,7	<0,0001
REY1D	0,8±1	$0,9\pm1,1$	$0,6\pm0,9$	0,03
REY2J	8,4±2,5	7,4±2,2	9,7±2,2	<0,0001
REY2F	0,7±1,4	$0.9 \pm 1.7$	0,3±0,6	<0,0001
REY3J	9,9±2,8	8,7±2,7	11,2±2,1	<0,0001
REY3F	0,6+1,1	0,8+1,4	0,3+0,6	<0,0001
REY4J	10,5+2,7	9,5+2,7	11,8+2,0	<0,0001
REY4F	0,6+1,2	0,8+1,5	0,3+0,6	<0,0001
REY5J	11,1+2,7	10,0+2,8	12,4+1,9	<0,0001
REY5F	0,6+1,4	0,9+1,7	0,4+0,8	<0,0001
REY5D	0,2+0,6	2,7+2,1	1,9+1,6	<0,0001
REYRJ	13,5+2,4	12,8+2,8	14,4+1,3	<0,0001
REYRF	0,7+1,7	1,2+2,0	0,1+0,5	<0,0001

<sup>\*</sup>Seules les variables avec differences significatives sont reprises dans ce tableau

Tableau 2	2: Scores des patients et d	lu groupe de controle aux a	autres tests neuropsycholog	giques
Variables	Population n=340	Patients n=188	Controle n=152	р
	Moyenne+DS	Moyenne+DS	Moyenne+DS	
TRAIL A	80,1+42,1	86,2+41,7	72,6+41,5	<0,0001
TRAIL B	173,1+78,2	198,9+80,2	141,2+62,5	<0,0001
TMCD	5,1+1,7	4,9+1,7	5,3+1,7	0,04
TMCI	4,8+2,1	4,0+1,4	5,7+2,4	<0,0001
TMCT	9,9+3,2	8,9+2,5	11,0+3,6	<0,0001
LNST	8,6±4,6	6,2±2,5	11,6±4,8	<0,0001
FCRT	5,7±2,8	6,2±3,0	5,0±2,4	<0,0001
FCRC	29,2±5,8	27,9±6,4	30,8±4,6	<0,0001
FCRR	15,2±6,8	12,2±6,0	18,9±5,9	<0,0001
D2ER0	33,5±28,5	36,4±31,9	29,9±23,1	0,03
D2ERC	10,6±15,1	14,8±18,7	5,5±5,5	<0,0001
D2ERT	44,1±36,4	51,2±42,3	35,4±24,9	<0,0001
D2 ER%	35,3±32,5	44,5±37,6	23,8±19,5	<0,0001
D2ST	139,9±39,4	121,1±31,6	163,2±35,6	<0,0001
D2TC	95,8±56,4	69,9±49,3	127,7±47,5	<0,0001
StroopW	30,7±9,9	28,8±8,6	32,9±11,1	<0,0001
StroopC	31,8±1,7	29,4±7,5	34,8±9,5	<0,0001
StroopCW	37,2±8,5	35,6±7,7	39,1±9,2	0,03
WCSTS	4,4±2,3	3,6±2,4	5,4±1,7	<0,0001
COWAPHO	21,9±10,9	18,6±9,1	25,9±11,6	<0,0001
COWASEM	11,7±3,9	10,5±3,3	13,3±3,9	<0,0001
FTBDOM	37,1±8,3	33,2±7,2	42,0±6,8	<0,0001
FTBNDOM	37,1±7,5	33,7±7,2	41,1±5,7	<0,0001
MPR	26,2±11,5	22±8,7	31,6±12,5	<0,0001

<sup>\*</sup>Seules les variables avec differences significatives sont reprises dans ce tableau

**Tableau 3:** Scores neuropsychologiques des patients traites et non traites\*

· ·			
Variables Patients traites n=158		Patients non traites n=30	<0,0001 0,002 0,026
	Moyenne±DS	Moyenne±DS	
FCRC	27,2±6,5	31,3±4	<0,0001
REY2D	2,1±1,9	$0,9\pm1,1$	0,002
REY3D	2,4±2	1,6±1,6	0,026
REY4D	2,7±2,4	1,7±1,6	0,004
LNST	6±2,4	7,3±2,8	0,01
D2ST	118,4±31,7	135,2±27,6	0,008
D2TC	65,6+48,4	92,3+48,9	0,006
COWAPHO	18+8,8	21,8+9,7	0,038
COWASEM	10,1+3,1	12,2+4	0,001

<sup>\*</sup>Seules les variables avec differences significatives sont reprises dans ce tableau

- facteur 9: resistance au phenomene d'interference (fonctionnement executif);
- facteur 10: memoire des chiffres;
- facteur 11: mots doubles interrogatif au premier temps de revocation immediate des 15 mots de Rey.

La figure 1 decrit la valeur propre et la variance expliquee de tous les facteurs (composantes). L'ensemble des 11 facteurs retenus expliquant 67% de la variance totale. Le facteur 1 relatif aux mots exacts du test des 15 mots de Rey expliqua a lui tout seul pres de 25% de la variance totale. Parmi les 11 facteurs retenus, cinq (facteurs 1, 3, 5, 8 et 11) etaient relatifs au test des 15 mots de Rey et expliquaient 33% de la variance totale.

## Analyse discriminante

L'analyse discriminante des deux groupes (patients et temoins) basee sur les variables cognitives etait concluante (p<0,0001) aux 2 etapes de la discrimination. La probabilite

Tableau 4: Matrice des composantes apres rotation, chez les patients et les temoins									oins		
Variables	Composantes										
	1	2	3	4	5	6	7	8	9	10	11
REY3J	0.807										
REY4J	0.804										
REY2J	0.804										
REY2J	0.804										
REY5J	0.801										
REY1J	0.725										
REYRJ	0.625										
WCSTS											
LNST											
TRAILA											
		0.749									
STROOPW		0.711									
FCRT		0.635									
STROOPC		0.624									
TRAILB		0.617									
FCRC											
REY3F			0.816								
REY4F			0.804								
REY5F			0.764								
REY2F			0.742								
REY1F			0.691								
REYRF											
REY4D				0.820							
REY3D				0.792							
REY5D				0.774							
REY2D				0.719							
REY1D				0.563							
D2ST					0.783						
COWASEM					0.690						
COWAPHON					0.595						
MPR					0.503						
D2ERO						0.918					
D2TC					0.501	0.764					
D2ERC					0.001	0.524					
FTBNDOM						0.02 1	0.757				
FTBDOM							0.711				
FCRR							0.711				
REYD2 ?								0.728			
REY3D?								0.720			
REY5D ?								0.672			
REY4D?								0.625			
NET4U (								0.025			Contd

(Contd...)

Tableau 4: (Continued)											
Variables	Composantes										
	1	2	3	4	5	6	7	8	9	10	11
STROOPI									0.918		
STROOPCW									0.704		
TMCD										0.773	
TMCI										0.564	
REY1D?											0.802

Tableau 5: Classement des participants apres discrimination des patients etdes temoins									
Etapes	Patie	ents	Tem	Erreur totale%					
	Bien classes n (%)	Mal classes n (%)	Bien classes n (%)	Mal classes n (%)					
Premiere	167 (88,8)	21 (11,2)	138 (90,7)	14 (9,3)	10,3				
Derniere	175 (99,4)	1 (0,6)	164 (100)	0	03				

de classer correctement les participants dans l'un ou l'autre groupe et l'erreur totale de classification a la premiere et a la derniere etape de l'analyse discriminante sont reprises dans Tableau 5.

L'equation de la fonction discriminante, les coefficients canoniques non standardises et les variables discriminantes retenues sont representes dans la formule suivante: Z=-6,8 + 0,01TrailA - 0,08FCRC + 0,12FCRR + 0,16REY1J + 0,11REY2J - 0,16REY5D - 0,11REYRF + 0,14LNST + 0,02D2ERO + 0,02D2TC - 0,04COWASEM +0,05FTBNDOMou:

- Z: score de discrimination (Barycentre);
- et 6,8: constante.

Quatre des 12 variables discriminantes appartenaient au test des 15 mots de Rey. Les trois autres variables appartenaient respectivement au Trail Making Test, a la figure complexe de Rey, au Letter Number Sequencing Test, au d2 test de l'attention, au Controlled Word Association et au Finger Tapper Board Test.

Les barycentres des groupes etaient a -1,7 pour le groupe des patients et a +1,9 pour le groupe des temoins (Figure 2).

# Effet majeur du groupe et des variables sociodemographiques sur les variables cognitives chez les temoins et chez les patients

Ont ete introduites dans l'analyse des covariances les variables independantes groupe (patients ou temoins), age, sexe, niveau d'etudes et respectivement les variables dependantes TRAILA, FCRC, FCRR, REY1J, REY2J, REY5D, REYRF, LNST, D2ERO, D2TC, COWASEM et FTBNDOM retenues

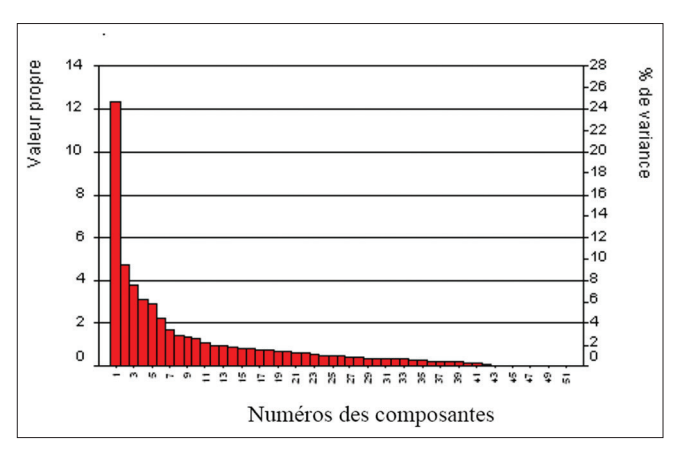


Figure 1: Valeurs propres et proportions de la variance expliquee des differents facteurs cognitifs chez les patients et les temoins

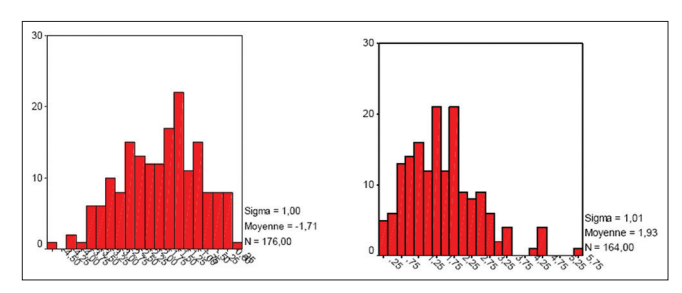


Figure 2: Barycentres des patients (a gauche) et des temoins (a droite)

dans l'analyse discriminante. Il y avait seulement un effet majeur du groupe concernant respectivement les variables REY1J (p=0,033; F=56,53), D2TC (p=0,003; F=130,4) et COWASEM (p=0,026; F=26,55), un effet majeur du niveau d'etudes, concernant la variable COWASEM (p=0,017; F=16,65), un effet majeur de l'association groupe-sexe,

concernant la variable FCRC (p=0,001; F=12,83), un effet majeur de l'association groupe-niveau d' etudes' concernant la variable FCRC (p=0,038; F=34,19) et un effet majeur de l'association sexe-niveau d' etudes, concernant la variable D2TC (p=0,036; F=38,73). Le sexe et l'age n'avaient d'effet majeur sur aucune variable cognitive.

#### DISCUSSION

Cette etude a determine les differences des caracteristiques sociodemographiques et cognitives entre les patients souffrant de psychoses fonctionnelles non affectives et des temoins.

Alors que l'age des patients etait similaire a celui des temoins, il y avait une preponderance feminine chez les patients, en contraste avec une predominance masculine chez les temoins. Par ailleurs, le niveau d'etudes des patients etait plus bas que celui des temoins, conformement a notre attente. En effet, le niveau d'etudes n'est qu'un aspect de l'adaptation premorbide et les patients psychotiques, plus particulierement les schizophrenes, presentent une mauvaise adaptation premorbide (24,25,26). Par ailleurs, il est etabli que les schizophrenes presentent des perturbations cognitives des leur enfance (3,24,27,28); lesquelles perturbations entravent l'apprentissage dans des domaines tels que le calcul et la lecture (24,26). Elles constituent ainsi un reel handicap dans la scolarisation desdits patients. Ce type de handicap pourrait expliquer, au moins en partie, le plus bas niveau d'etudes des patients par rapport aux temoins.

Du fait de leur plus bas niveau d'etudes, les patients devraient avoir de plus mauvaises performances cognitives que les temoins, conformement a Wilk et al. (29). Ces auteurs ont, en effet, demontre une correlation positive entre le niveau d'etudes et les performances cognitives chez les schizophrenes.

Les considerations ci-dessus evoquees, relatives au niveau d'etudes, concernent, certes, les schizophrenes, cependant, elles pourraient aussi s'appliquer aux patients avec TSF et a ceux avec TPB. Des etudes ulterieures pourront verifier cette hypothese en precisant les antecedents cognitifs desdits patients.

En tenant compte de la connotation (positive ou negative) des differentes variables cognitives, les patients avaient obtenu des scores significativement plus mauvais sur 38 (80,8%) des 47 variables cognitives etudiees; ils n'ont presente de meilleur score sur aucune variable. Les variables pour lesquelles il n'y avait pas de difference significative entre les deux groupes de participants etaient: les mots doubles interrogatifs aux 5 temps d'evocation immediate des 15 mots de Rey, les mots doubles aux temps 2-4 des 15 mots de Rey et le score d'interference du 'Stroop Color and Word Test'. Le fait que parmi les variables des 15 mots de Rey, les mots doubles

et les mots doubles interrogatifs n'aient qu'une importance clinique secondaire par rapport aux mots faux et surtout aux mots exacts ne fait que souligner davantage la superiorite des temoins sur les patients.

Les differents faits ci-dessus evoques demontrent a suffisance l'existence d'un deficit cognitif chez les patients congolais atteints de psychoses fonctionnelles non affectives. D'aucuns pourraient se demander si ce deficit n'etait pas simplement une consequence des medicaments psychotropes que les patients prenaient au moment de revaluation neuropsychologique. En vue d'evaluer les mefaits neuropsychologiques eventuels du traitement psychotrope, les performances cognitives des patients qui etaient deja sous traitement psychotrope ont ete comparees a celles des patients qui n'avaient pas encore commence ce type de traitement au moment de l'exploration neuropsychologique. Les scores des deux categories de patients etaient similaires sur la majorite des variables cognitives. Toutefois, les patients non encore traites avaient obtenu de meilleurs scores a certaines variables cognitives, ce qui ne constitue pas forcement un paradoxe. En effet, l'instauration du traitement psychotrope avant l'exploration neuropsychologique a ete dictee par la gravite clinique des patients concernes; laquelle gravite clinique pouvait expliquer les mauvaises performances des patients sous traitement.

En fait il n'y avait des differences entre les 2 categories de patients que sur 9 (19,1%) des 47 variables etudiees, dont 3 concernaient les mots doubles des 15 mots de Rey, de faible importance clinique. L'impact du traitement psychotrope sur les performances cognitives des patients etait ainsi minime. Ce constat rejoint celui de certains auteurs quant a l'absence sinon l'effet insignifiant des neuroleptiques classiques sur le fonctionnement cognitif des schizophrenes (1,3,4,30,31,32). Il en de meme des medicaments anticholinergiques (32,33).

Cependant d'autres auteurs ont rapporte le bienfait des neuroleptiques atypiques sur des facultes cognitives, telles que les fonctions executives (8,34), la memoire verbale (8), la memoire operationnelle (34), la psychomotricite (35,36), la fluidite verbale (8,35) et l'attention (35,37). Toutefois le benefice cognitif des neuroleptiques atypiques dans la schizophrenie reste limite (30,38,39,40).

De toutes les fa9ons, l'impact des neuroleptiques atypiques dans la presente etude, s'il y en avait, ne pouvait etre que negligeable tant que seuls 4 (2%) des 188 patients avaient re9u cette categorie de medicaments.

Par ailleurs, les variables sociodemographiques age, sexe et niveau d'etudes n'etaient que tres faiblement associees aux variables cognitives, tel que l'ont demontre les donnees relatives a leur effet majeur sur les variables cognitives discriminantes. Ainsi, nos patients presentaient un deficit cognitif reel et indiscutable. Compte tenu de la vaste gamme des facultes cognitives explorees, ce deficit peut etre considere comme diffus, a l'image de celui observe chez les schizophrenes (12,41,42,43).

Cependant, cette similitude entre le profil cognitif des schizophrenes et celui du groupe des 3 psychoses etudiees n'implique pas forcement une similitude entre les 3 psychoses. Des etudes comparatives des 3 affections sont necessaries en vue d'en determiner les similitudes et les divergences neuropsychologiques.

Avec des risques d'erreur totale aussi negligeables que 10,3% avant correction et 0,3% apres correction, la batterie neuropsychologique utilisee a permis une discrimination efficiente des patients atteints de psychoses fonctionnelles non affectives et des temoins en milieu congolais. Elle peut ainsi etre valablement recommandee en vue d'un screening rapide destine a etablir la presence eventuelle d'une psychose fonctionnelle non affective chez le congolais dans des etudes epidemiologiques et lors des expertises psychiatriques.

Parmi les tests neuropsychologiques utilises, les 15 mots de Rey evaluant la memoire verbale expliquait a lui seul 33% de la variance totale et comprenait 4 des 12 variables discriminantes. Ces constats demontrent l'importance de ce test dans les psychoses fonctionnelles non affectives en milieu congolais, laquelle importance peut s'expliquer par le niveau developpe de la tradition orale au sein de la culture africaine en general, congolaise en particulier.

### Remerciements

Les auteurs remercient infiniment le VLIR (Vlaamse Interuniversitaire Raad ou Conseil Interuniversitaire Flamand), l'Universitair Centrum Sint Jozef de KORTENBERG en Belgique pour leur soutien financier et materiel sans lequel la presente etude n'aurait pas pu se realiser. Ils remercient egalement le statisticien NGE OKWE, les psychologues NZUZI MVUMBI, PIERRE NGANDU MWAMBA et JEAN TSHIABA ainsi que l'infirmier CLEMENT MWANZA pour leur precieuse collaboration.

#### REFERENCES BIBLIOGRAPHIQUES

- Gold JM, Harvey PD. Cognitive deficits in schizophrenia. Schizophrenia 1993; 16: 295312.
- Frith C. What are the implications of intellectual and experiential abnormalities for the neurobiology of schizophrenia? British Medical Bulletin 1996; 52: 613-626.
- Harvey P. (1997). Optimising cognitive function in patient with schizophrenia. Report on international meeting of experts in cognitive dysfunction in schizophrenia; 1997 Sept; Budapest. Budapest: Gardiner-Caldwell communications; 1997.
- Goldberg TE, David A, Gold JM (2003). Neurocognitive deficits in schizophrenia. In: Hirsh SR, Weinberger D, editors. Schizophrenia 2end ed. Massachusetts: Blackwell Publishing; 2003. p 168-186.

- Aleman A, Agrawa, N, Morgan KD, David S. Insight in psychosis and neuropsychological function: meta-analysis. British Journal of Psychiatry 2006; 189: 204-212.
- Saykin A, Gur RC, Gur RE, Mozley D, Mozley LH, Resnick SM, et al. Neuropsychological function in schizophrenia. Selective impaiement in memory and learning. Archives of general Psychiatry 1991; 48: 618 - 624.
- Cornblatt BA, Keilp JG. Impaired attention, genetics and the pathophysiology of schizophrenia. Schizophrenia Bulletin 1994; 20: 31-46
- Meltzer HY, Thompson PA, Lee M, Ranjan R. Neuropsychologic deficits in schizoprenia. Relation to social function and effect of antipsychotic drug treatment. Neuropsychopharmacology 1996: 278-338.
- Silverstein SM, Schenkel LS, Valone C, Nuernberger SW. Cognitive deficits and psychiatric rehabilitation outcomes in Schizophrenia. Psychiatric Quarterly 1998; 69: 169 - 191.
- Joyce E, Hutton S, Mutsatsa S, Gibbins H, Webb E, Paul S, Robbins T, Barnes T. Executive dysfunction in first episode schizophrenia and relationship to duration of untreated psychosis: the West London Study. British Journal of Psychiatry Supplement 2002: 43, S 38-44.
- Barnett JH, Sahakian BJ, Werners U, Hill KE, Brazil R, Gallagher O, Bullmore ET, Jones P.B. (2005). Visuospatial learning and executive function are independently impaired in first episode psychosis. Psychological Medecine 2005; 35: 1031-1041.
- Bilder RM, Goldman RS, Robinson D, Reiter G, Bell L, Bates JA, et al. Neuropsychology of first episode schizophrenia: Initial characterization and clinical correlates. American Journal of Psychiatry 2000; 157: 549-559.
- Evans JD, Bond GR, Meyer PS Kim HW, Lysaker PH., Gibson PJ, Tunis S. Cognitive and clinical predictors of success in vocational rehabilitation in schizophrenia. Schizophrenia Research 2004; 70: 331-342.
- American Psychiatric Association. Diagnostic and Statistical Manual of Mental Disorders. 4<sup>th</sup> ed (DSM IV). Washington DC: American Psychiatric Association Press; 1994.
- Rey A. L'examen clinique en psychologie. Paris: Presses universitaires de France; 1964.
- Golden J. Stroop Color and Word Test: A manual for clinical and experimental uses. Chicago III: Stoeling Company; 1978.
- Reitan RM, Wolfson D. The Halstead-Reitan Neuropsychological Test Battery. Theory and clinical interpretation. Washington: Neuropsychology Press; 1985.
- Wechsler D. Manual for the Wechsler Memory Scale-Revised. San Antonio, Tx: The Psychological Corporation; 1987.
- Brickenkamp R, Zillmer E. d2 Test of Attention. Translated by Emmans D. Bern: Hogref, Huber; 1998.
- 20. Osterrieth PA. Le test de copie d'une figure complexe. Contribution a l'etude de la perception et de la memoire. These presentee a la Faculte des lettres de l'Universite de Geneve pour obtenir le grade de Docteur en Philosophie, Mention Pedagogie. Arch de Psychol, 1944, 30, n° 119-120. Neuchatel, 1944, 147 p.
- Heaton R; Wisconsin Card Sorting Manual. Psychological Assessment Resources. Florida: Odessa; 1981.
- Benton AL, Hamsher K, Varney NR, Spreen O. Contribution to Neuropsychological Assessment. New York: Oxford University Press; 1983.
- Raven JC. Standard Progressive Matrices. London: Lewis HK & co Ltd; 1958.
- Jones P, Rodgers B, Murray R, Marmot M. Child developmental risk factors for adult schizophrenia in the British 1946 birth cohort. Lancet 1994; 344: 1398-1402.
- Hafner H, an der Heiden W. Course and outcome of schizophrenia.
   In: Hirsh SR, Weinberger D, editors. Schizophrenia 2end ed. Massachusetts: Blackwell Publishing; 2003.p 101-141.
- Wiersma D, Wanderling J, Dragomirecka E. Social disability in incidence cohorts in six European centers. Psychological Medecine 2000; 30: 1155-1167.
- 27. Wampers M, De Hert M, Peuskens J. Naar een geestlijk gezonde

- samenleving. De (on) draaglijke lichtheid van preventie van schizofrene psychose.Mechelen: Kluwer; 2002.
- Crow TJ, Done DJ, Sackler A. Childhood precursors of psychosis. Eur Arch Psychiatry Clin Neurosci 1995; 245: 61-69.
- Wilk MC, Gold JM, Humber K, Dickerson F, Fenton WS, Buchanan RW. Brief cognitive assessment in schizophrenia: normative data for the Repeatable Battery for the assessement of neuropsychological status. Schizophrenia Research 2004; 70: 175186.
- Gold JM. Cognitive deficits as tretment targets in schizophrenia. Schizophrenia Research 2004; 72: 21-8.
- Hill SK, Schnepbach D, Herbener ES, Keshavan MS, Sweeney JA. Pretreatment and longitudinal studies of neuropsychological deficits in antipsychotic - naive patients with schizophrenia. Schizophrenia Research 2004; 68: 49-63.
- Verdoux H, Magnin E, Bourgeois M. Neuroleptic effects on neuropsychological test performance in schizophrenia. Schizophrenia Research 1995; 14: 133 -9.
- Sweeney JA, Haas GL, Keilp JG, Long M. Evaluation of stability of neuropsychological functioning after acute episodes of schizophrenia: One year follow- up study. Psychiatry Research 1991; 38:, 63-76.
- Rossi A, Mancini F, Stratta P, Mattei P, Gismondi R, Pozzi F, et al. Risperidone, negative symptoms and cognitive deficit in schizophrenia: an open study. Acta Psychiatrica Scandinavica 1997; 95: 40-3.
- Buchanan RW, Holstein C, Breier A. The comparative efficacy and long-term effect of clozapine treatment on neuropsychological test performance. Biological Psychiatry 1994; 36:717-725.
- 36. Galhofer B, Bauer U, Lis S, Krieger S, Gruppe H. (1996). Cognitive

- dysfunction in schizophrenia: Comparison of treatment with atypical antipsychotic agents and conventional neuroleptic drugs. European Neuropsychopharmacology 1996; 6 Suppl: 220.
- Stip E, Lussier F. The effect of risperidone on cognition in patients with schizophrenia. Canadian Journal of Psychiatry 1996; 41, Suppl 2: 35-40.
- Keefe RSE, Harvey PD. Studies of cognitive changes in patients with schizophrenia following novel and antipsychotic treatment. American Journal of Psychiatry 2001; 158: 176-184.
- Meltzer HY, Mc Gurk SR. The effects of clozapine, risperidone, and olanzapine on cognitive function in schizophrenia. Schizophrenia Bulletin 1999; 25: 233-256.
- Mishara AL, Goldberg TL. A meta analysis and critical review of the effects of conventional neuroleptic treatment on cognition in schizophrenia: opening a closed book. Biological Psychiatry 2004; 55: 1013-1022.
- 41. Weickert TW, Goldberg TE, Gold JM, Bigelow LB, Egan MF, Weinberger DR. Cognitive impairments in patients with schizophrenia displaying reserved and compromised intellect. Archives of General Psychiatry 2000; 57: 907-913. 42. Kremen WS, Seidman LJ, Fraone SC, Toomey R, Tsuang MT. Heterogeneity of schizophrenia: a study of individual neuropsychological profiles. Schizophrenia Research 2004; 71: 307-321.
- Addington J, Brooks BL, Addington D. Cognitive functioning in first episode psychosis: initial presentation. Schizophrenia Research 2003; 62: 59-64.



# ORIGINAL ARTILCE

# Références de l'épaisseur des plis cutanés et du pourcentage de graisse corporelle chez les enfants et adolescents scolarisés de 6 à 18 ans de la ville de Kinshasa, RDC

Buhendwa Rudahaba Augustin<sup>1</sup>, Mathieu Roelants<sup>2</sup>, Martine Thomis<sup>3</sup>, Lepira Bompeka François<sup>4</sup> Nkiama Ekisawa Constant<sup>1</sup>, Tady Muyala<sup>5</sup>, Longo Mbenza Benjamin<sup>4</sup>

<sup>1</sup>University of Kinshasa, Faculty of Medicine, Department of Physical Medicine and Rehabilitation, Laboratory of Kinanthropometry and Exercise Physiology, <sup>2</sup> KU Leuven – University of Leuven, Environment and Health, Department of Public Health Care, <sup>3</sup>KU-Leuven-University of Leuven, Faculty of Kinesiology and Rehabilitation Sciences, Department of Kinesiology, Physical Activity, Sport & Health Research Group, Tervuursevest 101, B-3001 Leuven, <sup>4</sup>University of Kinshasa, Faculty of Medicine, Department of Internal Medicine, University Clinics of Kinshasa, <sup>5</sup>University of Kinshasa, Faculty of Medicine, Department of Pediatric, University Clinics of Kinshasa.

Corresponding Authors: Longo-Mbenza Benjamin, MD, PhD, DSc, E-mail: longombenza@gmail.com

Submitted: May 2016, Accepted: April 2017

#### RÉSUMÉ

**Objectif**: Elaborer de référence de l'épaisseur des plis cutanés et du pourcentage (%) de graisse chez les élèves de 6 à 18 ans de Kinshasa, RDC. **Méthodes:** Les plis cutanés étaient mesurés dans une étude transversale organisée entre Mars 2010 et Mai 2013, sur un échantillon représentatif de 7442 élèves (garçons: 3616; filles: 3826). Les z-scores des plis du Triceps, du Sous scapulaire, de la somme des plis du tronc (Sous Scapulaire, Supra iliaque et Abdomen) et de l'extrémité (Triceps, Biceps et Mollet) et, les percentiles (3ème au 97ème) du % de graisse estimé par l'équation de Slaughter et al., étaient obtenus par la méthode LMS. **Résultats:** Il existe une différence intersexe dans l'épaisseur des plis cutanés et, à 18 ans, les filles ont plus de 50% de graisse que les garçons (7,6% versus 20,42%). La forme des courbes L (asymétrie) et S (variabilité) semble similaire à celles de certaines populations caucasiennes. Toutefois, des valeurs de courbes M (Médiane) sont basses. Le % de graisse, surtout chez les garçons, est au-dessous de la différence de 3% rapportée entre les noirs et les caucasiens et, ses 3ème, 90ème et 97ème percentiles sont inférieurs aux percentiles pédiatriques (2ème, 85ème et 95ème) qui définissent respectivement maigreur, surpoids et obésité. **Conclusion:** les références des plis cutanés et du % de graisse des enfants et adolescents de populations caucasiennes ont des valeurs élevées à celles de leurs homologues de Kinshasa et, sont inappropriées pour évaluer leur adiposité. Ces références seront utilisées en complément à celles de l'indice de masse corporelle élaborées sur le même échantillon.

Mots clés: Courbes De référence, Plis cutanés, Pourcentage de graisse, Enfants scolarisés africains, Méthode LMS.

#### 1. INTRODUCTION

a prévalence du surpoids et l'obésité continue d'augmenter rapidement chez l'adulte et chez l'enfant aussi bien dans les pays développés que ceux en développement.

Access this article online
Website: http://www.satapublishers.com
DOI: 10.18644/jiresh-biotech.0000042
E-ISSN: 2413-7669 (Online)

L'indice de masse corporelle (IMC) [poids/taille (m²)] est recommandé par l'organisation mondiale de la santé (WHO, 2000) pour classer la corpulence des individus.

C'est aux Etats-Unis que les seuils de l'IMC pour déterminer les limites du surpoids et de l'obésité chez les enfants et adolescents étaient adoptés pour la première fois (Barlow et Dietz, 1998). Mais ces seuils jugés arbitraires ne pouvaient pas être recommandés à l'usage international pour favoriser les comparaisons entre les pays et les grandes régions du monde.

L'International Obesity Task Force (IOTF) a alors préconisé d'utiliser l'approche la moins arbitraire qui consiste à faire passer à 18 ans, les percentiles qui délimitent le surpoids et l'obésité de l'enfant et adolescent aux seuils de l'adulte de 25 kg/m² et 30 kg/m², respectivement pour le surpoids et l'obésité (Cole et al. 2000) et ceux de la maigreur en-dessous du 18,5; 17 et 16 kg/m², respectivement pour la maigreur de niveau I, II et III (Cole et al. 2007).

Mais l'IMC ne fait pas de distinction entre la masse grasse et la masse maigre, ce qui peut fournir de mauvaises informations concernant la composition corporelle surtout qu'il existe chez les enfants pour un IMC donné, une variabilité élevée dans la graisse corporelle (Wells et al. 2006).

Comme il n'existe pas de parfait outil pour estimer le pourcentage de graisse dans les enquêtes épidémiologiques, l'épaisseur des plis cutanés fournit quelques avantages et, à ce titre, elle a été recommandée pour identifier le risque d'obésité et de santé chez les jeunes (Himes et Dietz, 1994). Elle est un prédicteur plus sensible que l'IMC du niveau d'adiposité car plus fortement corrélée avec les mesures de la graisse corporelle totale (Sarría et al. 1998; Nooyens et al. 2007) et les percentiles et/ou les z-scores de l'épaisseur des plis cutanés du triceps et du sous scapulaire peuvent améliorer l'évaluation et la surveillance de l'adiposité (Freedman et al. 2007; Addo et Himes, 2010).

Des valeurs de référence de l'épaisseur des plis cutanés et du pourcentage de graisse corporelle qui en découle ou recueilli à partir d'autres méthodes, selon le sexe et l'âge, ont été publiées (Moreno et al. 2005; MacCarthy et al. 2006; Ozturk et al. 2009; Ma et al. 2009; Addo et Himes, 2010; Kurtaloglu et al. 2010; Haas et al. 2011; Laurson et al. 2011; Kim et al. 2012; Jaworski et al. 2012; Fryar et al. 2012; Schwandt et al. 2012; Nagy et al. 2014; Park et al. 2015). Mais elles ne sont pas appropriées pour évaluer et surveiller l'évolution de la masse grasse chez les enfants africains.

En effet, la quantité de graisse corporelle et le modèle de dépôt de graisse chez l'enfant et adolescent sont déterminés par la race et/ou l'ethnie (Cameron, 1991; Wagner et Heyward, 2000; Morrison et al. 2001; Freedman et al. 2008) et par conséquent, la mesure de l'épaisseur des plis cutanés comme prédicteur de l'adiposité peut être plus affectée par la spécificité de la population à l'étude.

En Afrique Sub-saharienne, en général et plus particulièrement en République Démocratique du Congo (RDC), les données anthropométriques classiques telles que le poids, la taille, les circonférences, les diamètres, etc... chez les enfants de plus de 5 ans sont très rares (Cameron, 1991) et celles de l'épaisseur des plis cutanés et du pourcentage de graisse qui en dérivent n'ont jamais été publiées.

L'objectif de cet article est d'élaborer pour la première fois les données de référence de l'épaisseur des plis cutanés et du pourcentage de graisse, spécifiques à l'âge et au sexe chez les enfants et adolescents scolarisés de 6 à 18 ans de la ville de Kinshasa. RDC.

# 2. MATÉRIEL ET MÉTHODES

#### 2.1. Nature, cadre et période de l'étude

Cette étude transversale est une partie de l'étude sur la croissance de distance et la condition physique des enfants scolarisés de 6 à 18 ans qui était organisée à Kinshasa, capitale de la République Démocratique du Congo (RDC) entre mars 2010 et mai 2013.

## 2.2. Les sujets

Les enfants de deux sexes âgés de 6 à 18 ans étaient recrutés de manière aléatoire dans 47 écoles primaires et secondaires de la ville de Kinshasa selon critères ci-après:

1) avoir au moins un parent de nationalité Congolaise; 2) être déclaré par le parent ou le responsable de l'école de ne pas souffrir d'une maladie qui affecte la croissance physique et/ou contre-indiquée à la pratique des activités physiques et sportives telles que les maladies chroniques comme les maladies cardiaques, respiratoires, rénales, la drépanocytose, etc..., les désordres endocriniens et ne pas avoir une malformation physique apparente; 3) avoir une date de naissance enregistrée à l'école et un formulaire de consentement éclairé signé par le parent et/ou le tuteur.

### 2.3. Echantillonnage

Nous présentons brièvement le processus d'échantillonnage à plusieurs degrés, qui avait suivi quatre étapes:

- a) le calcul de la taille de l'échantillon était effectué par la formule: n ≥ Z²p.q/d², où n = nombre des sujets; Z = niveau de confiance (99%: Z= 2,58); p = la prévalence des indicateurs; q = 1- p; et d = la précision fixée à 2% pour une prévalence de 50%. Le nombre des sujets de l'échantillon était de 8320;
- b) La sélection aléatoire des écoles était effectuée à partir d'une liste alphabétique reprenant les écoles selon leur niveau (primaire et secondaire). Par une procédure d'échantillonnage aléatoire systématique, avec assignation à chaque école d'un nombre d'élèves à recruter selon le sexe et en fonction de l'effectif de chaque école et de la taille de l'échantillon, 60 écoles qui étaient dans 14 communes sur 24 que compte la ville de Kinshasa étaient sélectionnées.
- Pour garantir l'obtention d'un échantillon représentatif selon le sexe et l'âge, les écoles recrutées étaient visitées deux semaines avant la collecte des données, pour tirer

au sort les classes et recruter les élèves à mesurer selon un taux attribué à chaque sexe et à chaque âge.

Ces écoles étaient localisées dans les trois zones géographiques scolaires (Kinshasa-Centre, Kinshasa-Est et Kinshasa-Ouest) et se trouvaient dans les différents quartiers classés en 5 catégories selon le type d'habitat, le niveau socio-économique et les infrastructures (Lelo et Tshimanga, 2004): les quartiers résidentiels où en majorité, les habitants sont de niveau socio-économique élevé; les quartiers des anciennes cités et ceux des cités planifiées où généralement la population est de niveau socio-économique moyen et les quartiers excentriques et les semi-ruraux habités par des populations à faible revenu.

Seulement les enfants pour lesquels le consentement éclairé était signé par le parent ou tuteur étaient mesurés.

Les données anthropométriques de 7575 élèves étaient enregistrées sur les fiches individuelles (91% de la taille prévue) mais celles de 29 élèves (15 à cause d'une origine ethnique douteuse et 14 élèves, pour une date de naissance inexacte) étaient écartées.

Ainsi, les données de 7546 élèves étaient saisies sur un classeur Excel dont celles de 9 élèves (1 garçon et 8 filles) manquaient celles de l'épaisseur de plis cutanés.

Par ailleurs, 95 élèves légèrement au-dessous de 6 ans étaient utilisés pour la modélisation de la courbe mais avaient été exclus de l'analyse. Finalement, 7442 élèves, correspondant à 89,5 % de la taille de l'échantillon prévue étaient inclus dans l'analyse.

Le Tableau 1 montre le nombre d'élèves de cette étude par sexe et par âge.

### 2.4. Mesures anthropométriques

Une série des données anthropométriques collectées au cours d'une étude pilote (données non publiées) conduite sur un échantillon de 32 élèves (15 filles et 17 garçons) avant la collecte des données avait indiqué une bonne fiabilité intra-observateur puisque le Techninal Error of Measurement in anthropometry (TEM) était entre 4,36 - 4,5% et 0,86 - 1,21 % respectivement, pour les mesures de l'épaisseur des plis cutanés et les autres mesures (Perini et al. 2005).

La taille était mesurée par une toise portable de marque Seca 214 (Seca, Hamburg, Allemagne) à 0,1cm près, le poids par une balance de type Omron Body Composition BF 511 (Omron Healthcare Europe B.V., the Netherlands) à 0,1 kg près.

La mesure des plis cutanés effectuée deux fois, étaient mesurés à droite par une pince cutanée neuve de type Harpenden

Tableau 1: Nombre d'élèves par sexe et par âge

Age (ans)	Sex	е
	Garçons	Filles
6	212	241
7	236	259
8	231	329
9	266	344
10	261	330
11	324	362
12	451	391
13	355	301
14	352	337
15	300	305
16	303	287
17	206	223
18	119	117
Total	3616	3826

Skinfold Caliper. Les sites mesurés étaient le triceps (Tr), le biceps (Bic), le sous-scapulaire (SS), le supra-iliaque (SI), l'abdomen (Abd) et le mollet (Mol) à 0,2 mm près. Une troisième mesure était réalisée quand une différence de plus de 2 mm était observée entre les deux premières. La moyenne de deux ou de trois mesures était enregistrée à 0,2 mm près. Toutes les mesures anthropométriques étaient recueillies par une seule personne entraînée selon les standards internationaux de l'évaluation de l'anthropométrie de "the International Society for the Advancement of Kinanthropometry" (Marfell-Jones et al. 2006). Comme estimateur de la masse grasse et de sa distribution au tronc et à l'extrémité, des plis du tronc (\sum SS, SI et Abd) et de l'extrémité (\sum Tric, Bic et Mol) étaient respectivement calculées et les tableaux présentés en z-scores: -2 et +2 correspondant respectivement au 3<sup>ème</sup> et 97<sup>ème</sup> percentile. La distribution des valeurs de référence du pourcentage de graisse qui était estimé à partir de la somme des plis du Sous Scapulaire et du Triceps selon les équations développées par Slaughter et al. (1988) était présentée en percentiles.

A cause de sa complexité, l'évaluation de l'âge osseux comme meilleur indicateur du statut de maturation est difficile au cours des études de terrain. De même, étant donné que les caractères sexuels secondaires comme alternative sont pour de raison des restrictions culturelles difficiles à mettre en œuvre (Beunen et al. 2007), surtout en Afrique Subsaharienne où le sexe est entouré de tabou, la distribution de l'âge chronologique proposée par Sun et al. (2002) était utilisée comme critère du statut de maturité chez les garçons: moins de 12 ans: pré puberté; entre 12 et 13,99 ans: la puberté et au-delà de 14 ans, la post puberté.

### 2.5. Déclarations éthiques

Les élèves recrutés étaient informés avant la collecte des données de l'objectif et des procédures méthodologiques impliquées dans l'étude et signé un formulaire de consentement éclairé. Une copie du consentement écrit était adressée au parent ou au tuteur pour l'obtention de l'autorisation de la participation de son enfant à l'étude.

Le protocole de cette étude était lu et approuvé par le Comité National d'Ethique du Ministère de la santé.

## 2.6. Analyse statistique

Les valeurs de référence des plis cutanés et du pourcentage de graisse en fonction de l'âge et du sexe étaient construites par le logiciel LMS (Cole, 1988; Cole et Green, 1992).

L'importation des données des garçons et des filles était réalisée séparément et analysées par LMS, méthode paramétrique basée sur une distribution normale, associée à une technique de lissage pour produire les données normalisées (z-scores) et estimer les percentiles extrêmes. Pour chaque niveau de covariable (âge), les données sont transformées en une distribution normale par la méthode de Box-Cox qui génère pour chaque âge, une distribution de trois paramètres: un exposant Box-Cox λ ou Lambda (L) qui corrige l'asymétrie, une médiane ou Mu (M) et un coefficient de corrélation σ ou Sigma (S). Les tests recommandés par Pan et Cole (2004) étaient utilisés pour s'assurer d'une bonne qualité de l'ajustement des percentiles estimés. Les modèles finals étaient validés par le Grid test de Healey et al. (1988) en procédant à la comparaison des proportions attendues à celles observées.

# 3. RÉSULTATS

Les tableaux 2 et 3 illustrés par la figure 1 montrent, respectivement, les médianes des plis cutanés du triceps et du sous scapulaire qui indiquent que la quantité de la graisse sous cutanée est plus élevée chez les filles et augmente en fonction de l'âge. Chez les filles, la courbe S montre que la variabilité augmente en fonction de l'âge au triceps alors qu'elle est stable avant la puberté au pli du sous scapulaire et diminue par la suite. Chez les garçons, la variabilité diminue après la puberté aux deux plis.

Les tableaux 4 et 5 illustrés présentent le modèle de dépôt de graisse dans les deux sexes indiquant une quantité plus élevée de graisse à l'extrémité et au tronc chez les filles que les garçons et qui augmente en fonction de l'âge. Malgré les plis cutanés plus épais chez les filles, à partir de 10 ans, dans les deux sexes, la graisse s'accumule sur le tronc et à partir de 16 ans, les garçons commencent davantage à stocker plus de graisse au tronc que les filles.

Dans les deux sexes, la variabilité diminue à partir de 13 ans et de 14 ans, respectivement à la somme des plis du tronc et de l'extrémité.

Les tableaux 6 et 7 illustré présentent le pourcentage de graisse qui est en augmentation avec l'âge chez les filles, jusqu'à être deux fois plus élevé à partir de 14 ans que celui des garçons chez lesquels, il diminue à partir de la puberté.

La variabilité augmente avec l'âge chez les garçons alors qu'elle diminue chez les filles au début de la puberté.

Tableau 2: Epaisseur du pli cutané du triceps chez les filles et les garçons de 6 à 18 ans de Kinshasa (Ri										(RDC)	
Age (Année)			Garçor	ns		Filles					
	L	M	S	-2 SD	+ 2SD	L	M	S	-2 SD	+2 SD	
6	-1	5,40	0,256	3,57	11,07	-0,5	6,23	0,303	3,67	12,81	
7	-1	5,20	0,260	3,42	10,84	-0,5	6,39	0,311	3,71	13,46	
8	-1	5,10	0,265	3,33	10,82	-0,5	6,51	0,319	3,74	14,03	
9	-1	5,08	0,269	3,30	11,00	-0,5	6,67	0,326	3,79	14,69	
10	-1	5,13	0,273	3,32	11,32	-0,5	6,96	0,333	3,91	15,66	
11	-1	5,25	0,276	3,38	11,72	-0,5	7,45	0,341	4,14	17,13	
12	-1	5,42	0,277	3,49	12,15	-0,5	8,11	0,346	4,48	18,99	
13	-1	5,57	0,276	3,59	12,42	-0,5	8,88	0,350	4,87	21,05	
14	-1	5,65	0,273	3,66	12,44	-0,5	9,68	0,353	5,29	23,13	
15	-1	5,68	0,269	3,69	12,28	-0,5	10,39	0,355	5,65	24,99	
16	-1	5,68	0,264	3,72	12,04	-0,5	10,97	0,357	5,95	26,56	
17	-1	5,67	0,259	3,74	11,77	-0,5	11,43	0,359	6,19	27,86	
18	-1	5,66	0,254	3,75	11,49	-0,5	11,82	0,361	6,38	28,99	

**Tableau 3:** Epaisseur du pli cutané du Sous Scapulaire chez les filles et les garçons de 6 à 18 ans de Kinshasa (RDC)

Age (Année)			Garçon	ıs				Filles		
	L	M	S	-2 SD	+ 2SD	L	M	S	-2 SD	+ 2SD
6	-1	4,51	0,322	2,74	12,68	-0,5	5,32	0,367	2,85	13,30
7	-1	4,60	0,319	2,81	12,67	-0,5	5,48	0,369	2,93	13,76
8	-1	4,63	0,317	2,83	12,68	-0,5	5,68	0,370	3,03	14,29
9	-1	4,63	0,318	2,83	12,74	-0,5	5,96	0,370	3,18	15,01
10	-1	4,71	0,319	2,88	13,01	-0,5	6,37	0,370	3,40	16,06
11	-1	4,91	0,318	3,00	13,53	-0,5	6,99	0,369	3,73	17,57
12	-1	5,22	0,317	3,20	14,24	-0,5	7,74	0,367	4,14	19,36
13	-1	5,53	0,314	3,40	14,87	-0,5	8,49	0,365	4,56	21,04
14	-1	5,80	0,311	3,58	15,35	-0,5	9,16	0,362	4,94	22,48
15	-1	6,05	0,307	3,75	15,71	-0,5	9,70	0,359	5,25	23,60
16	-1	6,25	0,304	3,89	15,92	-0,5	10,08	0,357	5,48	24,37
17	-1	6,37	0,301	3,98	15,98	-0,5	10,33	0,355	5,63	24,85
18	-1	6,45	0,298	4,04	15,95	-0,5	10,49	0,354	5,72	25,15

**Tableau 4:** Somme de l'épaisseur des plis cutanés du tronc chez les filles et les garçons de 6 à 18 ans de Kinshasa (RDC)

Age (Année)			Garçon	ıs				Filles		
	L	M	S	-2 SD	+ 2 SD	L	M	S	-2 SD	+ 2 SD
6	-1	13,54	0,239	9,16	25,94	-0,5	15,96	0,303	9,40	32,89
7	-1	13,38	0,243	9,00	26,05	-0,5	16,53	0,310	9,63	34,75
8	-1	13,43	0,248	8,98	26,61	-0,5	17,19	0,316	9,92	36,79
9	-1	13,67	0,253	9,08	27,63	-0,5	18,10	0,321	10,36	39,31
10	-1	14,11	0,257	9,31	29,04	-0,5	19,49	0,325	11,10	42,78
11	-1	14,84	0,260	9,76	30,93	-0,5	21,61	0,326	12,28	47,61
12	-1	15,86	0,261	10,42	33,20	-0,5	24,41	0,325	13,91	53,53
13	-1	16,93	0,260	11,14	35,30	-0,5	27,55	0,320	15,81	59,59
14	-1	17,91	0,257	11,83	36,90	-0,5	30,58	0,313	17,73	64,85
15	-1	18,81	0,253	12,49	38,07	-0,5	33,05	0,306	19,39	68,58
16	-1	19,57	0,248	13,08	38,82	-0,5	34,86	0,298	20,68	70,82
17	-1	20,18	0,243	13,59	39,21	-0,5	36,14	0,291	21,67	72,00
18	-1	20,69	0,237	14,02	39,40	-0,5	37,10	0,285	22,47	72,58

A 18 ans, les filles ont proportionnellement plus de 50% de graisse que les garçons avec des valeurs médianes de pourcentage de graisse de 15,04 et 29,4%, respectivement pour les filles et les garçons. Les 3ème et 97ème percentiles sont respectivement chez les filles et les garçons à 12,7 et 38,11% et 3,83 et 21,77%.

#### 4. DISCUSSION

# 4.1 Plis cutanés et modèle de distribution de la graisse corporelle

Le présent article a fourni pour la première fois des valeurs de référence spécifiques à l'âge et au sexe, de l'épaisseur des plis cutanés et du pourcentage de graisse qui en découle, capables d'être utilisés comme des estimateurs non invasifs de la graisse corporelle et du modèle de dépôt de graisse chez les enfants et adolescents de Kinshasa, en RDC.

Comme attendu, nos résultats rapportent une quantité de graisse plus élevée chez les filles aux deux plis, par conséquent à leur somme du tronc et de l'extrémité et, au pourcentage de graisse.

Avec les données de cette étude, ressortir une évolution chez les enfants scolarisés est impossible parce qu'à Kinshasa, à notre

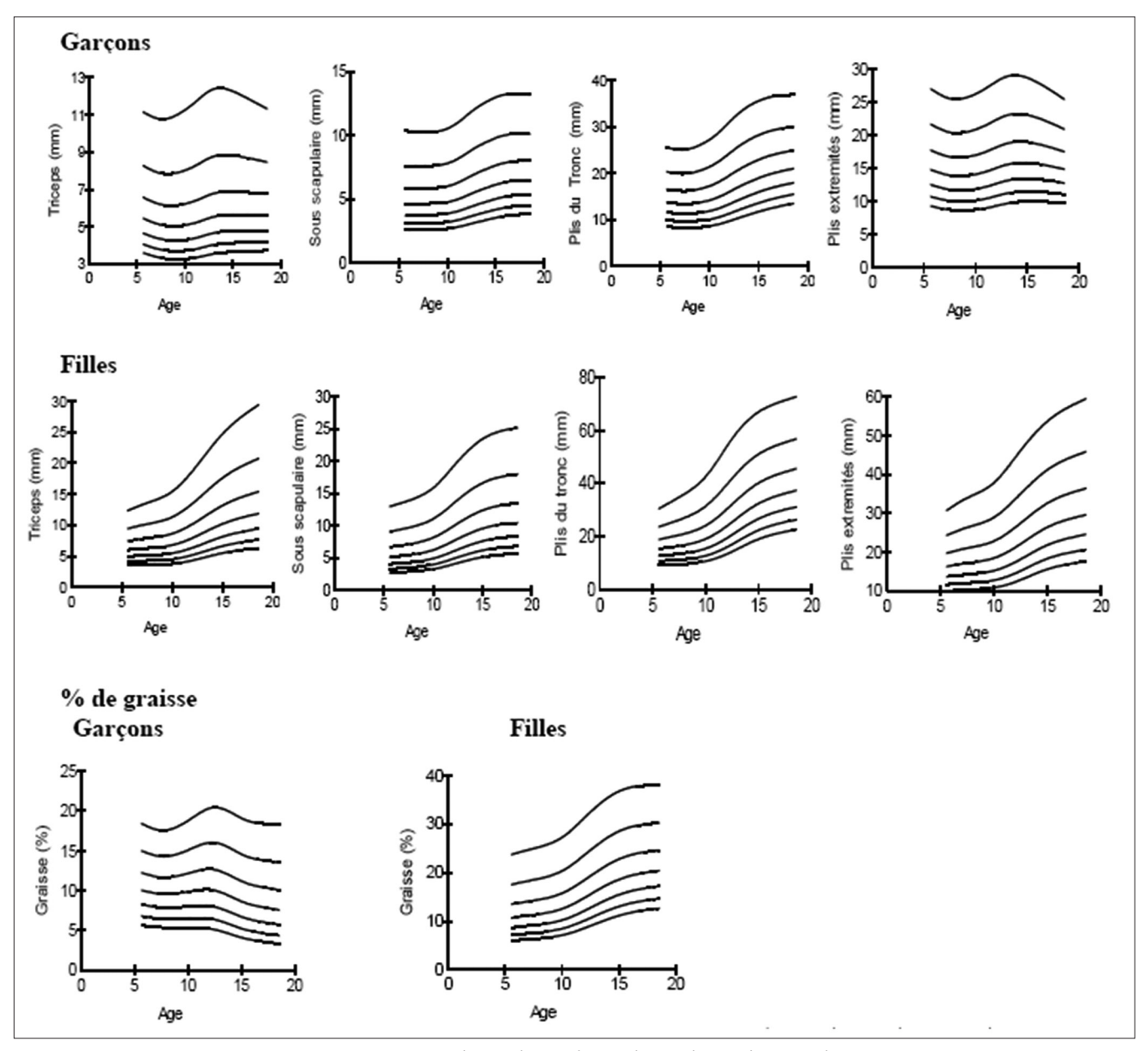


Figure 1: Courbes percentiles lissées par LMS ( $3^{\text{ème}}$ ,  $10^{\text{ème}}$ ,  $25^{\text{ème}}$ ,  $50^{\text{ème}}$ ,  $75^{\text{ème}}$ ,  $90^{\text{ème}}$  et  $97^{\text{ème}}$  percentiles) des plis cutanés du triceps (Tr), du sous scapulaire (SS), de la somme des plis du tronc ( $\Sigma$ Tr), de la somme des plis des extrémités ( $\Sigma$  Extr) et du pourcentage de graisse (% de graisse) chez les enfants et adolescents congolais de Kinshasa (RDC)

connaissance, il n'existe pas des données anthropométriques sur l'épaisseur des plis cutanés des enfants et adolescents.

Il en est de même de l'Afrique sub-saharienne. Mais sur les rares études qui existent et publiées vers les années 1970, Cameron (1991) a trouvé que les plis cutanés au cours de la croissance ne suivent pas le modèle standard, c'est-à-dire, qu'il ne résulte pas des moyennes inférieures du poids et de la taille des enfants et adolescents africains par rapport au modèle international, nécessairement des valeurs des plis cutanés abaissés.

Des valeurs de référence des plis cutanés ont été publiées en Amérique du nord (Addo et Himes, 2010; Fryar et al. 2012) et en Europe (Haas et al. 2011; Jaworski et al. 2012).

Si la forme des médianes de ces courbes est similaire à celle de cette étude, la quantité absolue de graisse stockée sous les plis cutanés des enfants occidentaux apparait plus élevée que celle rapportée par cette étude. En effet, par rapport à toutes ces études, les garçons congolais de Kinshasa ne dépassent pas le 25<sup>ème</sup> et le 10<sup>ème</sup> percentile, respectivement au pli cutané du triceps et du sous scapulaire. Chez les filles, deux de ces

**Tableau 5:** Somme de l'épaisseur des plis cutanés de l'extrémité chez les filles et les garçons de 6 à 18 ans de Kinshasa (RDC)

Age (Année)			Garçon	S				Filles		
	L	M	S	-2 SD	+ 2 SD	L	M	S	-2 SD	+ 2 SD
6	-1	14,48	0,244	9,73	28,22	-0,5	16,79	0,279	10,27	32,31
7	-1	14,04	0,245	9,42	27,56	-0,5	17,24	0,285	10,44	33,71
8	-1	13,83	0,247	9,25	27,36	-0,5	17,62	0,290	10,58	34,95
9	-1	13,84	0,250	9,23	27,64	-0,5	18,04	0,295	10,77	36,26
10	-1	14,04	0,252	9,34	28,26	-0,5	18,76	0,298	11,13	38,11
11	-1	14,43	0,252	9,59	29,12	-0,5	19,95	0,301	11,78	40,87
12	-1	14,98	0,251	9,97	30,09	-0,5	21,54	0,303	12,69	44,31
13	-1	15,48	0,248	10,34	30,76	-0,5	23,39	0,302	13,79	48,06
14	-1	15,73	0,244	10,56	30,78	-0,5	25,24	0,301	14,92	51,63
15	-1	15,75	0,240	10,65	30,24	-0,5	26,80	0,299	15,89	54,52
16	-1	15,60	0,234	10,62	29,36	-0,5	27,96	0,297	16,62	56,58
17	-1	15,35	0,229	10,53	28,30	-0,5	28,79	0,295	17,16	57,98
18	-1	15,04	0,223	10,40	27,18	-0,5	29,41	0,294	17,57	58,97

	Tableau 6: Pourcentage de graisse chez les garçons de 6 à 18 ans de Kinshasa (RDC)									
Age		Percentiles		3 <sup>ème</sup>	10 <sup>ème</sup>	25 <sup>ème</sup>	50 <sup>ème</sup>	75 <sup>ème</sup>	90 <sup>ème</sup>	97 <sup>ème</sup>
		Z-scores	S	-2,0001	-1,3334	-0,6667	0	+0,06667	+1,3334	+2,0001
	L	M	S							
6	-0,5	9,76	0,275	6,01	6,97	8,19	9,76	11,82	14,62	18,54
7	-0,5	9,58	0,276	5,88	6,83	8,03	9,58	11,62	14,39	18,29
8	-0,5	9,53	0,280	5,81	6,76	7,97	9,53	11,60	14,42	18,41
9	-0,5	9,62	0,288	5,80	6,77	8,01	9,62	11,77	14,73	18,97
10	-0,5	9,81	0,298	5,82	6,83	8,12	9,81	12,09	15,27	19,89
11	-0,5	9,99	0,310	5,82	6,86	8,21	9,99	12,42	15,87	20,98
12	-0,5	10,00	0,324	5,71	6,76	8,15	10,00	12,57	16,27	21,88
13	-0,5	9,65	0,340	5,38	6,42	7,79	9,65	12,27	16,13	22,13
14	-0,5	9,05	0,356	4,93	5,92	7,24	9,05	11,65	15,56	21,81
15	-0,5	8,43	0,371	4,49	5,42	6,68	8,43	10,98	14,89	21,32
16	-0,5	8,01	0,385	4,17	5,07	6,29	8,01	10,54	14,50	21,18
17	-0,5	7,77	0,398	3,98	4,86	6,06	7,77	10,33	14,39	21,41
18	-0,5	7,60	0,409	3,83	4,69	5,89	7,60	10,19	14,37	21,77

références les situent entre le  $25^{\text{ème}}$  et le  $50^{\text{ème}}$  percentile au pli cutané du triceps et deux autres, entre le  $10^{\text{ème}}$  et le  $25^{\text{ème}}$  alors qu'au sous scapulaire, elles sont entre le  $25^{\text{ème}}$  et le  $50^{\text{ème}}$  percentile.

Pourtant, les comparaisons des courbes médianes entre les différents groupes ethniques ou raciaux ont indiqué une plus grande quantité de graisse sous cutanée au triceps mais une quantité similaire au sous scapulaire chez les noirs par rapport à leurs homologues caucasiens (Addo et Himes, 2010). Les facteurs liés à un environnement pauvre sur le plan nutritionnel, hygiénique et de la santé peuvent contribuer à ces différences.

# 4.2 Modèle de dépôt de graisse corporelle corporelle

Concernant le modèle de dépôt de graisse, il apparaît dans cette étude que les enfants scolarisés, aussi bien les filles que les garçons présentent une centralisation de la graisse à partir de 10 ans et que c'est vers 17 ans que la différence intersexe

Tableau 7: Pourcentage de graisse chez les filles de 6 à 18 ans de Kinshasa (RDC)										
Age		Percentiles		<b>3</b> ème	10 <sup>ème</sup>	25 <sup>ème</sup>	50 <sup>ème</sup>	75 <sup>ème</sup>	90 <sup>ème</sup>	97 <sup>ème</sup>
		Z-scores	;	-2,0001	-1,3334	-0,6667	0	+0,06667	+1,3334	+2,0001
	L	M	S							
6	-0,5	11,03	0,325	6,28	7,45	8,98	11,03	13,88	17,98	24,22
7	-0,5	11,35	0,324	6,47	7,67	9,24	11,35	14,27	18,47	24,86
8	-0,5	11,67	0,323	6,66	7,90	9,51	11,67	14,65	18,95	25,47
9	-0,5	12,10	0,321	6,93	8,21	9,87	12,10	15,17	19,59	26,26
10	-0,5	12,77	0,319	7,35	8,69	10,44	12,77	15,99	20,59	27,50
11	-0,5	13,81	0,315	7,99	9,44	11,31	13,81	17,24	22,12	29,40
12	-0,5	15,12	0,309	8,82	10,39	12,43	15,12	18,79	23,98	31,66
13	-0,5	16,48	0,302	9,72	11,42	13,60	16,48	20,37	25,83	33,81
14	-0,5	17,75	0,294	10,60	12,41	14,72	17,75	21,82	27,47	35,62
15	-0,5	18,80	0,286	11,36	13,25	15,66	18,80	22,98	28,72	36,93
16	-0,5	19,56	0,280	11,95	13,90	16,37	19,56	23,79	29,55	37,69
17	-0,5	20,07	0,274	12,38	14,36	16,86	20,07	24,30	30,03	38,03
18	-0,5	20,42	0,268	12,70	14,70	17,21	20,42	24,63	30,27	38,11

est observée puisque la centralisation de la graisse tend à augmenter chez les garçons.

Ce modèle ressemble à celui décrit par Cameron (1991) qui a indiqué qu'avant l'adolescence, les garçons et les filles, quel que soit le niveau absolu de leur adiposité, présentent une plus grande centralisation, c'est-à-dire des ratios plus élevés de graisse au tronc par rapport à leurs homologues Américains blancs et pendant l'adolescence, les garçons augmentent encore cette centralisation. De même, cette augmentation tardive de la graisse au tronc chez les garçons est suggérée par Schaeffer et al. (1998) qui ont trouvé que la distribution adulte typique de la graisse centrale et périphérique ne s'achève pas avant la fin de l'adolescence chez les garçons.

#### 4.3 Le pourcentage de graisse corporelle

Le pourcentage de graisse note une augmentation chez les garçons à partir de 6 jusqu'à 11 ans, à laquelle succède une diminution. Chez les filles, à travers tous les âges, une augmentation continue est notée et leur pourcentage de graisse est plus élevé que celui des garçons, surtout à partir de la puberté.

Ces modèles des courbes du pourcentage de graisse correspondent aux changements attendus de la composition corporelle au cours de la croissance humaine caractérisé par un dimorphisme sexuel à la puberté: une augmentation de la graisse chez les filles et une diminution chez les garçons (McCarthy et al. 2006).

A l'instar de l'épaisseur des plis cutanés, à notre connaissance, il n'existe pas d'études ayant déterminé le pourcentage de

graisse des enfants et adolescents dans notre pays et dans d'autres pays d'Afrique Sub-Saharienne.

Des valeurs de référence sous forme des percentiles ont été publiées dans plusieurs pays développés et certains auteurs ont utilisé la même procédure méthodologique que celle de cette étude.

Quatre de ces études (Schaefer et al. 1998; Moreno et al. 2005; Laurson et al. 2011; Schwandt et al. 2012) rapportent dans les deux sexes, le même modèle observé sur les enfants et adolescents de Kinshasa caractérisé par un pourcentage de graisse qui diminue chez les garçons durant l'adolescence et qui augmente avec l'âge chez les filles.

Toutefois, le pourcentage de graisse des garçons des études suscitées est très supérieur à celui des enfants congolais de Kinshasa mais chez les filles, ces différences sont moins grandes que chez les garçons.

Ces résultats sont en accord avec les résultats de plusieurs études (Wagner et Heyward, 2000; Morrison et al. 2001; Freedman et al. 2008) qui sont arrivées aux conclusions que pour un même IMC, les enfants africains ont moins de graisse corporelle que leurs homologues caucasiens.

Toutefois, en dehors de cette différence génétique avérée (Thomis et Towne, 2006), les facteurs nutritionnels et d'autres liés à un environnement relativement pauvre, pourraient avoir contribué à ces écarts qui sont au-dessous de la différence de graisse de 3% observée entre les enfants caucasiens et africains (Freedman et al. 2008).

Comme indicateur de risques de mauvaise santé, le pourcentage de graisse manque des seuils sur lesquels les auteurs sont unanimes. Williams et al. (1992) ont trouvé à partir d'une équation modifiée de Slaughter que des seuils de 20% et 30% respectivement, pour les filles et les garçons étaient basés sur le risque de pression sanguine et du cholestérol total élevés.

Dwyer et Blizzard (1996) ont recommandé le même seuil de 30% chez les filles et augmenté légèrement celui des garçons de 5% (25%). Ils considèrent que ces seuils (25 et 30%, respectivement, chez les garçons et les filles sont indicatifs d'un risque augmenté de se situer dans les quintiles de la pression sanguine et du taux des lipoprotéines les plus élevés chez les adolescents.

Cependant, ces seuils présentent l'inconvénient d'être statiques et ne tiennent pas compte de la croissance normale et de la maturation de l'adiposité (Laurson et al. 2011).

MacCarthy et al. (2006) ont publié des références pédiatriques du % de graisse et ont proposé que les seuils du 2ème, du 85ème et du 95ème percentile soient utilisés pour définir une maigreur, un excès de graisse et une obésité respectivement. Les percentiles de notre étude qui approchent ceux de MacCarthy et al. (2006), c'est-à-dire le 3ème, le 90ème et le 97ème pourraient être utilisés pour surveiller l'évolution de la graisse corporelle chez les enfants et adolescents congolais de Kinshasa dans la même vision des courbes de croissance du poids, de la taille et de l'indice de masse corporelle élaborées sur cette population (Buhendwa et al. article soumis).

Mais cette étude est entourée de quelques limites dont celle de n'avoir pas concernées toutes les écoles sélectionnées à cause de leur inaccessibilité et ainsi, la taille de l'échantillon calculé n'était pas atteinte, le taux de couverture étant de 90%.

Ensuite, les données de l'épaisseur des plis cutanés ont l'inconvénient de fournir des mesures imprécises surtout chez les individus obèses (Laurson et al. 2011). Mais, le TEM intra-observateur a indiqué de la bonne qualité des données et par ailleurs, l'étude du statut nutritionnel de cet échantillon a rapporté une faible prévalence globale de l'obésité aussi bien chez les filles (1,5 à 2,4%) que les garçons (1 à 1,8%) (Buhendwa et al. article soumis).

En outre, le calcul du pourcentage de graisse chez les garçons effectué par une correspondance du statut pubertaire avec l'âge chronologique, pourrait probablement être une source de biais mais dans les études à conception épidémiologique, l'impact de l'utilisation de l'âge chronologique sur les résultats peut être mineur (Laurson et al. 2011).

## 5. CONCLUSION

Ces valeurs de référence en z-scores et en percentiles spécifiques à l'âge et au sexe faciliteront des comparaisons des études épidémiologiques ultérieures pour améliorer l'interprétation des mesures anthropométriques associées à l'adiposité des enfants et adolescents. Comme elles proviennent des mêmes données qui ont servi à l'élaboration des courbes de référence de l'IMC, ils fournissent un nouvel outil complémentaire qui devrait être utilisé au niveau individuel ou de la population pour la prévention et la surveillance des enfants et adolescents congolais de la ville de Kinshasa à risque de surpoids et d'obésité.

#### 5.1 Remerciements

Nous exprimons nos remerciements, non seulement aux 7575 élèves qui ont participé à cette étude, mais aussi à leurs parents qui leur en ont donné l'autorisation.

Notre gratitude s'adresse aux Directeurs et Préfets des Ecoles de Kinshasa qui ont chaleureusement accueilli notre équipe de recherche dans leurs écoles et, aux Assistants et Etudiants du Département de Médecine Physique et de Réadaptation qui ont participé à la campagne de collecte des données.

Nous remercions également le Professeur Kayembe Kalambayi Patrick de l'École de Santé Publique de l'Université de Kinshasa, pour son implication dans la procédure d'échantillonnage.

Nous n'oublions pas le grand initiateur de ce projet, le Professeur Gaston Beunen qui est décédé.

La première campagne de la collecte de données de cette étude a été réalisée grâce au financement de la Coopération Technique Belge en République Démocratique du Congo (Matricule: L07RDC/750; convention: UNI2009/01).

L'auteur principal (BRA) a bénéficié d'un stage de recherche et d'une subvention de chercheur invité à la KU Leuven/Belgique.

### 5.2 Déclaration d'intérêt

Les auteurs ne rapportent aucun conflit d'intérêt. Ils sont seuls responsables de la rédaction et du contenu de cet article.

# 5.3 Les contributions des auteurs pour cette étude sont les suivantes

La conception de l'étude: BRA, M Th et Nk E C; Approbation éthique: Nk E C; Collecte des données: BRA; Analyse des données: BRA&MR; La rédaction du manuscrit: BRA; Révision du manuscrit: C Nk E, LBF, TM et LMb B.

# **RÉFÉRENCES CITÉES**

- World Health Organization. Obesity: preventing and managing the global epidemic. Report of a WHO consultation. World Health Organ Techn Rep Ser 2000; 894: i-xii, 1-253.
- Barlow SE, Dietz WH. Obesity evaluation and treatment: expert committee recommendations. The maternal and Health Bureau. Health Resources and Services administration, and the Department of Health and Human Services. *Pediatrics* 1998; 102: F29.
- Cole TJ, Bellizzi MC, Flegal KM et, Dietz WH. Establishing a standard definition for child overweight and obesity worldwide: international survey. Br Med J 2000; 320: 1240-3.
- Cole TJ, Flegal KM et, Nicholls D. Body mass index cut-offs to define thinness in children and adolescents: international survey. *Br Med J* 2007; 28: 335(7612): 194; doi: 10.1136/bmj.39238.399444.55
- Wells JCK, Fewtrell MS, Williams JE, Haroun D, Lawson MS, Cole TJ. Body composition in normal weight, overweight and obese children: matched case-control analysis of total and regional tissue masses, and body composition trends in relation to relative weight. *Int J Obes* 2006; 30: 1506-1513.
- Himes JM, Dietz WH. Guidelines for overweight in adolescent preventive services: recommendations from an expert committee. The Expert Committee on Clinical Guidelines for Overweight in Adolescent Preventive Services. Am J Clin Nutr 1994; 59(2): 307-16.
- Sarría A, García LA, Moreno LA, Fleta J, Morellón MP et, Bueno M. Skinfold thickness measurements are better predictors of body fat percentage than body mass index in male Spanish children and adolescents. European Journal of Clinical Nutrition 1998; 52: 573-576.
- Nooyens AC, Koppes LL, Visscher TL, Twisk JW, Kemper HC, Schuit AJ, et al. Adolescent skinfold thickness is a better predictor of high body fatness in adults than body mass index: the Amsterdam Growth and Health Longitudinal Study. Am J Clin Nutr 2007; 85: 1533-9.
- Freedman DS, Wang J, Ogden CL, Thornton JC, Mei Z, Pierson RN, et al. The prediction of body fatness by BMI and skinfold thickness among children and adolescents. *Ann Hum Biol* 2007; 34: 183 – 94.
- Addo OY et Himes JH. Reference curves for triceps and subscapular skinfold thicknesses for US children and adolescents. Am J Clin Nutr 2010. Doi: 10.3945/ajcn.2009.28385.
- Moreno LA, Mesana MI, González-Gross M, Gil CM, Fleta J, Wärnberg J, et al. and the AVENA Study Group. Anthropometric body fat composition reference values in Spanish adolescents. The AVENA Study. European Journal of clinical Nutrition 2005; 1-6; doi: 10: 1038/ sj.ejcn.1602285.
- MacCarthy HD, Cole TJ, Fry T, Jebb SA, Prentice AM. Body fat reference curves for children Int J Obes 2006; 30: 598-602
- Ozturk A, Budak N, Cicek B, Mazicioglu MM, Bayram F et, Kurtoglu S. Cross-sectional reference values for mid-upper arm circumference, triceps skinfold thickness and arm fat area of Turkish children and adolescents. *International Journal of Food Sciences and Nutrition* 2009; 60(4): 267-81; doi: 10.1080/09637480701663854.
- Kurtoglu S, Mazicioglu MM, Ozturk A, Hatipoglu N, Cicek B et, Ustunbas HB. Body fat reference curves for healthy Turkish children and adolescents. *Eur J Pediatr* 2010; doi: 10.1007/s00431-010-1225-4.
- Haas GM, Evelyn L et Schwandt P. Percentile curves for fat patterning in German adolescents. World J *Pediatr* 2011; 7: 16-23; doi: 10.1007/ s12519-011-0241-4.
- Laurson KR, Eisenmann JC et, Welk GJ. Body fat percentile curves for US children and adolescents. *American Journal of Preventive Medicine* 2011; 41(4S2): S87-S92.
- Kim K, Yun SH, Jang MJ et, Oh KW. Body percentile curves for Korean children and adolescents: a data from the Korean National Health and Nutrition Examination Survey 2009-2010. *J Korean Med Sci* 2013; 28: 443-9; http://dx.doi.org/10.3346/jkms.2013.28.3.443.
- Jaworski M, Kulaga Z, Pludowski P, Grajda A, Gurzkowska B, Napieralska E, et al. Population-based centile curves for triceps, subscapular, and abdominal skinfold thicknesses in Polish children

- and adolescents the OLAF study.  $Eur\ J\ Pediatr\ 2012;\ 171:\ 1215-21;$  doi: 10.1007/s00431-012-1717-5.
- Fryar CD, Gu Q et, Ogden CL. Anthropometric reference data for children and adults: United States, 2007-2010, National Center for Health Statistics. Vital Health Stat 2012; 11(252).
- Schwandt P, von Eckardstein A et, Haas GM. Percentiles of percentage body fat in German children and adolescents: an international comparison. *International Journal of Preventive Medicine* 2012; 3: 846-52
- Nagy P, Kovacs E, Moreno LA, Tornaritis M, Kourides Y, Siani A, et al. Percentile reference values for anthropometric body composition indices in European children from the IDEFICS study. *International Journal of Obesity* 2014; 38: S15-S25; doi: 10.1038/ijo.2014.131.
- Park HW, Yoo HY, Kim CH, Kim H, Kwak BO, Kim KS, et al. Reference values of body composition indices: the Korean National Health and Nutrition Examination Surveys. *Yonsei Med J* 2015; 56(1): 95-102. http://dx.doi.org/10.3349/ymj.2015.56.1.95.
- Cameron N. Human growth, nutrition, and health status in Sub-saharan Africa. Yearbook of Physical Anthropology 1991; 34: 211-50.
- 24. Morrison JA, Bruce AB, Obarzanek E, Crawford PB, Guo SS et Schreiber GB. Racial differences in the sums of skinfolds and percentage of body fat estimated from impedance in black and white girls, 9 to 19 years of age: The national heart, lung, and blood institute growth and health study. *Obesity Research* 2001; 9: 297 – 305.
- Freedman DS, Wang J, Thornton JC, Mei Z, Pierson Jr RN, Dietz WH, et al. Racial/ethnic differences in body fatness among children and adolescents. *Obesity* 2008; 16(5): 1105-11. Doi: 10.1038/oby.2008.30.
- Wagner DR et, Heyward VH. Measures of body composition in blacks and whites: a comparative review. Am J Clin Nutr 2000; 71: 1392-402.
- Lelo FN et, Tshimanga CM. Pauvreté urbaine à Kinshasa. La Haye: Cordaid; 2004, p 167.
- Perini TA, de Oliveira GL, Ornellas JDS, de Oliveira FP. Technical error of measurement in anthropometry. Rev Bras Med Esporte 2005; 11(1).
- Marfell-Jones M, Olds T, Stewart A, & Carter L. International Standards for Anthropometric Assessment. International Society for the Advancement of Kinanthropometry (ISAK), Potchefstroom, South Africa, ISAK, 2006.
- Slaugther MH, Lohman TG, Boileau RA, Horswill CA, Stillman RJ, Van Loan MD et al. Skinfold equations for estimation of body fatness in children and youths. *Human Biol* 1988; 60: 709-723.
- Beunen GP, Rogol AD et Malina RM. Indicators of biological maturation and secular changes in biological maturation. *Food Nutr Bull*, 2006; 27 (S): 244-36.
- Sun SS, Schubert CM, Chumlea WC, Roche AF, Kulin HE, Lee PA, et al. National estimates of the timing of sexual maturation and racial differences among US children. *Pediatrics* 2002; 110: 911-9.
- Cole, T J. Fitting Smoothed Centile Curves to Reference Data. *Journal of the Royal Statistical Society* 1988; 151(3): 385-418.
- Cole TJ, Green PJ. Smoothing reference centile curves: the LMS method and penalized likelihood. Statist. Med 1992; 11: 1305-19.
- Pan H, Cole TJ. Comparison of goodness of fit tests for age-related reference ranges. Statist. Med 2004; 23: 1749-65.
- Healey MJR, Rasbash J, Yang M. Distribution-free estimation of agerelated centiles. *Ann. Hum. Biol* 1988; 15: 17-22.
- Schaefer F, Georgi M, Wühl E, Schärer K. Body mass index and percentage fat mass in healthy German schoolchildren and adolescents. *International Journal of Obesity* 1998; 22: 461-69.
- Williams DP, Going SB, Lohman TG, et al. Body fatness and risk for elevated blood pressure, total cholesterol, and serum lipoprotein ratios in children and adolescents. Am J Public Health 1992; 82 (3): 358-63.
- Dwyer T, Blizzard CL. Defining obesity in children by biological endpoint rather than population distribution. *Int J Ob Relat Metab Disord* 1996; 20 (5): 472-80.
- Buhendwa AR, Roelants M, Thomis MA, Nkiama CE. Nutritional status and growth references in 6-18 year old children and adolescents of Kinshasa (DRC). Article Soumis.